

# Quantentheorie II

5.12.2023

## Orts- und Impulsdarstellung

|   | Ortsdarstellung in 3D (für 1D: „hoch 3“ weglassen)  | Wellenzahl- bzw. Impulsdarstellung in 3D (für 1D: „hoch 3“ weglassen)  |
|---|---|--|
| Ortsbasis                                 | $\langle \vec{r}   \vec{r}' \rangle = \varphi_r(\vec{r}) = \delta(\vec{r} - \vec{r}') \dots$ Orthogonalität   | $\langle \vec{k}   \vec{r} \rangle = \varphi_r(\vec{k}) = \frac{1}{\sqrt{(2\pi)^3}} e^{-i\vec{k}\cdot\vec{r}}$<br>$\langle \vec{p}   \vec{r} \rangle = \varphi_r(\vec{p}) = \frac{1}{\sqrt{(2\pi\hbar)^3}} e^{-i\frac{\vec{p}}{\hbar}\cdot\vec{r}}$                              |
| Impulsbasis                               | $\langle \vec{r}   \vec{k} \rangle = \varphi_k(\vec{r}) = \frac{1}{\sqrt{(2\pi)^3}} e^{+i\vec{k}\cdot\vec{r}}$<br>$\langle \vec{r}   \vec{p} \rangle = \varphi_p(\vec{r}) = \frac{1}{\sqrt{(2\pi\hbar)^3}} e^{+i\frac{\vec{p}}{\hbar}\cdot\vec{r}}$         | $\langle \vec{k}   \vec{k}' \rangle = \varphi_k(\vec{k}) = \delta(\vec{k} - \vec{k}')$<br>$\langle \vec{p}   \vec{p}' \rangle = \varphi_p(\vec{p}) = \delta(\vec{p} - \vec{p}')$ ... Orthogonalität  |
| Vollständigkeit                           | $\int_{-\infty}^{\infty}  \vec{r}\rangle \langle \vec{r}'  d^3r = \mathbb{1}$   | $\int_{-\infty}^{\infty}  \vec{k}\rangle \langle \vec{k}'  d^3k = \int_{-\infty}^{\infty}  \vec{p}\rangle \langle \vec{p}'  d^3p = \mathbb{1}$   |
| Ortsoperator                              | $\hat{r} = \vec{r} \Rightarrow \langle \vec{r}   \hat{r}   \vec{r}' \rangle = \vec{r} \delta(\vec{r} - \vec{r}')$   | $\hat{r} = i\vec{\nabla}_k \Rightarrow \langle \vec{k}   \hat{r}   \vec{k}' \rangle = i\vec{\nabla}_k \delta(\vec{k} - \vec{k}')$<br>$\hat{r} = i\hbar\vec{\nabla}_p \Rightarrow \langle \vec{p}   \hat{r}   \vec{p}' \rangle = i\hbar\vec{\nabla}_p \delta(\vec{p} - \vec{p}')$ |
| Impulsoperator                            | $\hat{p} = \frac{\hbar}{i}\vec{\nabla} \Rightarrow \langle \vec{r}   \hat{p}   \vec{r}' \rangle = \frac{\hbar}{i}\vec{\nabla} \delta(\vec{r} - \vec{r}')$   | $\hat{p} = \hbar\vec{k} \Rightarrow \langle \vec{k}   \hat{p}   \vec{k}' \rangle = \hbar\vec{k} \delta(\vec{k} - \vec{k}')$  |
| Potential                                 | $\langle \vec{r}   V(\vec{r})   \vec{r}' \rangle = V(\vec{r}) \delta(\vec{r} - \vec{r}')$   | $\langle \vec{k}   V(\vec{r})   \vec{k}' \rangle = \frac{1}{(2\pi)^3} \tilde{V}(\vec{k} - \vec{k}') = \frac{1}{(2\pi)^3} \int_{-\infty}^{\infty} e^{i(\vec{k}-\vec{k}')\cdot\vec{r}} V(\vec{r}) d^3r$  |
| Deltafunktion                             | $\delta(\vec{r} - \vec{r}') = \frac{1}{(2\pi)^3} \int_{-\infty}^{\infty} e^{i\vec{k}\cdot(\vec{r}-\vec{r}')} d^3k$<br>$\delta(\vec{r} - \vec{r}') = \frac{1}{(2\pi\hbar)^3} \int_{-\infty}^{\infty} e^{i\frac{\vec{p}}{\hbar}\cdot(\vec{r}-\vec{r}')} d^3p$ | $\delta(\vec{k} - \vec{k}') = \frac{1}{(2\pi)^3} \int_{-\infty}^{\infty} e^{i(\vec{k}-\vec{k}')\cdot\vec{r}} d^3r$<br>$\delta(\vec{p} - \vec{p}') = \frac{1}{(2\pi\hbar)^3} \int_{-\infty}^{\infty} e^{i\frac{\vec{p}-\vec{p}'}{\hbar}\cdot\vec{r}} d^3r$                        |
| Wellenfunktion                            | $\langle \vec{r}   \psi \rangle = \psi(\vec{r})$  | $\langle \vec{k}   \psi \rangle = \psi(\vec{k}) ; \langle \vec{p}   \psi \rangle = \psi(\vec{p})$  |
| Schrödinger-gleichung                     | $i\hbar \frac{\partial}{\partial t} \langle \vec{r}   \psi \rangle = \left( -\frac{\hbar^2}{2} \nabla^2 + V(\vec{r}) \right) \langle \vec{r}   \psi \rangle$  | $i\hbar \frac{\partial}{\partial t} \langle \vec{k}   \psi \rangle = \frac{\hbar^2 k^2}{2m} \langle \vec{k}   \psi \rangle + \frac{1}{\sqrt{(2\pi)^3}} \int_{-\infty}^{\infty} \tilde{V}(\vec{k} - \vec{k}') \langle \vec{k}'   \psi \rangle d^3k'$                              |
| Harm. Osz. 1D                             | $\hat{H} = \frac{\hat{p}^2}{2m} + \frac{1}{2} m\omega^2 \hat{x}^2 = -\frac{\hbar^2}{2m} \frac{\partial^2}{\partial x^2} + \frac{1}{2} m\omega^2 x^2$  | $\hat{H} = \frac{\hat{p}^2}{2m} + \frac{1}{2} m\omega^2 \left( i\hbar \frac{\partial}{\partial p} \right)^2 = \frac{\hbar^2}{2m} \nabla^2 - \frac{1}{2} m\omega^2 \hbar^2 \frac{\partial^2}{\partial p^2}$   |
| <b>Transformationen</b>                   |   |  |
| $\psi(\vec{k}) \rightarrow \psi(\vec{r})$ | $\psi(\vec{r}) = \int_{-\infty}^{\infty} \langle \vec{r}   \vec{k} \rangle \langle \vec{k}   \psi \rangle d^3k = \frac{1}{\sqrt{(2\pi)^3}} \int_{-\infty}^{\infty} e^{+i\vec{k}\cdot\vec{r}} \psi(\vec{k}) d^3k$  |  |
| $\psi(\vec{r}) \rightarrow \psi(\vec{k})$ | $\psi(\vec{k}) = \int_{-\infty}^{\infty} \langle \vec{k}   \vec{r} \rangle \langle \vec{r}   \psi \rangle d^3r = \frac{1}{\sqrt{(2\pi)^3}} \int_{-\infty}^{\infty} e^{-i\vec{k}\cdot\vec{r}} \psi(\vec{r}) d^3r$  |  |

## Schrödinger-gleichung in Matrix-Darstellung

Sei  $\hat{A}$  ein Operator mit diskrettem Spektrum und  $\{\varphi_n\}$  eine VONS von  $\hat{A}$ , so dass  $\hat{A}|\varphi_n\rangle = a_n|\varphi_n\rangle$ .

|   |   |
|---|---|
| $i\hbar \frac{\partial}{\partial t}  \Psi(t)\rangle = \hat{H}  \Psi(t)\rangle \quad   \langle \varphi_n   \Rightarrow i\hbar \frac{\partial}{\partial t} \langle \varphi_n   \Psi(t) \rangle = \langle \varphi_n   \hat{H}   \Psi(t) \rangle = \sum_m \langle \varphi_n   \hat{H}   \varphi_m \rangle \langle \varphi_m   \Psi(t) \rangle = \sum_m H_{nm} \Psi_m(t) \Rightarrow \boxed{i\hbar \frac{\partial}{\partial t} \underline{\Psi}(t) = \underline{H} \underline{\Psi}(t)}$ |   |
| Trafo diskret:  | $\hat{A}$ -Darstellung mit $\hat{A} \varphi_n\rangle = a_n \varphi_n\rangle: \hbar \frac{\partial}{\partial t} \underline{\Psi}(t) = \underline{H} \underline{\Psi}(t)$<br>$\hat{B}$ -Darstellung mit $\hat{B} \chi_n\rangle = b_n \chi_n\rangle: \hbar \frac{\partial}{\partial t} \underline{\tilde{\Psi}}(t) = \underline{\tilde{H}} \underline{\tilde{\Psi}}(t)$<br>$\underline{\tilde{H}} = \underline{U} \underline{H} \underline{U}^\dagger$ mit $\underline{U}$ unitär, so dass $\underline{U}^\dagger = \underline{U}^{-1} \Rightarrow \underline{U}^\dagger \underline{U} = \mathbb{1}$ (Norm erhalten) |
| Trafo kontinuierl.:   | $\hat{A}$ -Darstellung mit $\langle \vec{r}   \hat{A}   \vec{r}' \rangle = \vec{a} \delta(\vec{r} - \vec{r}')$<br>$\hat{B}$ -Darstellung mit $\langle \vec{k}   \hat{B}   \vec{k}' \rangle = \vec{b} \delta(\vec{k} - \vec{k}')$<br>$\underline{\tilde{\Psi}}(\vec{k}, t) = \int_{-\infty}^{\infty} \frac{1}{\sqrt{(2\pi\hbar)^3}} e^{-i\vec{k}\cdot\vec{r}} \underline{\tilde{\Psi}}(\vec{r}, t) d^3r$   |

## Zeitentwicklung im Schrödinger-Bild: Zustandsvektoren zeitabhängig, Operatoren zeitunabhängig

|  |   |   |
|--|---|---|
| Zeitentwicklungsoperator $\hat{U}(t)$  | $ \Psi_S(t)\rangle = \hat{U}(t, t_0)  \Psi_S(t_0)\rangle \Big _{t_0=0} \Rightarrow  \Psi_S(t)\rangle = \hat{U}(t)  \Psi_S(0)\rangle \dots (1)$  | kommutiert mit H: $[\hat{U}(t), \hat{H}] = 0$ |
| $i\hbar \frac{\partial}{\partial t}  \Psi(t)\rangle = \hat{H}  \Psi(t)\rangle$ | $ \Psi(t)\rangle = \hat{U}(t)  \Psi(0)\rangle \Rightarrow i\hbar \frac{\partial}{\partial t} \hat{U}(t)  \Psi(0)\rangle = \hat{H} \hat{U}(t)  \Psi(0)\rangle \Rightarrow \frac{\partial}{\partial t} \hat{U}(t)  \Psi(0)\rangle - \frac{1}{i\hbar} \hat{H} \hat{U}(t)  \Psi(0)\rangle = 0 \Big  :  \Psi(0)\rangle \Rightarrow \frac{\partial}{\partial t} \hat{U}(t) - \frac{\hat{H}}{i\hbar} \hat{U}(t) = 0 \Rightarrow \hat{U}(t) = e^{-\frac{i}{\hbar} \hat{H} t} = \sum_{k=0}^{\infty} \left( -\frac{it}{\hbar} \right)^k \frac{\hat{H}^k}{k!}$ |   |
| BWGL Erwartungswerte (gilt in allen Bildern):                                  | $\frac{d}{dt} \langle \hat{q}_i(t) \rangle = \frac{1}{i\hbar} \langle [\hat{q}_i(t), \hat{H}] \rangle = \langle \frac{\partial}{\partial p_i} \hat{H} \rangle ; \frac{d}{dt} \langle \hat{p}_i(t) \rangle = \frac{1}{i\hbar} \langle [\hat{p}_i(t), \hat{H}] \rangle = \langle -\frac{\partial}{\partial q_i} \hat{H} \rangle$  |   |
| Exponent von Superposition aus Pauli-Matrizen:                                 | $e^{\pm i\alpha(\vec{n}\cdot\vec{\sigma})} = \mathbb{1} \cos(\alpha) \pm i(\vec{n}\cdot\vec{\sigma}) \sin(\alpha)$ mit $ \vec{n} ^2 = 1; \vec{\sigma} = \begin{pmatrix} \sigma_x \\ \sigma_y \\ \sigma_z \end{pmatrix}; (\vec{n}\cdot\vec{\sigma}) = n_1\sigma_x + n_2\sigma_y + n_3\sigma_z$   |   |

### Zeitentwicklung im Heisenberg-Bild: Zustandsvektoren zeitunabhängig, Operatoren zeitabhängig

|  |  |
|--|--|
| zeitunabhängiger Zustandsvektor $ \Psi_H\rangle$ durch Umkehrung von (1) | $ \Psi(0)\rangle = \hat{U}^{-1}(t)  \Psi(t)\rangle = \hat{U}^\dagger(t)  \Psi(t)\rangle =  \Psi_H\rangle \Rightarrow  \Psi_H\rangle =  \Psi_S(0)\rangle$   |
| zeitabhängiger Operator:   | $\hat{A}_H(t) = \hat{U}^\dagger(t) \hat{A}_S \hat{U}(t) = e^{i\hat{H}t/\hbar} \hat{A}_S e^{-i\hat{H}t/\hbar}$   Hamilton: $\hat{H}_H = \hat{U}^\dagger \hat{H}_S \hat{U} = \hat{U}^\dagger \hat{U} \hat{H}_S = \hat{H}_S$  |
| Bewegungsgleichung   | $\frac{d}{dt} \hat{A}_H(t) = \frac{\partial}{\partial t} e^{i\hat{H}t/\hbar} \hat{A}_S e^{-i\hat{H}t/\hbar} + e^{i\hat{H}t/\hbar} \frac{\partial}{\partial t} \hat{A}_S e^{-i\hat{H}t/\hbar} + e^{-i\hat{H}t/\hbar} \hat{A}_S \frac{\partial}{\partial t} e^{i\hat{H}t/\hbar} = \frac{i}{\hbar} \hat{H} \frac{e^{i\hat{H}t/\hbar}}{\hat{U}^\dagger(t)} \hat{A}_S \frac{e^{-i\hat{H}t/\hbar}}{\hat{U}(t)} - \frac{i}{\hbar} \frac{e^{i\hat{H}t/\hbar}}{\hat{U}^\dagger(t)} \hat{A}_S \hat{H} \frac{e^{-i\hat{H}t/\hbar}}{\hat{U}(t)}$<br>$\frac{d}{dt} \hat{A}_H(t) = \frac{i}{\hbar} (\hat{H} \hat{U}^\dagger \hat{A}_S \hat{U} - \hat{U}^\dagger \hat{A}_S \hat{U} \hat{H}) = \frac{i}{\hbar} (\hat{H} \hat{A}_H(t) - \hat{A}_H(t) \hat{H}) = \frac{i}{\hbar} [\hat{H}, \hat{A}_H(t)] \Rightarrow \frac{d}{dt} \hat{A}_H(t) = \frac{1}{i\hbar} [\hat{A}_H(t), \hat{H}]$ |
| Hamilton'sche BWGL   | $\frac{d}{dt} \hat{q}_i(t) = \frac{1}{i\hbar} [\hat{q}_i(t), \hat{H}] = \frac{\partial}{\partial p_i} \hat{H}; \frac{d}{dt} \hat{p}_i(t) = \frac{1}{i\hbar} [\hat{p}_i(t), \hat{H}] = -\frac{\partial}{\partial q_i} \hat{H}$  |
| BWGL Erwartungswerte   | $\frac{d}{dt} \langle \hat{q}_i(t) \rangle = \frac{1}{i\hbar} \langle [\hat{q}_i(t), \hat{H}] \rangle = \langle \frac{\partial}{\partial p_i} \hat{H} \rangle; \frac{d}{dt} \langle \hat{p}_i(t) \rangle = \frac{1}{i\hbar} \langle [\hat{p}_i(t), \hat{H}] \rangle = \langle -\frac{\partial}{\partial q_i} \hat{H} \rangle$  |
| Ehrenfest Theorem  | $\langle \frac{\partial}{\partial p} \hat{H}(q, p) \rangle = \frac{\partial}{\partial \langle p \rangle} \langle \hat{H}(q, p) \rangle; \langle \frac{\partial}{\partial q} \hat{H}(q, p) \rangle = \frac{\partial}{\partial \langle q \rangle} \langle \hat{H}(q, p) \rangle$ wenn $\hat{V}(q)$ höchstens Potenzen vom Grad 2 hat   |

### Zeitentwicklung im Wechselwirkungs-Bild: Zustandsvektoren und Operatoren zeitabhängig

|   |  |
|---|--|
| Aufspaltung $\hat{H}$ in zeitunabhängiges $\hat{H}_0$ und zeitabh. Störung $\hat{V}(t)$ | $\hat{H} = \hat{H}_0 + \hat{V}(t)$   Lösung $\hat{H}_0$ : $ \hat{H}_0 \varphi_n\rangle = \varepsilon_n \varphi_n\rangle; \hat{U}_0(t) = e^{-i\hat{H}_0 t/\hbar}$   |
| Intermediärer Zustandsvektor beinhaltet nur Zeitabh. von $\hat{V}(t)$                   | $ \Psi_I(t)\rangle = \hat{U}_0^\dagger(t)  \Psi_S(t)\rangle$ (Zeitabh. durch $\hat{H}_0$ wird von $\hat{U}_0^\dagger(t)$ entfernt)   |
| Operator:   | $\hat{A}_I(t) = \hat{U}_0^\dagger(t) \hat{A}_S \hat{U}_0(t) = e^{i\hat{H}_0 t/\hbar} \hat{A}_S e^{-i\hat{H}_0 t/\hbar}$  |
| Schrödinger-gleichung im Wechselwirkungs-bild (Herleitung)                              | $i\hbar \frac{\partial}{\partial t}  \Psi_S(t)\rangle = \hat{H}_S  \Psi_S(t)\rangle \Big  \hat{U}_0^\dagger \cdot \Rightarrow i\hbar \hat{U}_0^\dagger \frac{\partial}{\partial t}  \Psi_S(t)\rangle = \hat{U}_0^\dagger \hat{H}_S  \Psi_S(t)\rangle$<br>$LI = i\hbar \hat{U}_0^\dagger \frac{\partial}{\partial t} (\hat{U}_0 \hat{U}_0^\dagger  \Psi_S(t)\rangle) = i\hbar \hat{U}_0^\dagger \frac{\partial}{\partial t} (\hat{U}_0  \Psi_I(t)\rangle) = i\hbar \hat{U}_0^\dagger \left( \frac{\partial}{\partial t} \hat{U}_0 + \hat{U}_0 \frac{\partial}{\partial t} \right)  \Psi_I(t)\rangle = i\hbar \hat{U}_0^\dagger \left( \frac{1}{i\hbar} \hat{H}_0 \hat{U}_0 + \hat{U}_0 \frac{\partial}{\partial t} \right)  \Psi_I(t)\rangle$<br>$LI = \left( i\hbar \frac{1}{i\hbar} \hat{U}_0^\dagger \hat{U}_0 \hat{H}_0 + i\hbar \hat{U}_0^\dagger \hat{U}_0 \frac{\partial}{\partial t} \right)  \Psi_I(t)\rangle = (\hat{H}_0 + i\hbar \frac{\partial}{\partial t})  \Psi_I(t)\rangle \dots (1)$<br>$RE = \hat{U}_0^\dagger \hat{H} \hat{U}_0 \hat{U}_0^\dagger  \Psi_S(t)\rangle = \hat{U}_0^\dagger (\hat{H}_0 + \hat{V}(t)) \hat{U}_0  \Psi_I(t)\rangle = (\hat{U}_0^\dagger \hat{H}_0 \hat{U}_0 + \hat{U}_0^\dagger \hat{V}(t) \hat{U}_0)  \Psi_I(t)\rangle = (\hat{H}_0 + \hat{V}_I(t))  \Psi_I(t)\rangle \dots (2)$<br>$(1) = (2) \Rightarrow (\hat{H}_0 + i\hbar \frac{\partial}{\partial t})  \Psi_I(t)\rangle = (\hat{H}_0 + \hat{V}_I(t))  \Psi_I(t)\rangle \Rightarrow i\hbar \frac{\partial}{\partial t}  \Psi_I(t)\rangle = \hat{V}_I(t)  \Psi_I(t)\rangle$ mit $\hat{V}_I(t) = \hat{U}_0^\dagger \hat{V}(t) \hat{U}_0$  |
| Bewegungsgleichung  | $\hat{A}_I(t) = \hat{U}_0^\dagger \hat{A}_S \hat{U}_0 \Big  i\hbar \frac{d}{dt} \hat{A}_I(t) = i\hbar \frac{d}{dt} (\hat{U}_0^\dagger \hat{A}_S \hat{U}_0) \Big  \hat{U}_0 = e^{-i\hat{H}_0 t/\hbar} \Rightarrow i\hbar \frac{d}{dt} \hat{A}_I(t) = i\hbar \frac{d}{dt} (e^{i\hat{H}_0 t/\hbar} \hat{A}_S e^{-i\hat{H}_0 t/\hbar})$<br>$i\hbar \frac{d}{dt} \hat{A}_I(t) = i\hbar \left( \frac{\partial}{\partial t} e^{i\hat{H}_0 t/\hbar} \right) \hat{A}_S e^{-i\hat{H}_0 t/\hbar} + e^{i\hat{H}_0 t/\hbar} \left( \frac{\partial}{\partial t} \hat{A}_S \right) e^{-i\hat{H}_0 t/\hbar} + e^{i\hat{H}_0 t/\hbar} \hat{A}_S \left( \frac{\partial}{\partial t} e^{-i\hat{H}_0 t/\hbar} \right)$<br>$i\hbar \frac{d}{dt} \hat{A}_I(t) = i\hbar \left( \frac{1}{i\hbar} \hat{H}_0 e^{i\hat{H}_0 t/\hbar} \hat{A}_S e^{-i\hat{H}_0 t/\hbar} + e^{i\hat{H}_0 t/\hbar} \frac{d}{dt} \hat{A}_S e^{-i\hat{H}_0 t/\hbar} - \frac{1}{i\hbar} e^{i\hat{H}_0 t/\hbar} \hat{A}_S \hat{H}_0 e^{-i\hat{H}_0 t/\hbar} \right)$<br>$i\hbar \frac{d}{dt} \hat{A}_I(t) = i\hbar \left( -\frac{1}{i\hbar} \hat{H}_0 e^{i\hat{H}_0 t/\hbar} \hat{A}_S e^{-i\hat{H}_0 t/\hbar} + \frac{1}{i\hbar} e^{i\hat{H}_0 t/\hbar} \hat{A}_S \hat{H}_0 e^{-i\hat{H}_0 t/\hbar} + e^{i\hat{H}_0 t/\hbar} \frac{d}{dt} \hat{A}_S e^{-i\hat{H}_0 t/\hbar} \right) \Big  e^{-i\hat{H}_0 t/\hbar} = \hat{U}_0$<br>$i\hbar \frac{d}{dt} \hat{A}_I(t) = \hat{U}_0^\dagger \hat{A}_S \hat{H}_0 \hat{U}_0 - \hat{H}_0 \hat{U}_0^\dagger \hat{A}_S \hat{U}_0 + i\hbar \hat{U}_0^\dagger \frac{\partial}{\partial t} \hat{A}_S \hat{U}_0 \Big  \hat{H}_0 \hat{U}_0 = \hat{U}_0 \hat{H}_0$<br>$i\hbar \frac{d}{dt} \hat{A}_I(t) = \hat{U}_0^\dagger \hat{A}_S \hat{U}_0 \hat{H}_0 - \hat{H}_0 \hat{U}_0^\dagger \hat{A}_S \hat{U}_0 + i\hbar \hat{U}_0^\dagger \frac{\partial}{\partial t} \hat{A}_S \hat{U}_0 \Big  \hat{A}_I = \hat{U}_0^\dagger \hat{A}_S \hat{U}_0$<br>$i\hbar \frac{d}{dt} \hat{A}_I(t) = \hat{A}_I \hat{H}_0 - \hat{H}_0 \hat{A}_I + i\hbar \hat{U}_0^\dagger \frac{\partial}{\partial t} \hat{A}_S \hat{U}_0 \Rightarrow \frac{d}{dt} \hat{A}_I(t) = \frac{1}{i\hbar} [\hat{A}_I(t), \hat{H}_0] + \hat{U}_0^\dagger \frac{\partial}{\partial t} \hat{A}_S \hat{U}_0$<br><div style="border: 1px solid black; padding: 2px; display: inline-block;">nur wenn <math>\hat{A}_S</math> zeitabh.</div> |

### Dichtematrix und Dichteoperator

|  |   |
|--|---|
| Reiner Zustand:<br>Intrinsische Wahrscheinlichkeit $p_n$ | $\langle \hat{A} \rangle = \langle \Psi   \hat{A}   \Psi \rangle = \sum_n \sum_m \overbrace{\langle \Psi   \varphi_n \rangle}^{c_n^*} \langle \varphi_n   \hat{A}   \varphi_m \rangle \overbrace{\langle \varphi_m   \Psi \rangle}^{c_m} = \sum_n \sum_m c_n^* \langle \varphi_n   \hat{A}   \varphi_m \rangle c_m = \sum_n \sum_m a_m \overbrace{\langle \varphi_n   \varphi_m \rangle}^{\delta_{nm}} c_n^* c_m$<br>$\langle \hat{A} \rangle = \sum_n \sum_m a_m \delta_{nm} c_n^* c_m \Rightarrow \langle \hat{A} \rangle = \sum_n a_n c_n^* c_n = \sum_n a_n p_n$  |
| Dichtematrix $\underline{\rho}$                          | $\langle \hat{A} \rangle = \frac{1}{N} \sum_{i=1}^N \langle \Psi^{(i)}   \hat{A}   \Psi^{(i)} \rangle = \frac{1}{N} \sum_{i=1}^N \sum_n \sum_m \overbrace{\langle \Psi^{(i)}   \varphi_n \rangle}^{c_n^{(i)*}} \langle \varphi_n   \hat{A}   \varphi_m \rangle \overbrace{\langle \varphi_m   \Psi^{(i)} \rangle}^{c_m^{(i)}} = \frac{1}{N} \sum_{i=1}^N \sum_n \sum_m c_n^{(i)*} \langle \varphi_n   \hat{A}   \varphi_m \rangle c_m^{(i)}$<br>$\langle \hat{A} \rangle = \sum_n \sum_m \overbrace{\langle \varphi_n   \hat{A}   \varphi_m \rangle}^{\hat{A}_{nm}} \underbrace{\frac{1}{N} \sum_{i=1}^N c_m^{(i)} c_n^{(i)*}}_{\rho_{nm}} \Rightarrow \langle \hat{A} \rangle = \text{Tr}(\underline{\hat{A}} \underline{\rho})$<br>theoretisch: Summe über alle Teilchen: $\rho_{mn} = \frac{1}{N} \sum_{i=1}^N c_m^{(i)} c_n^{(i)*}$<br>praktisch: Summe über alle Zust., gewichtet mit stat. Wahrsch. $\tilde{p}_i$ : $\rho_{mn} = \sum_i \tilde{p}_i c_m^{(i)} c_n^{(i)*} = \sum_i \tilde{p}_i \langle \varphi_m   \Psi^{(i)} \rangle \langle \Psi^{(i)}   \varphi_n \rangle$<br>Diagonalelemente: $\rho_{nn} \dots$ Mittlere Besetzung der Zustände $ \varphi_n\rangle$ („populations“).<br>Kohärenzelemente $\rho_{nm}; n \neq m \dots$ beschreiben die Evolution der kohärenten Superpositionen („coherencies“) |
| Eigenschaften  | Reiner Zustand: $\rho^2 = \rho; \text{Tr}(\rho^2) = 1$   Gemischter Zust.: $\rho^2 \neq \rho; \text{Tr}(\rho^2) < 1$   Normierung: $\text{Tr}(\rho) = 1$<br>selbstadjungiert (hermitesch) $\rho^\dagger = \rho; \rho_{12} = \rho_{21}^*; \forall \lambda_i \in \mathbb{R}$   sonstiges: positiv semidefinit $\xrightarrow{\text{hermit}} \langle \chi   \rho   \chi \rangle \geq 0$   |
| Dichteoperator $\hat{\rho}$                              | $\hat{\rho} = \sum_i \tilde{p}_i  \Psi^{(i)}\rangle \langle \Psi^{(i)} $ mit $ \Psi^{(i)}\rangle = \sum_n c_n^{(i)}  \varphi_n\rangle$ Anwendung: $\langle \varphi_m   \hat{\rho}   \varphi_n \rangle = \sum_i \tilde{p}_i \langle \varphi_m   \Psi^{(i)} \rangle \langle \Psi^{(i)}   \varphi_n \rangle = \tilde{p}_i c_m^{(i)} c_n^{(i)*}$  |
| Wahrsch., dass Syst. in Zustand $ \Psi_0\rangle$         | reiner Zustand: $\langle \hat{\rho}_0 \rangle = \langle \Psi   \hat{\rho}_0   \Psi \rangle = \langle \Psi   \Psi_0 \rangle \langle \Psi_0   \Psi \rangle =  \langle \Psi_0   \Psi \rangle ^2$<br>gemischter Zustand: $\langle \hat{\rho}_0 \rangle = \text{Tr}(\hat{\rho}_0 \rho) = \text{Tr}( \Psi_0\rangle \langle \Psi_0  \rho) = \sum_i \tilde{p}_i  \langle \Psi^{(i)}   \Psi_0 \rangle ^2$ (effektive Wahrscheinlichkeit)   |
| Bloch-Vektor aus $\rho$                                  | $s_x = 2 \text{Re}(\rho_{12}); s_y = -2 \text{Im}(\rho_{12}); s_z = \rho_{11} - \rho_{22}$  |

|   |  |
|---|--|
| Kollaps nach der Messung:                       | reiner Zustand: $ \Psi\rangle \rightarrow  \Psi'\rangle_{NN} =  \Psi_0\rangle\langle\Psi_0 \Psi\rangle = \hat{P}_0 \Psi\rangle$ (nicht normiert) $\Rightarrow  \Psi'\rangle = \frac{\hat{P}_0 \Psi\rangle}{\sqrt{\langle\Psi \hat{P}_0 \Psi\rangle}} = \frac{\hat{P}_0 \Psi\rangle}{\sqrt{\langle\Psi \hat{P}_0 \Psi\rangle}} =  \Psi_0\rangle$  |
|   | gemischter Zust.: $\rho \rightarrow \rho'_{NN} = \sum_i \tilde{p}_i \hat{P}_0  \Psi^{(i)}\rangle\langle\Psi^{(i)}  \hat{P}_0 =  \Psi_0\rangle\langle\Psi_0 $ (nicht normiert) $\Rightarrow \rho' = \frac{\hat{P}_0 \rho \hat{P}_0}{\text{Tr}(\hat{P}_0 \rho)}$ mit Projektor $\hat{P}_0 =  \Psi_0\rangle\langle\Psi_0 $  |
| Einfache Berechnung von $\langle\hat{A}\rangle$ | (1) $\langle\hat{A}\rangle = \text{Tr}(\hat{A}\rho)$ ist einfach zu berechnen, wenn $\hat{\rho} = \sum_i \tilde{p}_i  \Psi^{(i)}\rangle\langle\Psi^{(i)} $ diagonal ist. Dies ist der Fall, wenn $ \Psi^{(i)}\rangle =  \varphi_n\rangle$ eine Basis ist. Dann ist $\langle\hat{A}\rangle = \text{Tr}(\hat{A}\rho) = \sum_i A_{ii} \rho_{ii}$<br>(2) $\langle\hat{A}\rangle = \text{Tr}(\hat{A}\rho)$ ist einfach zu berechnen, wenn $\hat{\rho}$ auch in der Eigenbasis von $\hat{A}$ diagonal ist. |
| Intensität:                                     | z.B. nach Stern-Gerlach-Apparat: $I' = \text{Tr}(\rho'_{NN}) = \text{Tr}(\hat{P}_1 \rho_0 \hat{P}_1)$ Strahlen mischen $\hat{P}_{\text{misch}} = \hat{P}_1 + \hat{P}_2$ ; $\rho' = \frac{\hat{P}_{\text{misch}} \rho \hat{P}_{\text{misch}}}{\text{Tr}(\hat{P}_{\text{misch}} \rho)}$  |

### Zeitentwicklung der Dichtematrix

|   |  |
|---|--|
| <b>Schrödingerbild:</b> $\rho(t)$ ersetzt bei gemischten Zuständen $\Psi(t)$ und ist daher im Schrödingerbild zeitabhängig. |  |
| Zeitenwicklung:   | $\rho_S(t) = \sum_i \tilde{p}_i  \Psi^{(i)}(t)\rangle\langle\Psi^{(i)}(t)  \hat{U}^\dagger \Rightarrow \rho_S(t) = \hat{U} \rho_S(0) \hat{U}^\dagger$ (Achtung; daher $\hat{U}^\dagger$ rechts!)   |
| Liouville-von-Neumann-Gleichung, Schrödingerbild  | $\frac{d}{dt} \hat{\rho}_S(t) = \frac{1}{i\hbar} [\hat{H}, \hat{\rho}_S(t)] = \frac{1}{i\hbar} [\hat{H}, \hat{\rho}_H]$ Beweis: SGL: $i\hbar \frac{\partial}{\partial t}  \Psi\rangle = \hat{H}  \Psi\rangle \Rightarrow \frac{\partial}{\partial t}  \Psi\rangle = \frac{1}{i\hbar} \hat{H}  \Psi\rangle \dots$ (1)<br>$\frac{d}{dt} \hat{\rho} = \frac{\partial}{\partial t} \sum_i p_i  \Psi^{(i)}\rangle\langle\Psi^{(i)}  = \sum_i \tilde{p}_i \left( \frac{\partial}{\partial t}  \Psi^{(i)}\rangle\langle\Psi^{(i)}  +  \Psi^{(i)}\rangle \frac{\partial}{\partial t} \langle\Psi^{(i)}  \right)$ (1)<br>$\frac{d}{dt} \hat{\rho} = \sum_i p_i \left( \frac{1}{i\hbar} \hat{H}  \Psi^{(i)}\rangle\langle\Psi^{(i)}  +  \Psi^{(i)}\rangle\langle\Psi^{(i)}  \left( -\frac{1}{i\hbar} \hat{H} \right) \right) = \frac{1}{i\hbar} \hat{H} \hat{\rho} - \frac{1}{i\hbar} \hat{\rho} \hat{H} = \frac{1}{i\hbar} [\hat{H}, \hat{\rho}]$   |
| <b>Heisenbergbild:</b> $\rho_H$ ersetzt bei gemischten Zuständen $\Psi_H$ und ist daher im Heisenbergbild zeitunabhängig.   |  |
| Zeitenwicklung:   | $\rho_H = \hat{\rho}_S(0) = \sum_i p_i  \Psi_S^{(i)}(0)\rangle\langle\Psi_S^{(i)}(0)  \Rightarrow i\hbar \frac{\partial}{\partial t} \rho_H = i\hbar \frac{\partial}{\partial t} \hat{\rho}_S(0) \Rightarrow \frac{\partial}{\partial t} \rho_H = 0$   |
| <b>Wechselwirkungsbild:</b> $\rho_I(t)$ ersetzt $\Psi_H(t)$ und ist im Wechselwirkungsbild zeitabhängig.                    |  |
| Aufspaltung $\hat{H}$ in zeitunabhängiges $\hat{H}_0$ und zeitabh. Störung $\hat{V}(t)$                                     | $\hat{H} = \hat{H}_0 + \hat{V}(t)$ Lösung $\hat{H}_0$ : $\hat{H}_0  \varphi_n\rangle = \varepsilon_n  \varphi_n\rangle$ ; $\hat{U}_0(t) = e^{-\frac{i}{\hbar} \hat{H}_0 t}$  |
| Intermediäre Dichtematrix beinhaltet nur Zeitabhängigkeit v. $\hat{V}(t)$   | $\hat{\rho}_I(t) = \hat{U}_0^\dagger(t) \hat{\rho}_S(t) \hat{U}_0(t)$ (Zeitabh. durch $\hat{H}_0$ wird von $\hat{U}_0^\dagger(t)$ entfernt)  |
| Liouville-von-Neumann-Gleichung im WW-Bild:   | $\frac{d}{dt} \hat{\rho}_I(t) = \frac{d}{dt} (\hat{U}_0^\dagger \hat{\rho}_S \hat{U}_0) = \frac{d}{dt} \hat{U}_0^\dagger \hat{\rho}_S \hat{U}_0 + \hat{U}_0^\dagger \frac{d}{dt} \hat{\rho}_S \hat{U}_0 + \hat{U}_0^\dagger \hat{\rho}_S \frac{d}{dt} \hat{U}_0$<br>$\frac{d}{dt} \hat{\rho}_I(t) = \frac{d}{dt} e^{\frac{i}{\hbar} \hat{H}_0 t} \hat{\rho}_S e^{-\frac{i}{\hbar} \hat{H}_0 t} + e^{\frac{i}{\hbar} \hat{H}_0 t} \hat{\rho}_S \frac{d}{dt} e^{-\frac{i}{\hbar} \hat{H}_0 t} + e^{\frac{i}{\hbar} \hat{H}_0 t} \frac{d}{dt} \hat{\rho}_S e^{-\frac{i}{\hbar} \hat{H}_0 t}$<br>$\frac{d}{dt} \hat{\rho}_I(t) = \frac{i}{\hbar} \hat{H}_0 e^{\frac{i}{\hbar} \hat{H}_0 t} \hat{\rho}_S e^{-\frac{i}{\hbar} \hat{H}_0 t} - \frac{i}{\hbar} e^{\frac{i}{\hbar} \hat{H}_0 t} \hat{\rho}_S \hat{H}_0 e^{-\frac{i}{\hbar} \hat{H}_0 t} + e^{\frac{i}{\hbar} \hat{H}_0 t} \frac{d}{dt} \hat{\rho}_S e^{-\frac{i}{\hbar} \hat{H}_0 t} = \hat{U}_0$<br>$\frac{d}{dt} \hat{\rho}_I(t) = \frac{i}{\hbar} \hat{H}_0 \hat{U}_0^\dagger \hat{\rho}_S \hat{U}_0 - \frac{i}{\hbar} \hat{U}_0^\dagger \hat{\rho}_S \hat{H}_0 \hat{U}_0 + \hat{U}_0^\dagger \frac{d}{dt} \hat{\rho}_S \hat{U}_0 = -\frac{1}{i\hbar} \hat{H}_0 \hat{U}_0^\dagger \hat{\rho}_S \hat{U}_0 + \frac{1}{i\hbar} \hat{H}_0 \hat{U}_0^\dagger \hat{\rho}_S \hat{U}_0 + \hat{U}_0^\dagger \frac{d}{dt} \hat{\rho}_S \hat{U}_0 \cdot i\hbar$<br>$i\hbar \frac{d}{dt} \hat{\rho}_I(t) = -\hat{H}_0 \hat{U}_0^\dagger \hat{\rho}_S \hat{U}_0 + \hat{H}_0 \hat{U}_0^\dagger \hat{\rho}_S \hat{U}_0 + i\hbar \hat{U}_0^\dagger \frac{d}{dt} \hat{\rho}_S \hat{U}_0 \Big  \hat{U}_0^\dagger \hat{\rho}_S \hat{U}_0 = \hat{\rho}_I$<br>$i\hbar \frac{d}{dt} \hat{\rho}_I(t) = -\hat{H}_0 \hat{\rho}_I + \hat{H}_0 \hat{\rho}_I + i\hbar \hat{U}_0^\dagger \frac{d}{dt} \hat{\rho}_S \hat{U}_0 = -[\hat{H}_0, \hat{\rho}_I] + i\hbar \hat{U}_0^\dagger \frac{d}{dt} \hat{\rho}_S \hat{U}_0 \Big  \frac{d}{dt} \hat{\rho}_S = \frac{1}{i\hbar} [\hat{H}, \hat{\rho}_S]$<br>$i\hbar \frac{d}{dt} \hat{\rho}_I(t) = -[\hat{H}_0, \hat{\rho}_I] + i\hbar \frac{1}{i\hbar} \hat{U}_0^\dagger [\hat{H}, \hat{\rho}_S] \hat{U}_0 \Big  \hat{H} = \hat{H}_0 + \hat{V}(t) \Rightarrow i\hbar \frac{d}{dt} \hat{\rho}_I(t) = [\hat{H}_0, \hat{\rho}_I] + \hat{U}_0^\dagger [\hat{H}_0 + \hat{V}(t), \hat{\rho}_S] \hat{U}_0$<br>$i\hbar \frac{d}{dt} \hat{\rho}_I(t) = -[\hat{H}_0, \hat{\rho}_I] + \hat{U}_0^\dagger [\hat{H}_0, \hat{\rho}_S] \hat{U}_0 + \hat{U}_0^\dagger [\hat{V}(t), \hat{\rho}_S] \hat{U}_0 = [\hat{H}_0, \hat{\rho}_I] + \hat{U}_0^\dagger (\hat{H}_0 \hat{\rho}_S - \hat{\rho}_S \hat{H}_0) \hat{U}_0 + \hat{U}_0^\dagger [\hat{V}(t), \hat{\rho}_S] \hat{U}_0$<br>$i\hbar \frac{d}{dt} \hat{\rho}_I(t) = -[\hat{H}_0, \hat{\rho}_I] + \hat{U}_0^\dagger \hat{H}_0 \hat{\rho}_S \hat{U}_0 - \hat{U}_0^\dagger \hat{\rho}_S \hat{H}_0 \hat{U}_0 + \hat{U}_0^\dagger [\hat{V}(t), \hat{\rho}_S] \hat{U}_0 \Big  \hat{U}_0^\dagger \hat{H}_0 = \hat{H}_0 \hat{U}_0^\dagger; \hat{H}_0 \hat{U}_0 = \hat{U}_0 \hat{H}_0$<br>$i\hbar \frac{d}{dt} \hat{\rho}_I(t) = -[\hat{H}_0, \hat{\rho}_I] + \hat{H}_0 \hat{U}_0^\dagger \hat{\rho}_S \hat{U}_0 - \hat{U}_0^\dagger \hat{\rho}_S \hat{H}_0 \hat{U}_0 + \hat{U}_0^\dagger [\hat{V}(t), \hat{\rho}_S] \hat{U}_0 \Big  \hat{U}_0^\dagger \hat{\rho}_S \hat{U}_0 = \hat{\rho}_I$<br>$i\hbar \frac{d}{dt} \hat{\rho}_I(t) = -[\hat{H}_0, \hat{\rho}_I] + \hat{H}_0 \hat{\rho}_I - \hat{\rho}_I \hat{H}_0 + \hat{U}_0^\dagger [\hat{V}(t), \hat{\rho}_S] \hat{U}_0 = i\hbar \frac{d}{dt} \hat{\rho}_I(t) = -[\hat{H}_0, \hat{\rho}_I] + [\hat{H}_0, \hat{\rho}_I] + \hat{U}_0^\dagger [\hat{V}(t), \hat{\rho}_S] \hat{U}_0$<br>$i\hbar \frac{d}{dt} \hat{\rho}_I(t) = \hat{U}_0^\dagger [\hat{\rho}_S, \hat{V}] \hat{U}_0 = \hat{U}_0^\dagger (\hat{V} \hat{\rho}_S - \hat{\rho}_S \hat{V}) \hat{U}_0 = \hat{U}_0^\dagger \hat{V} \hat{\rho}_S \hat{U}_0 - \hat{U}_0^\dagger \hat{\rho}_S \hat{V} \hat{U}_0 = \hat{U}_0^\dagger \hat{V} \hat{1} \hat{\rho}_S \hat{U}_0 - \hat{U}_0^\dagger \hat{\rho}_S \hat{1} \hat{V} \hat{U}_0 \Big  \hat{1} = \hat{U}_0 \cdot \hat{U}_0^\dagger$<br>$i\hbar \frac{d}{dt} \hat{\rho}_I(t) = \hat{U}_0^\dagger \hat{V} \hat{U}_0 \cdot \hat{U}_0^\dagger \hat{\rho}_S \hat{U}_0 - \hat{U}_0^\dagger \hat{\rho}_S \hat{U}_0 \cdot \hat{U}_0^\dagger \hat{V} \hat{U}_0 \Big  \hat{U}_0^\dagger \hat{V} \hat{U}_0 = \hat{V}_I; \hat{U}_0^\dagger \hat{\rho}_S \hat{U}_0 = \hat{\rho}_I$<br>$i\hbar \frac{d}{dt} \hat{\rho}_I(t) = \hat{V}_I \hat{\rho}_I - \hat{\rho}_I \hat{V}_I = [\hat{V}_I, \hat{\rho}_I(t)] \Rightarrow \frac{d}{dt} \hat{\rho}_I(t) = \frac{1}{i\hbar} [\hat{V}_I, \hat{\rho}_I(t)]$ mit $\hat{V}_I = \hat{U}_0^\dagger \hat{V}(t) \hat{U}_0$ |

### Noether'sches Theorem

|  |  |
|--|--|
| Zu jeder kontinuierlichen Symmetrie eines physikalischen Systems gehört eine Erhaltungsgröße:<br>Energieerhaltung $\leftrightarrow$ Homogenität der Zeit; Impulserhaltung $\leftrightarrow$ Homogenität der Raums; Drehimpulserhaltung $\leftrightarrow$ Isotropie der Raums |  |
| Symmetrie-transformation   | Erhaltungsgrößen $\hat{A}$ erzeugen in der QM eine kontinuierlich Symmetrietransformation $\hat{U}_A(\alpha) = e^{i\alpha\hat{A}}$ , $\alpha \in \mathbb{R}$   |
| Zeitentw $\leftrightarrow$ Energierh.:   | $\hat{U}(t) = e^{-it\hat{H}/\hbar}$ Translation $\leftrightarrow$ Impulserh.: $\hat{T}(\vec{x}) = e^{-i\vec{x}\hat{p}/\hbar}$ Rotation $\leftrightarrow$ Drehimpulserh.: $\hat{R}_{\vec{n}}(\varphi) = e^{-i\varphi\vec{n}\cdot\hat{\vec{L}}/\hbar}$ |
| Erhaltungsgröße $\hat{A}_H$  | $\frac{d}{dt} \hat{A}_H(t) = \frac{1}{i\hbar} [\hat{A}_H(t), \hat{H}] = 0 \Rightarrow [\hat{U}_A(\alpha), \hat{H}] = 0 \Rightarrow \hat{H}  \Psi\rangle = \hat{H} \hat{U}_A(\alpha)  \Psi\rangle = \varepsilon_0  \Psi\rangle$                       |

## Rotationen

|  |  |
|--|--|
| Aktive/passive Rot.:   | $\hat{R}(\varphi) \Psi(\vec{r}) = \Psi(R^{-1}(\varphi) \vec{r})$ mit $\hat{R}...$ Rotationsoperator, aktive Rotation; $R^{-1}...$ Rotationsmatrix, passive Rotation  |
| Herleitung Rotationsmatrix für Rotation um z-Achse                                 | $\begin{pmatrix} 1 \\ 0 \end{pmatrix} \rightarrow \begin{pmatrix} \cos(\varphi) \\ \sin(\varphi) \end{pmatrix}; \begin{pmatrix} 0 \\ 1 \end{pmatrix} \rightarrow \begin{pmatrix} -\sin(\varphi) \\ \cos(\varphi) \end{pmatrix} \Rightarrow \underline{R} = \begin{pmatrix} \cos(\varphi) & -\sin(\varphi) \\ \sin(\varphi) & \cos(\varphi) \end{pmatrix} \Rightarrow \underline{R}^{-1} = \underline{R}^T = \begin{pmatrix} \cos(\varphi) & \sin(\varphi) & 0 \\ -\sin(\varphi) & \cos(\varphi) & 0 \\ 0 & 0 & 1 \end{pmatrix}$  |
| Rotation von $\vec{r}$ um z-Achse  | $\begin{pmatrix} \cos(\varphi) & \sin(\varphi) & 0 \\ -\sin(\varphi) & \cos(\varphi) & 0 \\ 0 & 0 & 1 \end{pmatrix} \begin{pmatrix} x \\ y \\ z \end{pmatrix} = \begin{pmatrix} x \cos(\varphi) + y \sin(\varphi) \\ y \cos(\varphi) - x \sin(\varphi) \\ z \end{pmatrix} \Rightarrow \hat{R}_z(\varphi) \Psi(\vec{r}) = \Psi(x \cos(\varphi) + y \sin(\varphi), y \cos(\varphi) - x \sin(\varphi), z)$  |
| Operator $\hat{R}_z(\eta)$ für infinitesimale Rotation um z-Achse mit $\eta \ll 1$ | $\hat{R}_z(\eta) \Psi(\vec{r}) = \Psi(x \cos(\eta) + y \sin(\eta), y \cos(\eta) - x \sin(\eta), z) \mid \cos(\eta) \approx 1; \sin(\eta) \approx \eta$<br>$\hat{R}_z(\eta) \Psi(\vec{r}) \approx \Psi(x + y\eta, y - x\eta, z) = \Psi(\vec{r}) + y\eta \frac{\partial \Psi}{\partial x}(\vec{r}) - x\eta \frac{\partial \Psi}{\partial y}(\vec{r}) = \left(1 + \eta \left(y \frac{\partial}{\partial x} - x \frac{\partial}{\partial y}\right)\right) \Psi(\vec{r}) \Rightarrow$<br>$\hat{R}_z(\eta) \Psi(\vec{r}) = \left(1 + \eta \left(y \frac{\partial}{\partial x} - x \frac{\partial}{\partial y}\right)\right) \Psi(\vec{r}) \Rightarrow$<br>$\hat{R}_z(\eta) = \left(1 + \eta \left(y \frac{\partial}{\partial x} - x \frac{\partial}{\partial y}\right)\right) = \left(1 - \eta \frac{i\hbar}{i} \left(x \frac{\partial}{\partial y} - y \frac{\partial}{\partial x}\right)\right) \mid \frac{\hbar}{i} \left(x \frac{\partial}{\partial y} - y \frac{\partial}{\partial x}\right) = \hat{L}_z$<br>infinitesimale Rotation um z: $\hat{R}_z(\eta) = \left(1 - \eta \frac{i\hbar}{\hbar} \hat{L}_z\right) \Rightarrow$ allg. infinitesimale Rotation um $\vec{u}$ : $\hat{R}_{\vec{u}}(\eta) = \left(1 - \eta \frac{i\hbar}{\hbar} \vec{u} \cdot \hat{L}\right)$   |
| Rotation um endliche Winkel $\varphi$  | $\hat{R}_{\vec{u}}(\varphi) = \lim_{n \rightarrow \infty} \left(1 - \frac{\varphi}{n} \frac{i\hbar}{\hbar} \vec{u} \cdot \hat{L}\right)^n \mid x \stackrel{\text{def}}{=} \frac{\varphi}{\hbar} \vec{u} \cdot \hat{L} \Rightarrow \hat{R}_{\vec{u}}(\varphi) = \lim_{n \rightarrow \infty} \left(1 - \frac{x}{n}\right)^n = e^{-x} \Rightarrow \hat{R}_{\vec{u}}(\varphi) = e^{-i\varphi \vec{u} \cdot \hat{L} / \hbar}$   |
| Beliebige Rotation   | $\hat{R}(\alpha, \beta, \gamma) = \hat{R}_\xi(\gamma) \hat{R}_\eta(\beta) \hat{R}_z(\alpha) \dots (1)$<br><small>3) z-Drehung restaurieren 2) η-Drehung um y rückgängig 1) z-Drehung rückgängig</small><br>$\hat{R}_\eta(\beta) = \hat{R}_z(\alpha) \hat{R}_y(\beta) \hat{R}_z(-\alpha) \dots (2)$<br><small>5) η-Drehung restaurieren 4) z-Drehung restaurieren 3) ξ-Drehung um z rückgängig 2) z-Drehung rückgängig 1) η-Drehung rückgängig</small><br>$\hat{R}_\xi(\gamma) = \hat{R}_x(\beta) \hat{R}_z(\alpha) \hat{R}_y(\gamma) \hat{R}_z(-\alpha) \hat{R}_x(-\beta) \dots (3)$<br>$(2) \text{ in } (3) \Rightarrow \hat{R}_\xi(\gamma) = \hat{R}_z(\alpha) \hat{R}_y(\beta) \hat{R}_z(-\alpha) \cdot \hat{R}_z(\alpha) \hat{R}_z(\gamma) \hat{R}_z(-\alpha) \cdot \hat{R}_z(\alpha) \hat{R}_y(-\beta) \hat{R}_z(-\alpha) \dots (4)$<br>$(2), (4) \text{ in } (1) \Rightarrow$<br>$\hat{R}(\alpha, \beta, \gamma) = \hat{R}_z(\alpha) \hat{R}_y(\beta) \hat{R}_z(-\alpha) \hat{R}_z(\gamma) \hat{R}_z(-\alpha) \hat{R}_z(\alpha) \hat{R}_y(\beta) \hat{R}_z(-\alpha) \cdot \hat{R}_z(\alpha) \hat{R}_y(-\beta) \hat{R}_z(-\alpha) \cdot \hat{R}_z(\alpha)$<br>$\hat{R}(\alpha, \beta, \gamma) = \hat{R}_z(\alpha) \hat{R}_y(\beta) \hat{R}_z(-\alpha) \hat{R}_z(\gamma) \hat{R}_z(-\alpha) \hat{R}_z(\alpha) \hat{R}_y(\beta) \hat{R}_z(-\alpha) \hat{R}_z(\alpha) \hat{R}_y(-\beta) \hat{R}_z(-\alpha) \hat{R}_z(\alpha)$<br>$\hat{R}(\alpha, \beta, \gamma) = \hat{R}_z(\alpha) \hat{R}_y(\beta) \hat{R}_z(\gamma) \hat{R}_z(-\beta) \hat{R}_z(-\alpha) \Rightarrow \hat{R}(\alpha, \beta, \gamma) = e^{-i\alpha J_z / \hbar} e^{-i\beta J_y / \hbar} e^{-i\gamma J_z / \hbar}$ |
| Drehoperator   | $\langle j, m' \mid \hat{R}(\alpha, \beta, \gamma) \mid j, m \rangle = \langle j, m' \mid e^{-i\alpha J_z / \hbar} e^{-i\beta J_y / \hbar} e^{-i\gamma J_z / \hbar} \mid j, m \rangle = e^{-i\alpha m'} \langle j, m' \mid e^{-i\beta J_y / \hbar} \mid j, m \rangle e^{-i\gamma m}$<br>$\langle j, m' \mid \hat{R}(\alpha, \beta, \gamma) \mid j, m \rangle = e^{-i\alpha m'} \langle j, m' \mid d_{m'm}^{(j)}(\beta) \mid j, m \rangle e^{-i\gamma m}$ aktive Rotation eines Operators: $\hat{R} \hat{A} \hat{R}^\dagger$  |
| Wignersche Rotationsmatrix   | z.B. für Spin 1/2: $d_{m'm}^{(1/2)}(\beta) = e^{-i\beta S_y / \hbar} \mid S_y = \frac{\hbar}{2} \sigma_y \Rightarrow d_{m'm}^{(1/2)}(\beta) = e^{-i\frac{\beta}{2} \sigma_y} = \mathbb{1} \cos\left(\frac{\beta}{2}\right) - i \sigma_y \sin\left(\frac{\beta}{2}\right)$<br>$d_{m'm}^{(1/2)}(\beta) = \begin{pmatrix} 1 & 0 \\ 0 & 1 \end{pmatrix} \cos\left(\frac{\beta}{2}\right) - i \begin{pmatrix} 0 & -i \\ i & 0 \end{pmatrix} \sin\left(\frac{\beta}{2}\right) = \begin{pmatrix} 1 & 0 \\ 0 & 1 \end{pmatrix} \cos\left(\frac{\beta}{2}\right) + \begin{pmatrix} 0 & -1 \\ 1 & 0 \end{pmatrix} \sin\left(\frac{\beta}{2}\right)$<br>$d_{m'm}^{(1/2)}(\beta) = \begin{pmatrix} \cos(\beta/2) & -\sin(\beta/2) \\ \sin(\beta/2) & \cos(\beta/2) \end{pmatrix}$ für Spin 1: $d_{m'm}^{(1)}(\beta) = \frac{1}{2} \begin{pmatrix} 1 + \cos \beta & -\sqrt{2} \sin \beta & 1 - \cos \beta \\ \sqrt{2} \sin \beta & 2 \cos \beta & -\sqrt{2} \sin \beta \\ 1 - \cos \beta & \sqrt{2} \sin \beta & 1 + \cos \beta \end{pmatrix}$  |

## Rotation von skalaren Operatoren

|   |   |
|---|---|
| Drehungsinvariant   | Ein skalarer Operator $\hat{S}$ ist invariant gegenüber Drehungen: $\left[1 - \eta \frac{i\hbar}{\hbar} \vec{u} \cdot \hat{L}, \hat{S}\right] = 0 \Rightarrow [\hat{R}(\alpha, \beta, \gamma), \hat{S}] = 0$  |
| Kommutatoren  | $[\hat{J}^2, \hat{S}] = 0; [\hat{J}_x, \hat{S}] = 0; [\hat{J}_y, \hat{S}] = 0; [\hat{J}_z, \hat{S}] = 0; [\hat{J}_\pm, \hat{S}] = 0$  |
| Blockdiagonal und proportional zu $\mathbb{1}$ innerhalb des jeweiligen Unterrums zu festem $j$ | In der Basis von $\{ j^2, J_z\rangle$ -repräsentiert durch die QZ $\langle \alpha j m  $ ( $\alpha$ steht für alle anderen QZ) - hat ein skalarer Operator $\hat{S}$ eine bzgl. $j, m$ diagonale Matrixdarstellung und ist proportional zu $\mathbb{1}$ innerhalb des jeweiligen Unterrums zu festem $j$ .<br>$\langle \alpha j m   \hat{S}   \alpha j m' \rangle = S_{\alpha j} \delta_{j j'} \delta_{m m'}$ Beweis: (i) $\hat{J}^2   \alpha j m' \rangle = j(j+1)\hbar^2   \alpha j m' \rangle \Rightarrow   \alpha j m' \rangle = \frac{1}{j(j'+1)\hbar^2} \hat{J}^2   \alpha j m' \rangle \dots (1)$<br>$\langle \alpha j m   \hat{S}   \alpha j m' \rangle \stackrel{(1)}{=} \frac{1}{j'(j'+1)\hbar^2} \langle \alpha j m   \hat{S} \hat{J}^2   \alpha j m' \rangle = \frac{1}{j'(j'+1)\hbar^2} \langle \alpha j m   \hat{J}^2 \hat{S}   \alpha j m' \rangle = \frac{j(j+1)\hbar^2}{j'(j'+1)\hbar^2} \langle \alpha j m   \hat{S}   \alpha j m' \rangle \Rightarrow$<br>$\frac{j(j+1)\hbar^2}{j'(j'+1)\hbar^2} = 1 \Rightarrow \boxed{j = j'}$ (ii) $\hat{J}_z   \alpha j m' \rangle = \hbar m'   \alpha j m' \rangle \Rightarrow   \alpha j m' \rangle = \frac{1}{\hbar m'} \hat{J}_z   \alpha j m' \rangle \dots (2)$<br>$\langle \alpha j m   \hat{S}   \alpha j m' \rangle \stackrel{(2)}{=} \frac{1}{\hbar m'} \langle \alpha j m   \hat{S} \hat{J}_z   \alpha j m' \rangle = \frac{1}{\hbar m'} \langle \alpha j m   \hat{J}_z \hat{S}   \alpha j m' \rangle = \frac{\hbar m}{\hbar m'} \langle \alpha j m   \hat{S}   \alpha j m' \rangle \Rightarrow \frac{\hbar m}{\hbar m'} = 1 \Rightarrow \boxed{m = m'}$<br>(iii) $\hat{J}_+   \alpha j m - 1 \rangle = \sqrt{j(j-m+1)} \hbar   \alpha j m \rangle = \sqrt{j(j-m+1)} \hbar \cdot   \alpha j m \rangle = \sqrt{j(j-m+1)} \hbar \cdot   \alpha j m \rangle \Rightarrow$<br>$  \alpha j m \rangle = \frac{1}{\sqrt{j(j-m+1)} \hbar} \hat{J}_+   \alpha j m - 1 \rangle \dots (3) \langle \alpha j m   \hat{S}   \alpha j m \rangle \stackrel{(3)}{=} \frac{1}{\sqrt{j(j-m+1)} \hbar} \langle \alpha j m   \hat{S} \hat{J}_+   \alpha j m - 1 \rangle \Rightarrow$<br>$\langle \alpha j m   \hat{S}   \alpha j m \rangle = \frac{1}{\sqrt{j(j-m+1)} \hbar} \langle \alpha j m   \hat{J}_+ \hat{S}   \alpha j m - 1 \rangle = \frac{1}{\sqrt{j(j-m+1)} \hbar} \langle \hat{J}_+   \alpha j m \rangle   \hat{S}   \alpha j m - 1 \rangle \Rightarrow$<br>$\langle \alpha j m   \hat{S}   \alpha j m \rangle = \frac{1}{\sqrt{j(j-m+1)} \hbar} \langle \hat{J}_-   \alpha j m \rangle   \hat{S}   \alpha j m - 1 \rangle = \frac{\sqrt{j(j-m+1)} \hbar}{\sqrt{j(j-m+1)} \hbar} \langle \alpha j m - 1   \hat{S}   \alpha j m - 1 \rangle \Rightarrow$<br>$\boxed{\langle \alpha j m   \hat{S}   \alpha j m \rangle = \langle \alpha j m - 1   \hat{S}   \alpha j m - 1 \rangle \cdot 1}$ |

## Vektoroperatoren

|  |   |
|--|---|
| Kommutatorregeln für Vektoroperatoren (kartesisch) | $\hat{V}$ ist ein Vektoroperator, wenn $[\hat{V}_i, \hat{V}_j] = i\hbar\epsilon_{ijk}\hat{V}_k$ ; z.B.: $[\hat{J}_x, \hat{V}_x] = 0$ ; $[\hat{J}_x, \hat{V}_y] = i\hbar\hat{V}_z$ ; $[\hat{J}_x, \hat{V}_z] = -i\hbar\hat{V}_y$ ; ...<br>wegen $\hat{J}_\pm = \hat{J}_x \pm i\hat{J}_y$ und $\hat{V}_\pm = \hat{V}_x \pm i\hat{V}_y \Rightarrow [\hat{J}_x, \hat{V}_\pm] = \mp\hbar\hat{V}_z$ ; $[\hat{J}_y, \hat{V}_\pm] = -i\hbar\hat{V}_z$ ; $[\hat{J}_z, \hat{V}_\pm] = i\hbar\hat{V}_\pm \pm \hbar\hat{V}_x = \pm\hbar\hat{V}_\pm$<br>$[\hat{J}_+, \hat{V}_+] = 0$ ; $[\hat{J}_+, \hat{V}_-] = 2\hbar\hat{V}_z$ ; $[\hat{J}_-, \hat{V}_+] = -2\hbar\hat{V}_z$ ; $[\hat{J}_-, \hat{V}_-] = 0$ |
| Sphärische Komponenten                             | $\hat{V}_q^k = \hat{V}_q^k$ $k$ ... Stufe des Tensors (bei Vektoroperatoren: $k = 1$ ); $k \leftrightarrow l$ der Kugelflächenfunktion $Y_l^m$<br>$q$ ... sphärische Komponente ( $-k \leq q \leq k$ ); $q \leftrightarrow m$ der Kugelflächenfunktion $Y_l^m$<br>$\hat{V}_\pm^1 = -\frac{1}{\sqrt{2}}(\hat{V}_x \pm i\hat{V}_y) = -\frac{1}{\sqrt{2}}\hat{V}_\pm$ ; $\hat{V}_0^1 = \hat{V}_z$ ; $\hat{V}_\pm^1 = \frac{1}{\sqrt{2}}(\hat{V}_x \mp i\hat{V}_y) = \frac{1}{\sqrt{2}}\hat{V}_\mp$<br>$[\hat{J}_z, \hat{V}_q^1] = q\hbar\hat{V}_q^1$ ; $[\hat{J}_\pm, \hat{V}_q^1] = \hbar\sqrt{2-q(q\pm 1)}\hat{V}_{q\pm 1}^1$ ; $[\hat{J}_\pm^2, \hat{V}_q^1] = 0$                                 |
| Drehung kartesisch                                 | Vektoroperator verhält sich unter Drehung wie ein klassischer Vektor, d.h. der Erwartungswert dreht sich „klassisch“<br>$ \alpha\rangle \rightarrow \hat{R} \alpha\rangle \Rightarrow \langle\alpha \hat{V}_j \alpha\rangle \rightarrow \langle\alpha \hat{R}^\dagger\hat{V}_j\hat{R} \alpha\rangle = R_{ij}\langle\alpha \hat{V}_j \alpha\rangle \Rightarrow \hat{R}^\dagger\hat{V}_j\hat{R} = R_{ij}\hat{V}_j$ ; $\hat{R}\hat{V}_j\hat{R}^\dagger = R_{ji}\hat{V}_j$  |
| Drehung sphärisch                                  | $ lm\rangle = \sum_{m'=-l}^l  lm'\rangle\langle lm' \hat{R} lm\rangle = \sum_{m'=-l}^l d_{m'm}^{(l)} lm'\rangle$ ; $\hat{R}\hat{V}_q^1\hat{R}^\dagger = \sum_{q'=-1}^1 d_q^{(1)}\hat{V}_{q'}^1$   |

## Tensoroperatoren

|  |  |              |                |  |                |                                |                            |
|--|--|--------------|----------------|--|----------------|--------------------------------|----------------------------|
| Tensoroperatoren (sphärisch)                           | $\hat{T}_q^k$ $k$ ... Stufe des Tensors; $k \leftrightarrow l$ der Kugelflächenfunktion $Y_l^m$<br>$q$ ... sphärische Komponente ( $-k \leq q \leq k$ ); $q \leftrightarrow m$ der Kugelflächenfunktion $Y_l^m$  |              |                |  |                |                                |                            |
| Kommutatoren (sphärisch)                               | $[\hat{J}_z, \hat{T}_q^k] = q\hbar\hat{T}_q^k$ ; $[\hat{J}_\pm, \hat{T}_q^k] = \hbar\sqrt{k(k+1)-q(q\pm 1)}\hat{T}_{q\pm 1}^k$ ... gilt für irreduzible Tensoren   |              |                |  |                |                                |                            |
| Irreduzibel  | Ein Tensor ist irreduzibel, wenn es <u>keinen</u> Unterraum gibt, der invariant gegenüber Rotationen ist.<br>Skalare Operatoren sind irreduzibel, weil 1D. Auch Vektoroperatoren sind immer irreduzibel.<br>Tensoren sind manchmal reduzibel. Beispiel: $T_{ij} \stackrel{\text{def}}{=} v_i w_j$<br>(i) $\text{Tr}(T) = \sum_i T_{ii} = \sum_i v_i w_i = \vec{v} \cdot \vec{w}$ ... skalar, dh. irreduzibel.<br>(ii) $\vec{v} \times \vec{w} = \begin{pmatrix} T_{23} - T_{32} \\ -T_{13} + T_{31} \\ T_{12} - T_{21} \end{pmatrix}$ ... Vektor, d.h. irreduzibel (bleibt bei Drehungen im $\vec{v} \times \vec{w}$ -Unterraum) $\Rightarrow$<br>(iii) Irreduzibler (spurloser, symmetrischer) Teil von $T_{ij}$ hat 9-1-3=5 Dimensionen: $T_{ij} = \frac{1}{2}(T_{ij} + T_{ji}) - \frac{1}{3}T_{kk}\delta_{ij}$  |              |                |  |                |                                |                            |
| Wigner-Eckert-Theorem für irreduzible Tensoroperatoren | $\langle\alpha jm \hat{T}_q^k \alpha j'm'\rangle = \underbrace{\langle jmkq j'm'\rangle}_{\text{Clebsch-Gordon}} \cdot \underbrace{\langle\alpha j  T^k  \alpha j'\rangle}_{\text{verallg. reduz. Matrixelement}}$   Bei-<br>spiel: mit $\langle j  Y_k  j'\rangle = \sqrt{\frac{(2j+1)(2k+1)}{(2j'+1)}}\langle j0k0 j'0\rangle$<br>$\langle\alpha jm \hat{T}_q^k \alpha j'm'\rangle = \langle jmkq j'm'\rangle \cdot \langle\alpha j  T^k  \alpha j'\rangle \dots (1)$<br>$j, j'$ auf der linken Seite steht für beliebige Drehimpulse (z.B. $l$ oder $s$ )<br>$m, m'$ auf der linken Seite steht für die zugehörigen magnetischen Drehimpulsquantenzahlen (z.B. $m_l, m_s$ )<br>Auf der rechten Seite wird $k$ als zusätzlicher Drehimpuls und $q$ als zugehörige Magnet-QZ interpretiert<br>$j, k$ entsprechen dann Drehimpulsen in Produktbasis; $j'$ dem Drehimpuls in gekoppelter Basis<br>$m, q$ entsprechen dann der Magnet-QZ in Produktbasis; $m'$ der Magnetquantenzahl in gekoppelter Basis<br>$\Rightarrow$ Es sind nur Übergänge möglich, wo $ j-k  \leq j' \leq j+k$ und $m' = m+q$ .<br>$\Rightarrow$ Clebsch-Gordon-Tabelle: <table border="1" style="display: inline-table; vertical-align: middle;"><tr><td><math>j \times k</math></td><td><math>J \hat{=} j'</math></td></tr><tr><td></td><td><math>M \hat{=} m'</math></td></tr><tr><td><math>m_1 \hat{=} m; m_2 \hat{=} q</math></td><td><math>\langle jmkq j'm'\rangle</math></td></tr></table><br>$\Rightarrow$ Hat man $\langle\alpha jm \hat{T}_q^k \alpha j'm'\rangle$ für eine bestimmte Kombination $j, m, j', m'$ berechnet, ergibt sich<br>$\langle\alpha j  T^k  \alpha j'\rangle = \frac{\langle\alpha jm \hat{T}_q^k \alpha j'm'\rangle}{\langle jmkq j'm'\rangle}$ , womit über Gleichung (1) $\langle\alpha jm \hat{T}_q^k \alpha j'm'\rangle$ auch für andere $m, m'$ leicht berechenbar wird. | $j \times k$ | $J \hat{=} j'$ |  | $M \hat{=} m'$ | $m_1 \hat{=} m; m_2 \hat{=} q$ | $\langle jmkq j'm'\rangle$ |
| $j \times k$   | $J \hat{=} j'$   |              |                |  |                |                                |                            |
|  | $M \hat{=} m'$   |              |                |  |                |                                |                            |
| $m_1 \hat{=} m; m_2 \hat{=} q$                         | $\langle jmkq j'm'\rangle$   |              |                |  |                |                                |                            |

## Diskrete Symmetrien

|                         |   |
|-------------------------|---|
| Wigner Theorem          | Jede Symmetrie wirkt wie ein unitärer oder antiunitärer Operator  |
| Unitärer Operator       | Unitärer Operator für diskrete Symmetrie $\hat{U}^N = 1: N \in \mathbb{N}_+; N \geq 2$   Kommutator: $[\hat{U}, \hat{H}] = 0$   |
| Antiunitärer Op.        | $\hat{A}$ ist antiunitär, wenn $\hat{A}$ antilinear, $\exists \hat{A}^{-1}$ und $\ \hat{A} \Psi\rangle\  = \ \Psi\rangle\ $   antilinear: $\hat{A}(c_1 \Psi_1\rangle + c_2 \Psi_2\rangle) = c_1^*\hat{A} \Psi_1\rangle + c_2^*\hat{A} \Psi_2\rangle$  |
| Paritätsoperator        | $\hat{U} \stackrel{\text{def}}{=} \hat{\Pi}$<br>$N = 2$<br>Wir-<br>kung: $\hat{\Pi} \vec{r}\rangle =  -\vec{r}\rangle$ ; $\langle\vec{r} \hat{\Pi}^\dagger = \langle-\vec{r} $ ; $\langle\vec{r} \hat{\Pi} \Psi\rangle = \langle-\vec{r} \Psi\rangle$<br>$\hat{\Pi}\hat{p}\hat{\Pi} = -\hat{p}$ ; $\hat{\Pi}\hat{L}\hat{\Pi} = -\hat{L}$ ; $\hat{\Pi}\hat{L}\hat{\Pi} = (-\hat{r}) \times (-\hat{p}) = \hat{L}$ ; $\hat{\Pi}\hat{E}\hat{\Pi} = -\hat{E}$ ; $\hat{\Pi}\hat{B}\hat{\Pi} = \hat{B}$<br>$\hat{\Pi}\hat{T}_q^k\hat{\Pi} = 1$ , wenn $k$ gerade, sonst $-1$ ; $\hat{\Pi} nlm\rangle\hat{\Pi} = (-1)^l nlm\rangle$<br>$\hat{\Pi}^\dagger = \hat{\Pi}$ (hermitesch),<br>$\hat{\Pi}^\dagger = \hat{\Pi}^{-1}$ (unitär)   |
| Eigen-<br>werte:        | $\hat{\Pi}\hat{H} n\rangle = \hat{\Pi}E_n n\rangle \Rightarrow \hat{\Pi}\hat{H} n\rangle = E_n\hat{\Pi} n\rangle$ . Wenn keine Entartung: $\hat{\Pi} n\rangle = \pm 1 n\rangle$<br>Parität ist Erhaltungsgröße. Ist $ \Psi(0)\rangle$ Superpos. von symmetrischen Zuständen, dann bleibt $ \Psi(t)\rangle$ symmetrisch  |
| Zeitumkehr-<br>operator | $\hat{U} \stackrel{\text{def}}{=} \hat{A}$<br>$N = 2$<br>Für $V \in \mathbb{R}: t \rightarrow -t$ und $\hat{T} = \hat{K}$ (Komplexkonjugationsoperator); wobei $\hat{K}^{-1} = \hat{K}$<br>mit Spin: $t \rightarrow -t$ und $\hat{T} = e^{-in_j y/\hbar} \hat{K} = \hat{R}_y(\pi)$ Für Spin $\frac{1}{2}$ -Teilchen: $\hat{T} = -i\sigma_y \hat{K}$ ; $\hat{T}^{-1} = \hat{K}(-i\sigma_y)^{-1}$<br>Wirkung: $\hat{T}\hat{p}\hat{T}^{-1} = \hat{p}$ ; $\hat{T}\hat{p}\hat{T}^{-1} = -\hat{p}$ ; $\hat{T}\hat{L}\hat{T}^{-1} = \hat{p} \times (-\hat{p}) = -\hat{L}$ ; $\hat{T}\hat{E}\hat{T}^{-1} = \hat{E}$ ; $\hat{T}\hat{B}\hat{T}^{-1} = -\hat{B}$<br>Eigen-<br>schaf-<br>ten: $\hat{T}[\hat{x}, \hat{p}]\hat{T}^{-1} = \hat{T}i\hbar\hat{T}^{-1} \Rightarrow \hat{T}\hat{x}\hat{T}^{-1} - \hat{T}\hat{p}\hat{T}^{-1}\hat{x}\hat{T}^{-1} = \hat{T}\hat{x}\hat{T}^{-1}\hat{p}\hat{T}^{-1} - \hat{T}\hat{p}\hat{T}^{-1}\hat{x}\hat{T}^{-1} = -\hat{x}\hat{p} + \hat{p}\hat{x} = \hat{T}i\hbar\hat{T}^{-1}\hat{x}$<br>$[\hat{x}, \hat{p}] = -\hat{T}i\hbar\hat{T}^{-1}\hat{x} \dots (1)$ Aber: $\hat{T}[\hat{x}, \hat{p}]\hat{T}^{-1} = \hat{T}i\hbar\hat{T}^{-1} \Rightarrow [\hat{x}, \hat{p}] = \hat{T}i\hbar\hat{T}^{-1}\hat{x} \dots (2)$<br>$(1), (2) \Rightarrow \hat{T}i\hbar\hat{T}^{-1} = -i \dots \hat{T}$ ist ein antilinearer Operator $\Rightarrow \hat{T}c \Psi\rangle = c^*\hat{T} \Psi\rangle$ ; $\hat{T}^2 \Psi\rangle = \pm \Psi\rangle$ |
| Kramers Theorem         | Ein System mit Zeitumkehr-Invarianz und halbzahligem Gesamtspin besitzt nur mindestens 2x entartete Eigenwerte.   |

### Störungsrechnung, nicht entartet (Rayleigh-Schrödinger-Störungsrechnung)

|   |   |
|---|---|
| Hamilton  | $\hat{H} = \hat{H}_0 + \lambda \hat{V}$ , $\hat{H}_0$ ...ungestörter Hamilton; EW-Problem $\hat{H}_0 \phi_0\rangle = \varepsilon_0 \phi_0\rangle$ gelöst; $\hat{V}$ ...Störung, $0 \leq \lambda < 1$ ...Ordnungsparameter   |
| Voraussetzung                                     | Energieeigenwert $\varepsilon_0$ zu $ \phi_0\rangle$ nicht entartet. $\hat{H} \Psi\rangle = E \Psi\rangle$ mit $E$ nahe $\varepsilon_0$ , $ \Psi\rangle$ nahe $ \phi_0\rangle \Rightarrow  \Psi_0\rangle =  \phi_0\rangle$  |
| Entwicklung                                       | $E = E_0 + \lambda E_1 + \lambda^2 E_2 + \dots$ mit $E_0 = \varepsilon_0$ ; $ \Psi\rangle =  \Psi_0\rangle + \lambda  \Psi_1\rangle + \lambda^2  \Psi_2\rangle + \dots$ mit $ \Psi_0\rangle =  \phi_0\rangle$   |
| Einsetzen in SGL                                  | $\hat{H} \Psi\rangle = E \Psi\rangle \Rightarrow (\hat{H}_0 + \lambda \hat{V}) \sum_{i=0}^{\infty} \lambda^i  \Psi_i\rangle = (E_0 + \lambda E_1 + \lambda^2 E_2 + \dots) \sum_{i=0}^{\infty} \lambda^i  \Psi_i\rangle$ $(\hat{H}_0 + \lambda \hat{V})( \Psi_0\rangle + \lambda  \Psi_1\rangle + \lambda^2  \Psi_2\rangle + \dots) = (E_0 + \lambda E_1 + \lambda^2 E_2 + \dots)( \Psi_0\rangle + \lambda  \Psi_1\rangle + \lambda^2  \Psi_2\rangle + \dots)  E_0 = \varepsilon_0;  \Psi_0\rangle =  \phi_0\rangle$ $(\hat{H}_0 + \lambda \hat{V})( \phi_0\rangle + \lambda  \Psi_1\rangle + \lambda^2  \Psi_2\rangle + \dots) = (\varepsilon_0 + \lambda E_1 + \lambda^2 E_2 + \dots)( \phi_0\rangle + \lambda  \Psi_1\rangle + \lambda^2  \Psi_2\rangle + \dots) \Rightarrow$ $\hat{H}_0 \phi_0\rangle + \lambda \hat{H}_0 \Psi_1\rangle + \lambda^2 \hat{H}_0 \Psi_2\rangle + \lambda \hat{V} \phi_0\rangle + \lambda^2 \hat{V} \Psi_1\rangle + \dots =$ $\varepsilon_0 \phi_0\rangle + \lambda \varepsilon_0 \Psi_1\rangle + \lambda^2 \varepsilon_0 \Psi_2\rangle + \lambda E_1 \Psi_0\rangle + \lambda^2 E_1 \Psi_1\rangle + \lambda^2 E_2 \phi_0\rangle + \dots$   |
| Koeffizientenvergleich                            | $\lambda^0: \hat{H}_0 \phi_0\rangle = \varepsilon_0 \phi_0\rangle$ $\lambda^1: \hat{H}_0 \Psi_1\rangle + \hat{V} \phi_0\rangle = \varepsilon_0 \Psi_1\rangle + E_1 \phi_0\rangle \Rightarrow \hat{H}_0 \Psi_1\rangle - \varepsilon_0 \Psi_1\rangle = E_1 \phi_0\rangle - \hat{V} \phi_0\rangle \dots (1)$ $\lambda^2: \hat{H}_0 \Psi_2\rangle + \hat{V} \Psi_1\rangle = \varepsilon_0 \Psi_2\rangle + E_1 \Psi_1\rangle + E_2 \phi_0\rangle \Rightarrow \hat{H}_0 \Psi_2\rangle - \varepsilon_0 \Psi_2\rangle = E_1 \Psi_1\rangle - \hat{V} \Psi_1\rangle + E_2 \phi_0\rangle \dots (2)$  |
| nullte Ordnung                                    | $E_0 = \varepsilon_0$ $ \Psi_0\rangle =  \phi_0\rangle$   |
| Energiekorrektur und Wellenfunktion erste Ordnung | $\langle \phi_0   (1) \Rightarrow \frac{\langle \phi_0   \hat{H}_0   \Psi_1 \rangle}{\varepsilon_0 \langle \phi_0   \Psi_1 \rangle} - \frac{\langle \phi_0   \varepsilon_0   \Psi_1 \rangle}{\varepsilon_0 \langle \phi_0   \Psi_1 \rangle} = \frac{\langle \phi_0   E_1   \phi_0 \rangle}{E_1 \langle \phi_0   \phi_0 \rangle} - \langle \phi_0   \hat{V}   \phi_0 \rangle \Rightarrow 0 = E_1 - \langle \phi_0   \hat{V}   \phi_0 \rangle \Rightarrow E_1 = \langle \phi_0   \hat{V}   \phi_0 \rangle \dots (3)$ $\langle \phi_n   (1) \Rightarrow \frac{\langle \phi_n   \hat{H}_0   \Psi_1 \rangle}{\varepsilon_n \langle \phi_n   \Psi_1 \rangle} - \frac{\langle \phi_n   \varepsilon_0   \Psi_1 \rangle}{\varepsilon_0 \langle \phi_n   \Psi_1 \rangle} = \frac{\langle \phi_n   E_1   \phi_0 \rangle}{E_1 \langle \phi_n   \phi_0 \rangle} - \langle \phi_n   \hat{V}   \phi_0 \rangle \Rightarrow (\varepsilon_n - \varepsilon_0) \langle \phi_n   \Psi_1 \rangle = -\langle \phi_n   \hat{V}   \phi_0 \rangle \Rightarrow$ $\langle \phi_n   \Psi_1 \rangle = \frac{\langle \phi_n   \hat{V}   \phi_0 \rangle}{\varepsilon_0 - \varepsilon_n}  \phi_n\rangle \Rightarrow  \phi_n\rangle \langle \phi_n   \Psi_1 \rangle = \frac{ \phi_n\rangle \langle \phi_n   \hat{V}   \phi_0 \rangle}{\varepsilon_0 - \varepsilon_n} \Big _{\sum_{n=1}^{\infty}} \Rightarrow$ $\sum_{n=1}^{\infty}  \phi_n\rangle \langle \phi_n   \Psi_1 \rangle = \sum_{n=1}^{\infty} \frac{ \phi_n\rangle \langle \phi_n   \hat{V}   \phi_0 \rangle}{\varepsilon_0 - \varepsilon_n} \Big _{\sum_{n=1}^{\infty}}  \phi_n\rangle \langle \phi_n   \Psi_1 \rangle =  \Psi_1\rangle \Rightarrow  \Psi_1\rangle = \sum_{n=1}^{\infty} \frac{ \phi_n\rangle \langle \phi_n   \hat{V}   \phi_0 \rangle}{\varepsilon_0 - \varepsilon_n} \dots (4)$ |
| Energiekorrektur zweite Ordnung                   | $\langle \phi_0   (2) \Rightarrow \frac{\langle \phi_0   \hat{H}_0   \Psi_2 \rangle}{\varepsilon_0 \langle \phi_0   \Psi_2 \rangle} - \frac{\langle \phi_0   \varepsilon_0   \Psi_2 \rangle}{\varepsilon_0 \langle \phi_0   \Psi_2 \rangle} = \frac{\langle \phi_0   E_1   \Psi_1 \rangle}{E_1 \langle \phi_0   \Psi_1 \rangle} - \langle \phi_0   \hat{V}   \Psi_1 \rangle + \frac{\langle \phi_0   E_2   \phi_0 \rangle}{E_2 \langle \phi_0   \phi_0 \rangle} \Rightarrow 0 = -\langle \phi_0   \hat{V}   \Psi_1 \rangle + E_2 \Rightarrow$ $E_2 = \langle \phi_0   \hat{V}   \Psi_1 \rangle \xrightarrow{(4)} E_2 = \sum_{n=1}^{\infty} \frac{\langle \phi_0   \hat{V}   \phi_n \rangle \langle \phi_n   \hat{V}   \phi_0 \rangle}{\varepsilon_0 - \varepsilon_n}$   |

### Störungsrechnung, entartet

|                  |  |
|------------------|--|
| Hamilton         | $\hat{H} = \hat{H}_0 + \hat{V}$ , $\hat{H}_0$ ...ungestörter Hamilton; EW-Problem $\hat{H}_0 \phi_n\rangle = \varepsilon_n \phi_n\rangle$ (mit mehreren $\varepsilon_n$ ) gelöst   |
| Entartung        | Wir betrachten den Unterraum $U = \{ \phi_1\rangle,  \phi_2\rangle, \dots,  \phi_N\rangle\}$ mit N-fach entarteten Energieeigenwerten ( $\varepsilon_n = \varepsilon_{n'}$ ) oder N-fach fast entarteten Energieeigenwerten ( $ \varepsilon_n - \varepsilon_{n'}  \ll  \varepsilon_n - \varepsilon_k $ , wobei $\varepsilon_k$ der nächste nicht entartete Energieeigenwert ist).  |
| Nullte Ordnung   | Ansatz: Linearkombination der (fast) entarteten Eigenzustände $ \Psi\rangle = \sum_{n=1}^N a_n  \phi_n\rangle$   |
| Säkulargleichung | <p>Einsetzen in SGL: <math>\hat{H} \Psi\rangle = E \Psi\rangle \Rightarrow (\hat{H}_0 + \hat{V}) \sum_{n=1}^N a_n  \phi_n\rangle = E \sum_{n=1}^N a_n  \phi_n\rangle</math></p> $\sum_{n=1}^N a_n \hat{H}_0  \phi_n\rangle + \sum_{n=1}^N a_n \hat{V}  \phi_n\rangle = \sum_{n=1}^N a_n E  \phi_n\rangle \Big _{\langle \phi_{n'}   \cdot \text{mit }  \phi_{n'}\rangle \in U}$ $\sum_{n=1}^N a_n \langle \phi_{n'}   \hat{H}_0   \phi_n \rangle + \sum_{n=1}^N a_n \langle \phi_{n'}   \hat{V}   \phi_n \rangle = \sum_{n=1}^N a_n E \langle \phi_{n'}   \phi_n \rangle$ $\sum_{n=1}^N a_n \varepsilon_n \langle \phi_{n'}   \phi_n \rangle + \sum_{n=1}^N a_n \langle \phi_{n'}   \hat{V}   \phi_n \rangle = \sum_{n=1}^N a_n E \langle \phi_{n'}   \phi_n \rangle \Rightarrow \underline{\hat{H}}_0 \underline{\vec{a}} + \underline{\hat{V}} \underline{\vec{a}} = E \underline{\mathbb{1}} \underline{\vec{a}} \Rightarrow$ <p>Fast entartet: <math>(\underline{\hat{H}}_0 + \underline{\hat{V}}) \underline{\vec{a}} = E \underline{\vec{a}}</math> mit <math>\underline{\hat{H}}_0 = \begin{pmatrix} \varepsilon_1 &amp; &amp; \\ &amp; \ddots &amp; \\ &amp; &amp; \varepsilon_N \end{pmatrix}</math></p> <p>Vollständig entartet: <math>\varepsilon_0 \underline{\vec{a}} + \underline{\hat{V}} \underline{\vec{a}} = E \underline{\vec{a}} \Rightarrow \underline{\hat{V}} \underline{\vec{a}} = (E - \varepsilon_0) \underline{\vec{a}} = E_{korrr} \underline{\vec{a}}</math> ... EW-Gleichung der entarteten Störungstheorie</p> <p><math>\Rightarrow</math> Berechnung der Korrektur-Eigenwerte <math>(E - \varepsilon_0)</math> mit <math>\det(\underline{\hat{V}} - \underline{\mathbb{1}}(E - \varepsilon_0)) = \det(\underline{\hat{V}} - \underline{\mathbb{1}}E_{korrr}) = 0</math> ... Säkulargleichung</p> |

## Variationsrechnung

|   |  |
|---|--|
| Energiefunktional   | $E[\langle \phi  ,  \Psi \rangle] \stackrel{\text{def}}{=} \frac{\langle \phi   \hat{H}   \Psi \rangle}{\langle \phi   \Psi \rangle}$ ; mit $\hat{H}$ ... linearer Operator, und $\langle \phi  ,  \Psi \rangle$ ... variable Funktionen. Voraussetzung: $\langle \phi   \Psi \rangle \neq 0$  |
| Herleitung der Schrödinger-Gleichung mit Variationsrechnung (Freie Variation) | <p>Wir suchen <math>\langle \phi  </math> und <math> \Psi \rangle</math>, so dass <math>E</math> stationär wird (Extremalwerte liefert) <math>\Rightarrow \frac{\delta E}{\delta \langle \phi  } = 0</math>; <math>\frac{\delta E}{\delta  \Psi \rangle} = 0</math> (Variationsrechnung)</p> <p>D.h.: Wir variieren z.B. <math>\langle \phi   \rightarrow \langle \phi   + \varepsilon \langle \alpha  </math>; <math>\varepsilon \ll 1</math> infinitesimal (freie Variation).</p> $E[\langle \phi   + \varepsilon \langle \alpha  ,  \Psi \rangle] = \frac{\langle (\phi + \varepsilon \alpha)   \hat{H}   \Psi \rangle}{\langle (\phi + \varepsilon \alpha)   \Psi \rangle} = \frac{\langle \phi   \hat{H}   \Psi \rangle + \varepsilon \langle \alpha   \hat{H}   \Psi \rangle}{\langle \phi   \Psi \rangle + \varepsilon \langle \alpha   \Psi \rangle} = \frac{\langle \phi   \hat{H}   \Psi \rangle + \varepsilon \langle \alpha   \hat{H}   \Psi \rangle}{\langle \phi   \Psi \rangle (1 + \frac{\langle \alpha   \Psi \rangle}{\langle \phi   \Psi \rangle})} = \frac{\langle \phi   \hat{H}   \Psi \rangle + \varepsilon \langle \alpha   \hat{H}   \Psi \rangle}{\langle \phi   \Psi \rangle} \cdot \frac{1}{1 + \frac{\langle \alpha   \Psi \rangle}{\langle \phi   \Psi \rangle}} \stackrel{1}{\approx} 1 - x$ $E[\langle \phi   + \varepsilon \langle \alpha  ,  \Psi \rangle] \approx \frac{\langle \phi   \hat{H}   \Psi \rangle + \varepsilon \langle \alpha   \hat{H}   \Psi \rangle}{\langle \phi   \Psi \rangle} \left( 1 - \varepsilon \frac{\langle \alpha   \Psi \rangle}{\langle \phi   \Psi \rangle} \right) \approx \frac{\langle \phi   \hat{H}   \Psi \rangle}{\langle \phi   \Psi \rangle} + \varepsilon \frac{\langle \alpha   \hat{H}   \Psi \rangle}{\langle \phi   \Psi \rangle} - \varepsilon \frac{\langle \phi   \hat{H}   \Psi \rangle \langle \alpha   \Psi \rangle}{\langle \phi   \Psi \rangle \langle \phi   \Psi \rangle} - \varepsilon^2 \frac{\langle \alpha   \hat{H}   \Psi \rangle \langle \alpha   \Psi \rangle}{\langle \phi   \Psi \rangle \langle \phi   \Psi \rangle} \quad \varepsilon^2 \approx 0$ $E[\langle \phi   + \varepsilon \langle \alpha  ,  \Psi \rangle] \approx \frac{\langle \phi   \hat{H}   \Psi \rangle}{\langle \phi   \Psi \rangle} + \varepsilon \frac{\langle \alpha   \hat{H}   \Psi \rangle}{\langle \phi   \Psi \rangle} - \varepsilon \frac{\langle \phi   \hat{H}   \Psi \rangle \langle \alpha   \Psi \rangle}{\langle \phi   \Psi \rangle \langle \phi   \Psi \rangle} \stackrel{\text{def}}{=} E[\langle \phi  ,  \Psi \rangle]$ $E[\langle \phi   + \varepsilon \langle \alpha  ,  \Psi \rangle] = E[\langle \phi  ,  \Psi \rangle] + \varepsilon \frac{\langle \alpha   \hat{H}   \Psi \rangle}{\langle \phi   \Psi \rangle} - \varepsilon E[\langle \phi  ,  \Psi \rangle] \frac{\langle \alpha   \Psi \rangle}{\langle \phi   \Psi \rangle} \dots (1)$ $\delta E = \frac{\partial E(\varepsilon)}{\partial \varepsilon} \Big _{\varepsilon=0} d\varepsilon \stackrel{(1)}{=} \left( \frac{\langle \alpha   \hat{H}   \Psi \rangle}{\langle \phi   \Psi \rangle} - E[\langle \phi  ,  \Psi \rangle] \frac{\langle \alpha   \Psi \rangle}{\langle \phi   \Psi \rangle} \right) d\varepsilon \dots (2)$ $\delta \langle \phi   = \frac{\partial \langle \phi  }{\partial \varepsilon} (\langle \phi   + \varepsilon \langle \alpha  ) \Big _{\varepsilon=0} d\varepsilon = \langle \alpha   d\varepsilon \dots (3)$ $\frac{\delta E}{\delta \langle \phi  } \stackrel{(2),(3)}{=} \frac{\langle \alpha   \hat{H}   \Psi \rangle}{\langle \phi   \Psi \rangle} - E[\langle \phi  ,  \Psi \rangle] \frac{\langle \alpha   \Psi \rangle}{\langle \phi   \Psi \rangle} = \frac{\langle \hat{H}   \Psi \rangle - E[\langle \phi  ,  \Psi \rangle] \langle \Psi  }{\langle \phi   \Psi \rangle} \stackrel{!}{=} 0$ $\boxed{\hat{H}   \Psi \rangle - E[\langle \phi  ,  \Psi \rangle]   \Psi \rangle = 0}$ |
| Beschränkte Variation   | <p>Annahme: Testfunktion mit variierbaren Parametern <math>\alpha, \beta, \gamma, \dots</math>: <math> \Psi_T(\vec{r}, \alpha, \beta, \gamma, \dots)\rangle</math></p> <p>Wir suchen <math>\alpha, \beta, \gamma</math>, so dass <math>E(\alpha, \beta, \gamma, \dots) = \frac{\langle \Psi_T(\vec{r}, \alpha, \beta, \gamma, \dots)   \hat{H}   \Psi_T(\vec{r}, \alpha, \beta, \gamma, \dots) \rangle}{\langle \Psi_T(\vec{r}, \alpha, \beta, \gamma, \dots)   \Psi_T(\vec{r}, \alpha, \beta, \gamma, \dots) \rangle}</math> extremal (minimal) wird <math>\Rightarrow \frac{\partial E}{\partial \alpha} = \frac{\partial E}{\partial \beta} = \frac{\partial E}{\partial \gamma} = \dots = 0</math></p> <p>Funktioniert deshalb, weil wir damit im Raum der gewählten Funktionen diejenige finden, die den geringsten Energieeigenwert hat. Würden wir diese Funktion als Superposition der exakten Eigenfunktionen anschreiben, kämen am wenigsten „angeregte“ Zustände vor. <math>E_{\min}^{\text{var}} = \langle \tilde{\Psi}_T   \hat{H}   \tilde{\Psi}_T \rangle = \sum_n \langle \tilde{\Psi}_T   n \rangle E_n \langle n   \tilde{\Psi}_T \rangle = \sum_n E_n  \langle \tilde{\Psi}_T   n \rangle ^2 \geq E_0 \langle \tilde{\Psi}_T   \tilde{\Psi}_T \rangle = E_0</math></p>  |

## Zeitabhängige Störungsrechnung

|  |  |
|--|--|
| Hamilton                                     | <p>Für <math>t &lt; 0</math>: <math>\hat{H} = \hat{H}_0</math>; <math>\hat{H}_0</math> ... ungestörter Hamilton, nicht zeitabhängig; EW-Problem <math>\hat{H}_0   \phi_n \rangle = \varepsilon_n   \phi_n \rangle</math> gelöst; <math>  \phi_n \rangle</math> stationär; System nicht entartet. Zum Zeitpunkt <math>t = 0</math> wird zeitabh. Störung <math>\hat{V}(t)</math> eingeschaltet. Neuer Hamilton: <math>\hat{H} = \hat{H}_0 + \hat{V}(t)</math>.</p>  |
| Aufgabe                                      | <p>Für <math>t &lt; 0</math> sei das System im Eigenzustand <math>  \phi_i \rangle</math> (i... „initial“). Finde die zeitabh. Wahrscheinlichkeit <math>P_{if}(t)</math>, das System zum Zeitpunkt <math>t</math> im Eigenzustand <math>  \phi_f \rangle</math> einer Observablen <math>\hat{F}</math> zu finden (f... „final“). <math>  \phi_f \rangle</math> ist nicht unbedingt EZ von <math>\hat{H}_0</math>.</p>  |
| Zeitentwicklung (Volterra Integralgleichung) | <p>Ist der Hamilton zeitabhängig, kann die Zeitentwicklung <i>nicht</i> durch <math>\hat{U}(t) = e^{-i\hat{H}(t)/\hbar}</math> angegeben werden.</p> <p><b>Schrödinger:</b> <math>i\hbar \frac{d}{dt}  \Psi(t)\rangle = \hat{H}(t)  \Psi(t)\rangle \Rightarrow \frac{d}{dt}  \Psi(t)\rangle = \frac{1}{i\hbar} \hat{H}(t)  \Psi(t)\rangle \Rightarrow \int_0^t \frac{d}{dt}  \Psi(t')\rangle dt' = \frac{1}{i\hbar} \int_0^t \hat{H}(t')  \Psi(t')\rangle dt'</math></p> $ \Psi(t')\rangle \Big _0^t = \frac{1}{i\hbar} \int_0^t \hat{H}(t')  \Psi(t')\rangle dt' \Rightarrow  \Psi(t)\rangle -  \Psi(0)\rangle = \frac{1}{i\hbar} \int_0^t \hat{H}(t')  \Psi(t')\rangle dt'$ $ \Psi(t)\rangle =  \Psi(0)\rangle + \frac{1}{i\hbar} \int_0^t \hat{H}(t')  \Psi(t')\rangle dt' \quad  \Psi(t) = \hat{U}(t)  \Psi(0)\rangle$ $\hat{U}(t)  \Psi(0)\rangle =  \Psi(0)\rangle + \frac{1}{i\hbar} \int_0^t \hat{H}(t') \hat{U}(t') dt'  \Psi(0)\rangle \quad  \Psi(0)\rangle \Rightarrow \boxed{\hat{U}(t) = \mathbb{1} + \frac{1}{i\hbar} \int_0^t \hat{H}(t') \hat{U}(t') dt'} \dots \text{Volterra Integralgl.}$ <p><b>Analog im Wechselwirkungs-Bild (um triviale Zeitabhängigkeit loszuwerden):</b></p> <p><b>Schrödinger:</b> <math>i\hbar \frac{d}{dt}  \Psi_I(t)\rangle = \hat{V}_I(t)  \Psi_I(t)\rangle \Rightarrow \frac{d}{dt}  \Psi_I(t)\rangle = \frac{1}{i\hbar} \hat{V}_I(t)  \Psi_I(t)\rangle \Rightarrow \int_0^t \frac{d}{dt}  \Psi_I(t')\rangle dt' = \frac{1}{i\hbar} \int_0^t \hat{V}_I(t')  \Psi_I(t')\rangle dt'</math></p> $ \Psi_I(t')\rangle \Big _0^t = \frac{1}{i\hbar} \int_0^t \hat{V}_I(t')  \Psi_I(t')\rangle dt' \Rightarrow  \Psi_I(t)\rangle -  \Psi_I(0)\rangle = \frac{1}{i\hbar} \int_0^t \hat{V}_I(t')  \Psi_I(t')\rangle dt'$ $ \Psi_I(t)\rangle =  \Psi_I(0)\rangle + \frac{1}{i\hbar} \int_0^t \hat{V}_I(t')  \Psi_I(t')\rangle dt' \dots (1) \quad  \Psi_I(t) = \hat{U}_I(t)  \Psi_I(0)\rangle$ $\hat{U}_I(t)  \Psi_I(0)\rangle =  \Psi_I(0)\rangle + \frac{1}{i\hbar} \int_0^t \hat{V}_I(t') \hat{U}_I(t') dt'  \Psi_I(0)\rangle \quad  \Psi_I(0)\rangle \Rightarrow \boxed{\hat{U}_I(t) = \mathbb{1} + \frac{1}{i\hbar} \int_0^t \hat{V}_I(t') \hat{U}_I(t') dt'} \dots \text{Volterra Integralgl.}$  |
| Iterative Lösung                             | <p>Nullte Ordnung: <math>\boxed{ \Psi_I^{[0]}(t)\rangle =  \Psi_I(0)\rangle} \dots (2)</math></p> <p>Erste Ordnung: <math>(1) \Rightarrow  \Psi_I^{[1]}(t)\rangle =  \Psi_I(0)\rangle + \frac{1}{i\hbar} \int_0^t \hat{V}_I(t')  \Psi_I^{[0]}(t')\rangle dt' \stackrel{(2)}{\Rightarrow}  \Psi_I^{[1]}(t)\rangle =  \Psi_I(0)\rangle + \frac{1}{i\hbar} \int_0^t \hat{V}_I(t')  \Psi_I(0)\rangle dt'</math></p> $ \Psi_I^{[1]}(t)\rangle =  \Psi_I(0)\rangle +  \Psi_I(0)\rangle \frac{1}{i\hbar} \int_0^t \hat{V}_I(t') dt' \Rightarrow \boxed{ \Psi_I^{[1]}(t)\rangle = \left( \mathbb{1} + \frac{1}{i\hbar} \int_0^t \hat{V}_I(t') dt' \right)  \Psi_I(0)\rangle = \hat{U}_I^{[1]}(t)  \Psi_I(0)\rangle} \dots (3)$ <p>Zweite Ordnung: <math> \Psi_I^{[2]}(t)\rangle =  \Psi_I(0)\rangle + \frac{1}{i\hbar} \int_0^t \hat{V}_I(t')  \Psi_I^{[1]}(t')\rangle dt' \stackrel{(3)}{\Rightarrow}</math></p> $ \Psi_I^{[2]}(t)\rangle =  \Psi_I(0)\rangle + \frac{1}{i\hbar} \int_0^t \hat{V}_I(t') \left( \mathbb{1} + \frac{1}{i\hbar} \int_0^{t'} \hat{V}_I(t'') dt'' \right)  \Psi_I(0)\rangle dt'$ $ \Psi_I^{[2]}(t)\rangle =  \Psi_I(0)\rangle + \frac{1}{i\hbar} \int_0^t \hat{V}_I(t') \left( \mathbb{1} + \frac{1}{i\hbar} \int_0^{t'} \hat{V}_I(t'') dt'' \right) dt'  \Psi_I(0)\rangle$ $ \Psi_I^{[2]}(t)\rangle =  \Psi_I(0)\rangle + \frac{1}{i\hbar} \int_0^t \left( \hat{V}_I(t') + \frac{1}{i\hbar} \hat{V}_I(t') \int_0^{t'} \hat{V}_I(t'') dt'' \right) dt'  \Psi_I(0)\rangle$ $ \Psi_I^{[2]}(t)\rangle =  \Psi_I(0)\rangle + \frac{1}{i\hbar} \int_0^t \hat{V}_I(t') dt' + \frac{1}{(i\hbar)^2} \int_0^t \int_0^{t'} \hat{V}_I(t') \hat{V}_I(t'') dt'' dt'  \Psi_I(0)\rangle$ $\boxed{ \Psi_I^{[2]}(t)\rangle = \left( \mathbb{1} + \frac{1}{i\hbar} \int_0^t \hat{V}_I(t') dt' + \frac{1}{(i\hbar)^2} \int_0^t \int_0^{t'} \hat{V}_I(t') \hat{V}_I(t'') dt'' dt' \right)  \Psi_I(0)\rangle = \hat{U}_I^{[2]}(t)  \Psi_I(0)\rangle} \dots (4)$ <p style="text-align: center;"><i>vertauscht nicht</i></p> <p>Exakte Lösung: <math>\boxed{\hat{U}_I(t) = \sum_{n=0}^{\infty} \left( \frac{1}{i\hbar} \right)^n \int_0^t dt_1 \int_0^{t_1} dt_2 \dots \int_0^{t_{n-1}} dt_n \hat{V}_I(t_1) \hat{V}_I(t_2) \dots \hat{V}_I(t_n)} \quad \text{mit } \mathcal{T} \dots \text{Zeitordngsop.}</math></p> <p>Im Allgemeinen: <math>[\hat{V}_I(t) \hat{V}_I(t')] \neq 0</math>.</p> <p>Nur wenn <math>\forall t, t': [\hat{V}_I(t) \hat{V}_I(t')] = 0 \Rightarrow \hat{U}_I(t) = \sum_{n=0}^{\infty} \left( \frac{1}{i\hbar} \right)^n \frac{1}{n!} \int_0^t \hat{V}_I(t') dt' = e^{\frac{1}{i\hbar} \int_0^t \hat{V}_I(t') dt'}</math></p> |

|  |  |  |
|--|--|--|
| Berechnung<br>Übergangs-<br>amplitude und<br>Übergangs-<br>wahrscheinlich-<br>keit | Annahmen: $ \Psi_i(0)\rangle =  \phi_i\rangle$ ; $ \phi_i\rangle,  \phi_f\rangle$ sind EZ von $H_0$  | Übergangsamplitude: $a_{if} = \langle \phi_f   \Psi_i(t) \rangle$  |
|  | Übergangswahrscheinlichkeit: $P_{if} =  a_{if} ^2 =  \langle \phi_f   \Psi_i(t) \rangle ^2$  | 0. Ordnung: $P_{if}^{[0]} =  \langle \phi_f   \Psi_i^{[0]}(t) \rangle ^2 =  \langle \phi_f   \Psi_i(0) \rangle ^2 \stackrel{orth.}{=} 0$ |
|  | Berechnung 1. Ordnung. Ansatz: Seien $ f_n\rangle$ die (finalen) Eigenzustände einer Observablen $\hat{F}$ . Dann gilt allgemein:<br>$ \Psi_i(t)\rangle = \sum_{n=0}^{\infty} a_{if}(t)  f_n\rangle \langle f_n   \cdot \Rightarrow \langle f_m   \Psi_i(t) \rangle = \langle f_m   \sum_{n=0}^{\infty} a_{if}(t)  f_n\rangle = \sum_{n=0}^{\infty} a_{if}(t) \langle f_m   f_n \rangle = \sum_{n=0}^{\infty} a_{if}(t) \delta_{nm} = a_{if}(t)$   |  |
|  | $a_{if}(t) = \langle f_m   \Psi_i(t) \rangle \stackrel{(1)}{\Rightarrow} \left\langle f_m \left  \left(  \Psi_i(0)\rangle + \frac{1}{i\hbar} \int_0^t \hat{V}_i(t')  \Psi_i(t')\rangle dt' \right) \right. \right\rangle = \langle f_m   \Psi_i(0) \rangle + \frac{1}{i\hbar} \langle f_m   \int_0^t \hat{V}_i(t')  \Psi_i(t')\rangle dt'$<br>$a_{if}(t) = \langle f_m   \Psi_i(0) \rangle + \frac{1}{i\hbar} \int_0^t \langle f_m   \hat{V}_i(t')  \Psi_i(t')\rangle dt'$ <b>1. Ordnung</b><br>$a_{if}^{[1]}(t) = \langle f_m   \Psi_i(0) \rangle + \frac{1}{i\hbar} \int_0^t \langle f_m   \hat{V}_i(t')  \Psi_i^{[0]}(t')\rangle dt'$ $ \Psi_i^{[0]}(t')\rangle =  \Psi_i(0)\rangle$<br>$a_{if}^{[1]}(t) = \langle f_m   \Psi_i(0) \rangle + \frac{1}{i\hbar} \int_0^t \langle f_m   \hat{V}_i(t')  \Psi_i(0)\rangle dt'$ $ \Psi_i(0)\rangle \stackrel{!}{=}  \phi_i\rangle$ (gemäß Annahme)<br>$a_{if}^{[1]}(t) = \langle f_m   \phi_i \rangle + \frac{1}{i\hbar} \int_0^t \langle f_m   \hat{V}_i(t')  \phi_i\rangle dt'$ $i \neq f \Rightarrow \langle f_m   \phi_i \rangle = 0$<br>$a_{if}^{[1]}(t) = \frac{1}{i\hbar} \int_0^t \langle f_m   \hat{V}_i(t')  \phi_i\rangle dt'$ $ \hat{V}_i(t')\rangle = \hat{U}_0^\dagger(t') \hat{V}(t') \hat{U}_0(t')$<br>$a_{if}^{[1]}(t) = \frac{1}{i\hbar} \int_0^t \langle f_m   \hat{U}_0^\dagger(t') \hat{V}(t') \hat{U}_0(t')  \phi_i\rangle dt' = \frac{1}{i\hbar} \int_0^t \langle f_m   e^{i\varepsilon_f t'/\hbar} \hat{V}(t') e^{-i\varepsilon_i t'/\hbar}  \phi_i\rangle dt' = \frac{1}{i\hbar} \int_0^t e^{i\frac{\varepsilon_f - \varepsilon_i}{\hbar} t'} \langle f_m   \hat{V}(t')  \phi_i\rangle dt'$<br>$a_{if}^{[1]}(t) = \frac{1}{i\hbar} \int_0^t e^{i\omega_{if} t'} \langle f_m   \hat{V}(t')  \phi_i\rangle dt'$ mit $\omega_{if} \stackrel{def}{=} \frac{\varepsilon_f - \varepsilon_i}{\hbar} \Rightarrow P_{if}^{[1]}(t) = \frac{1}{\hbar^2} \left  \int_0^t e^{i\omega_{if} t'} \langle f_m   \hat{V}(t')  \phi_i\rangle dt' \right ^2$ |  |

### Goldene Fermi-Regel (Wentzel)

|                                |   |
|--------------------------------|---|
| Übergangs-<br>amplitude        | Störung ist zeitunabhängig während der Wirkungszeit   |
|                                | $a_{if}^{[1]}(t) = \frac{1}{i\hbar} \int_0^t e^{i\omega_{if} t'} \langle f_m   \hat{V}   \phi_i \rangle dt' = \frac{1}{i\hbar} \langle f_m   \hat{V}   \phi_i \rangle \int_0^t e^{i\omega_{if} t'} dt' = \frac{1}{i\hbar} \frac{1}{\omega_{if}} \langle f_m   \hat{V}   \phi_i \rangle e^{i\omega_{if} t'} \Big _0^t = -\frac{1}{\hbar\omega_{if}} \langle f_m   \hat{V}   \phi_i \rangle (e^{i\omega_{if} t} - 1)$<br>$a_{if}^{[1]}(t) = \frac{1}{\hbar\omega_{if}} \langle f_m   \hat{V}   \phi_i \rangle (1 - e^{i\omega_{if} t}) = \langle f_m   \hat{V}   \phi_i \rangle \frac{1}{\hbar\omega_{if}} \left( e^{-\frac{i\omega_{if} t}{2}} e^{\frac{i\omega_{if} t}{2}} - e^{\frac{i\omega_{if} t}{2}} e^{-\frac{i\omega_{if} t}{2}} \right)$<br>$a_{if}^{[1]}(t) = \langle f_m   \hat{V}   \phi_i \rangle e^{\frac{i\omega_{if} t}{2}} \frac{e^{-\frac{i\omega_{if} t}{2}} - e^{\frac{i\omega_{if} t}{2}}}{\hbar\omega_{if}} \frac{2i}{2i} \left  \frac{e^{-\frac{i\omega_{if} t}{2}} - e^{\frac{i\omega_{if} t}{2}}}{2i} \right  = \sin\left(-\frac{\omega_{if}}{2} t\right) = -\sin\left(\frac{\omega_{if}}{2} t\right)$<br>$a_{if}^{[1]}(t) = -\langle f_m   \hat{V}   \phi_i \rangle e^{\frac{i\omega_{if} t}{2}} \frac{2i \sin\left(\frac{\omega_{if} t}{2}\right)}{\hbar\omega_{if}} \dots (1)$ |
|                                | Übergangs-<br>wahrscheinlich-<br>keit   |
| Asymptotische<br>Übergangsrate | $P_{if}^{[1]}(t) =  a_{if}^{[1]}(t) ^2 \stackrel{(1)}{=} \left  -\langle f_m   \hat{V}   \phi_i \rangle e^{\frac{i\omega_{if} t}{2}} \frac{2i \sin\left(\frac{\omega_{if} t}{2}\right)}{\hbar\omega_{if}} \right ^2 = \frac{1}{\hbar^2}  \langle f_m   \hat{V}   \phi_i \rangle ^2 \sin^2\left(\frac{\omega_{if}}{2} t\right) \frac{2^2}{\omega_{if}^2}$<br>$P_{if}^{[1]}(t) = \frac{1}{\hbar^2}  \langle f_m   \hat{V}   \phi_i \rangle ^2 \sin^2\left(\frac{\omega_{if}}{2} t\right) \frac{1}{(\omega_{if}/2)^2} \lim_{t \rightarrow \infty} \left( \sin^2\left(\frac{\omega_{if}}{2} t\right) \frac{1}{(\omega_{if}/2)^2} \right) = 2\pi t \delta(\omega_{if})$<br>$\lim_{t \rightarrow \infty} P_{if}^{[1]}(t) = 2\pi t \delta(\omega_{if}) \frac{1}{\hbar^2}  \langle f_m   \hat{V}   \phi_i \rangle ^2$   |
|                                | $\lim_{t \rightarrow \infty} W_{if} = \frac{d}{dt} \lim_{t \rightarrow \infty} P_{if}^{[1]}(t) = \frac{d}{dt} \left( \frac{2\pi t}{\hbar^2} \delta(\omega_{if})  \langle f_m   \hat{V}   \phi_i \rangle ^2 \right) = \frac{2\pi}{\hbar^2} \delta(\omega_{if})  \langle f_m   \hat{V}   \phi_i \rangle ^2 \frac{1}{\hbar} \delta(\omega_{if}) = \delta(\hbar\omega_{if})$<br>$\lim_{t \rightarrow \infty} W_{if} = \frac{2\pi}{\hbar} \delta(\hbar\omega_{if})  \langle f_m   \hat{V}   \phi_i \rangle ^2 \left  \hbar\omega_{if} = \hbar \frac{\varepsilon_f - \varepsilon_i}{\hbar} = \varepsilon_f - \varepsilon_i \right.$<br>$\lim_{t \rightarrow \infty} W_{if} = \frac{2\pi}{\hbar} \delta(\varepsilon_f - \varepsilon_i)  \langle f_m   \hat{V}   \phi_i \rangle ^2 \dots$ Fermi's Goldene Regel (Wentzel); asymptotische Übergangsrate  |

### Einschaltvorgang, Sudden Approximation

|                  |  |
|------------------|--|
| Einschaltvorgang | Im Zeitintervall $[-T, T]$ wird symmetrisch um $t = 0$ die Störung $V$ mit einer „Switch“-Funktion $f(t)$ eingeschaltet:<br>$\hat{H}(t) = (1 - f(t))\hat{H}_0 + f(t)\hat{H}_1$ wobei $f(-T) = 0$ und $f(T) = 1$ .<br>Transformation auf skalierte Zeit: $s = \frac{t}{T} \Rightarrow [-T, T] \rightarrow [-1, 1]$<br>Evolutionsoperator: $\hat{U}(t, -T) = 1 + \frac{1}{i\hbar} \int_{-T}^t \hat{H}(t') \hat{U}(t', -T) dt' \rightarrow \hat{U}_T(s, -1) = 1 + \frac{1}{i\hbar} \int_{-1}^s \hat{H}(s') \hat{U}(s', -1) ds'$<br>Der Parameter $T$ des Operators $\hat{U}_T$ gibt ab, wie schnell der Übergang von $\hat{H}_0$ auf $\hat{H}_1$ erfolgt. |
|                  | „Sudden“<br>Grenzfall  |



## Systeme identischer Teilchen

|                                   |   |  |
|-----------------------------------|---|--|
| Zählung von Zuständen             | Das „naive“ Zählen von Zuständen führt bei nicht unterscheidbaren Quantenteilchen i.A. nicht zum richtigen Ergebnis. Beispiel: Zwei Teilchen können die Energieniveaus 0 und 1 besetzen. Naive Zählung: $\{ 00\rangle,  01\rangle,  10\rangle,  11\rangle\} \rightarrow 4$ Zustände. Aber: Tatsächlich kann nicht zwischen $ 01\rangle$ und $ 10\rangle$ unterschieden werden. Tatsächlich gibt es die folgenden Zustände:<br>Bei Bosonen: $\left\{ 00\rangle, \frac{1}{\sqrt{2}}( 01\rangle +  10\rangle),  11\rangle\right\} \rightarrow$ drei Zustände (symmetrisch)<br>Bei Fermionen: $\left\{\frac{1}{\sqrt{2}}( 01\rangle -  10\rangle)\right\} \rightarrow$ nur 1 antisymmetrischer Zustand, $ 00\rangle$ und $ 11\rangle$ nicht erlaubt (vernachlässige Spin) |  |
| Transpositionsoperator            | $\hat{P}_{ij} \rightarrow$ vertauscht $i$ und $j$ , z.B. $\vec{r}_i \leftrightarrow \vec{r}_j; \vec{p}_i \leftrightarrow \vec{p}_j; \hat{P}_{12} \Psi(\vec{x}_1, \vec{x}_2) \rightarrow \Psi(\vec{x}_2, \vec{x}_1)$ Kommutator: $[\hat{P}_{ij}, \hat{H}] = 0 \Rightarrow \exists$ gem. Eigenbasis   | Eigenschaften: $\hat{P}_{ij}^2 = \mathbb{1}; \hat{P}_{ij} = \hat{P}_{ij}^{-1}$ Beispiel: $\hat{P}_{ij} \hat{V}(i, j) \hat{P}_{ij}^{-1} = \hat{P}_{ij} \hat{V}(j, i) \hat{P}_{ij} = \hat{V}(j, i) = \hat{V}(i, j)$ (sic!), weil $\hat{V}(i, j) = \frac{1}{ \vec{r}_i - \vec{r}_j }$                               |
| Permutationsoperator              | Bei $N > 2$ sind nicht alle Permutationen durch einfache Transpositionen darstellbar, aber als Produkt von Transpositionen: $\hat{P}_{123}(abc) = \hat{P}_{12}\hat{P}_{23}(abc) = \hat{P}_{12}(acb) =  cab\rangle$ Achtung: Sequenz von Transpositionen kommutiert nicht: $[\hat{P}_{12}, \hat{P}_{23}] \neq 0 \Rightarrow \nexists$ gemeinsames VONS für alle Transpositionsoperatoren. Es ist nicht für alle Eigenzustände von $\hat{H}$ möglich entweder vollständig symmetrisch oder antisymmetrisch unter Transpositionen zu sein.   |  |
| Symmetrisierer Antisymmetrisierer | Antisymmetrisierer: $\hat{A} = \frac{1}{N!} \sum_P (-1)^P P$ $P \dots$ beliebige Permutation $(-1)^P = -1$ wenn ungerade Zahl von Permutat., sonst 1  | Symmetrisierer: $\hat{S} = \frac{1}{N!} \sum_P P$  |
| Eigenschaften:                    | $\hat{S}^2 = \hat{S}; \hat{A}^2 = \hat{A}; \hat{S}\hat{A} = \hat{A}\hat{S} = 0$   | Unterräume: $\mathcal{H}_S = \hat{S}\mathcal{H}; \mathcal{H}_A = \hat{A}\mathcal{H}; \mathcal{H}_S \cap \mathcal{H}_A = \{ \}$   |
| Slater-Determinante               | Konstruktion komplett antisymm. Zustand: $ \Psi_A\rangle = \frac{1}{\sqrt{N!}} \begin{vmatrix}  a\rangle_1 &  a\rangle_2 & \dots &  a\rangle_n \\  b\rangle_1 &  b\rangle_2 & \dots &  b\rangle_n \\ \dots & \dots & \dots & \dots \\  \mu\rangle_1 &  \mu\rangle_2 & \dots &  \mu\rangle_n \end{vmatrix}$ $ a\rangle_i \dots i$ -tes Teilchen im Zustand $a$ ( $a \hat{=}$ alle QZ)  | Konstruktion komplett symmetrischer Zustand: $ \Psi_S\rangle = \frac{1}{\sqrt{N!}} \begin{vmatrix}  a\rangle_1 &  a\rangle_2 & \dots &  a\rangle_n \\  b\rangle_1 &  b\rangle_2 & \dots &  b\rangle_n \\ \dots & \dots & \dots & \dots \\  \mu\rangle_1 &  \mu\rangle_2 & \dots &  \mu\rangle_n \end{vmatrix}_+$ |

## Zweite Quantisierung

|                            |  |  |
|----------------------------|--|--|
| Fock-Raum                  | Der Fock-Raum $\mathcal{H}^{Fock}$ entsteht als Summe der einzelnen Hilberträume für kein Teilchen ( $\mathcal{H}_0$ ), ein Teilchen ( $\mathcal{H}_1$ ), zwei Teilchen ( $\mathcal{H}_2$ ), usw.: $\mathcal{H}^{Fock} = \mathcal{H}_0 \oplus \mathcal{H}_1 \oplus \mathcal{H}_2 \oplus \dots \oplus \mathcal{H}_N \oplus \dots$ Die Basis $B_0$ von $\mathcal{H}_0$ ist $B_0 = \{ 0\rangle\} = \{ \text{vac}\rangle\}$ . Achtung: $ 0\rangle \neq 0 0\rangle$ , sondern $\langle \text{vac}   \text{vac} \rangle = 1$ . Die Basis $B_1$ von $\mathcal{H}_1$ ist $B_1 = \{ \Phi_i\rangle\}$ . Die Basis $B_n$ von $\mathcal{H}_n$ ist $B_n = \left\{ \hat{\mathcal{O}} \frac{\sqrt{N!}}{\sqrt{n_1!n_2!\dots n_i!}}  \Phi_{\alpha_1}\rangle  \Phi_{\alpha_2}\rangle \dots  \Phi_{\alpha_N}\rangle \right\}$ mit $N \dots$ Gesamtzahl Teilchen, $n_i \dots$ Teilchenzahl im jeweiligen Zustand und $\hat{\mathcal{O}} = \hat{S}$ für Bosonen bzw. $\hat{\mathcal{O}} = \hat{A}$ für Fermionen. Ein VONS für $\mathcal{H}^{Fock}$ ist gegeben mit $B_N = \{n_1, n_2, \dots, n_i, \dots\}$ .   |  |
| Besetzungszahl formalismus | Ein System aus $N$ ununterscheidbaren Teilchen und diskreten Energieniveaus kann dann im Fock-Raum sehr kompakt mit dem Besetzungszahlformalismus angegeben werden. Der Fock-Vektor $ n_1, n_2, \dots, n_m, \dots\rangle = \hat{\mathcal{O}} \frac{\sqrt{N!}}{\sqrt{n_1!n_2!\dots n_i!}}  \Phi_{\alpha_1}\rangle  \Phi_{\alpha_2}\rangle \dots  \Phi_{\alpha_N}\rangle$ bedeutet, dass $n_1$ (ununterscheidbare) Teilchen im ersten Zustand, $n_2$ Teilchen im zweiten Zustand und $n_m$ Teilchen im $m$ -ten Zustand sind, wobei die Reihenfolge der Zustände beliebig festgelegt werden kann, aber dann konstant gehalten werden muss.   |  |
| Basisoperatoren            | Erzeuger: $\hat{a}_i^\dagger  n_1, n_2, \dots, n_i, \dots\rangle = \sqrt{n_i + 1}  n_1, n_2, \dots, n_i + 1, \dots\rangle$ $\hat{a}_i^\dagger  \text{vac}\rangle =  n_1 = 0, n_2 = 0, \dots, n_i = 1, \dots\rangle$<br>Bei Fermionen: Zustände höchstens 1x besetzt: $\hat{a}_i^\dagger  n_1, n_2, \dots, n_i = 1, \dots\rangle = 0$   | Vernichter: $\hat{a}_i  n_1, n_2, \dots, n_i, \dots\rangle = \sqrt{n_i}  n_1, n_2, \dots, n_i - 1, \dots\rangle$ $\hat{a}_i  n_1, n_2, \dots, n_i = 0, \dots\rangle = 0$ |
| Basis erzeugen:            | $ n_1, n_2, \dots, n_i, \dots\rangle = \prod_{i=1}^{\infty} \frac{1}{\sqrt{n_i!}} (\hat{a}_i^\dagger)^{n_i}  \text{vac}\rangle$  | $\hat{a}_i \hat{a}_i^\dagger  n_1, n_2, \dots, n_i, \dots\rangle = (n_i + 1)  n_1, n_2, \dots, n_i, \dots\rangle$  |
| Besetzungszahloperator:    | $\hat{N}_i  n_1, n_2, \dots, n_i, \dots\rangle = \hat{a}_i^\dagger \hat{a}_i  n_1, n_2, \dots, n_i, \dots\rangle = n_i  n_1, n_2, \dots, n_i, \dots\rangle$  |  |
| Fermi-Algebra              | $\hat{a}_1^\dagger \hat{a}_2^\dagger  \text{vac}\rangle \hat{=} \frac{1}{\sqrt{2}} ( \Phi_2\rangle_1  \Phi_1\rangle_2 -  \Phi_2\rangle_2  \Phi_1\rangle_1)$ ; $\hat{a}_2^\dagger \hat{a}_1^\dagger  \text{vac}\rangle \hat{=} \frac{1}{\sqrt{2}} ( \Phi_1\rangle_1  \Phi_2\rangle_2 -  \Phi_1\rangle_2  \Phi_2\rangle_1) \Rightarrow$<br>$\hat{a}_i^\dagger \hat{a}_j^\dagger = -\hat{a}_j^\dagger \hat{a}_i^\dagger \Rightarrow \boxed{[\hat{a}_i^\dagger, \hat{a}_j^\dagger]_+ = [\hat{a}_i, \hat{a}_j]_+ = 0}$ Zustände höchstens 1x besetzt: $\boxed{[\hat{a}_i, \hat{a}_j^\dagger]_+ = \delta_{ij}}$  | Bose-Algebra $[\hat{a}_i^\dagger, \hat{a}_j^\dagger] = [\hat{a}_i, \hat{a}_j] = 0$<br>$[\hat{a}_i, \hat{a}_j^\dagger] = \delta_{ij}$                                     |
| Einteilchenoperator        | Wir suchen eine Darstellung eines allgemeinen Operators $\hat{F}^{(1)}$ durch $\hat{a}^\dagger$ und $\hat{a}$ , wobei der Operator $\hat{F}^{(1)}$ als Summe von Einteilchenoperatoren gegeben ist: $\hat{F}^{(1)} = \hat{f}_1^{(1)} + \hat{f}_2^{(1)} + \dots + \hat{f}_N^{(1)} = \sum_{i=1}^N \hat{f}_i^{(1)}$ . Ein Beispiel wäre der Hamilton-Operator $\hat{H}_V$ , der sich aus der Summe der Einteilchenpotentiale $\hat{V}(\vec{r}_i)$ ergibt: $\hat{H}_V = \sum_{i=1}^N \hat{V}(\vec{r}_i)$ . Die Matrixelemente eines Einteilchenoperators $\hat{f}_i^{(1)}$ ergeben sich in der Basis $B_1 = \{ \Phi_i\rangle\}$ zu $f_{\alpha\beta}^{(1)} = \langle \Phi_\alpha   \hat{f}_i^{(1)}   \Phi_\beta \rangle$ . Damit können wir den Einteilchenoperator $\hat{f}_i^{(1)}$ als Matrix anschreiben: $\hat{f}_i^{(1)} = \sum_{\alpha, \beta} f_{\alpha\beta}^{(1)}  \Phi_\alpha\rangle_i \langle \Phi_\beta _i$ . Dabei sind $ \Phi_\alpha\rangle_i$ die Basisvektoren bezüglich des $i$ -ten Einteilchenoperators $\hat{f}_i^{(1)}$ . Nun können wir den Operator $\hat{F}^{(1)}$ schreiben als $\hat{F}^{(1)} = \sum_{i=1}^N \hat{f}_i^{(1)} = \sum_{i=1}^N \sum_{\alpha, \beta} f_{\alpha\beta}^{(1)}  \Phi_\alpha\rangle_i \langle \Phi_\beta _i \Rightarrow$<br>$\hat{F}^{(1)} = \sum_{\alpha, \beta} f_{\alpha\beta}^{(1)} \sum_{i=1}^N  \Phi_\alpha\rangle_i \langle \Phi_\beta _i$ Wirkung von $\hat{F}^{(1)}$ :<br>$\hat{F}^{(1)}  n_1, \dots, n_\alpha, \dots, n_\beta, \dots\rangle = \sum_{\alpha, \beta} f_{\alpha\beta}^{(1)} \sum_{i=1}^N  \Phi_\alpha\rangle_i \langle \Phi_\beta _i  n_1, \dots, n_\alpha, \dots, n_\beta, \dots\rangle$<br>$\hat{F}^{(1)}  n_1, \dots, n_\alpha, \dots, n_\beta, \dots\rangle = \sum_{\alpha, \beta} f_{\alpha\beta}^{(1)} \sum_{i=1}^N  \Phi_\alpha\rangle_i \langle \Phi_\beta _i \hat{\mathcal{O}} \frac{\sqrt{N!}}{\sqrt{n_1!n_2!\dots n_i!}}  \Phi_{\alpha_1}\rangle  \Phi_{\alpha_2}\rangle \dots  \Phi_{\alpha_N}\rangle$ z.B. Bosonen: $\hat{\mathcal{O}} = \frac{1}{N!} \sum_P P$<br>$\hat{F}^{(1)}  n_1, \dots, n_\alpha, \dots, n_\beta, \dots\rangle = \frac{1}{\sqrt{N!n_1!n_2!\dots n_i!}} \sum_{\alpha, \beta} f_{\alpha\beta}^{(1)} \sum_P P \sum_{i=1}^N  \Phi_\alpha\rangle_i \langle \Phi_\beta _i  \Phi_{\alpha_1}\rangle  \Phi_{\alpha_2}\rangle \dots  \Phi_{\alpha_N}\rangle$<br>Zwei Fälle: (1) $\nexists \alpha i: \alpha_i = \beta \Rightarrow$ Produkt null (2) $\exists \alpha i: \alpha_i = \beta \Rightarrow \alpha_i$ wird durch $\alpha$ ersetzt. Wir entfernen also ein Teilchen im Zustand $\Phi_{\alpha i} = \Phi_\beta$ und fügen ein Teilchen im Zustand $\Phi_\alpha$ hinzu $\Rightarrow$<br>$\hat{F}^{(1)}  n_1, \dots, n_\alpha, \dots, n_\beta, \dots\rangle = \sum_{\alpha, \beta} f_{\alpha\beta}^{(1)} n_\beta \frac{\sqrt{n_\alpha+1}}{\sqrt{n_\beta}}  n_1, \dots, n_\alpha, \dots, n_\beta, \dots\rangle = \sum_{\alpha, \beta} f_{\alpha\beta}^{(1)} n_\beta \hat{a}_\alpha^\dagger \hat{a}_\beta  n_1, \dots, n_\alpha, \dots, n_\beta, \dots\rangle$ |  |
| Jaynes-Cummings Modell     | WW 2-Level Atom im quantisierten Lichtfeld einer Mode in Resonator: $\hat{H}_{JC} = \hat{H}_{Feld} + \hat{H}_{Atom} + \hat{H}_{WW}; \hat{H}_{Feld} = \hbar\omega_c \hat{a}^\dagger \hat{a}; \hat{H}_{Atom} = \hbar\omega_a \hat{\sigma}_+ \hat{\sigma}_-$ mit $\hat{\sigma}_+ =  e\rangle\langle g  \Rightarrow \hat{\sigma}_+  g\rangle =  e\rangle; \hat{\sigma}_- =  g\rangle\langle e  \Rightarrow \hat{\sigma}_-  e\rangle =  g\rangle; \hat{H}_{WW} = \hbar g (\hat{\sigma}_+ + \hat{a}^\dagger \hat{\sigma}_-)$   |  |

## Relativistische Quantenmechanik

|                                     |   |
|-------------------------------------|---|
| Motivation                          | Schrödingergleichung mit kinetischer Energie $E = \frac{p^2}{2m}$ nichtrelativistisch, daher nur für $v \ll c$ . Relativistische Dispersionsrelation: $E^2 = p^2 c^2 + m^2 c^4 \Rightarrow E = \pm \sqrt{p^2 c^2 + m^2 c^4}$ . Problem: Negative Energien?  |
| 1. Versuch                          | Wir kümmern uns nur um $E = +\sqrt{p^2 c^2 + m^2 c^4}$ . Neue „relativistische SGL“ für freies Teilchen: $i\hbar \frac{d}{dt} \Psi(\vec{r}, t) = \hat{H} \Psi(\vec{r}, t) \Rightarrow$<br>$i\hbar \frac{d}{dt} \Psi(\vec{r}, t) = \sqrt{\hat{p}^2 c^2 + m^2 c^4} \Psi(\vec{r}, t) = \sqrt{-\hbar^2 c^2 \Delta + m^2 c^4} \Psi(\vec{r}, t) \Rightarrow i\hbar \frac{d}{dt} \Psi(\vec{r}, t) = mc^2 \sqrt{1 - \frac{\hbar^2}{m^2 c^2} \Delta} \Psi(\vec{r}, t) \dots (1)$ $\sqrt{1-x} = 1 - \frac{x}{2} - \frac{x^2}{8} - \dots \stackrel{(1)}{\Rightarrow} i\hbar \frac{d}{dt} \Psi(\vec{r}, t) \approx mc^2 \left( 1 - \frac{\hbar^2}{2m^2 c^2} \Delta - \frac{\hbar^4}{8m^4 c^4} \Delta^2 - \dots \right) \dots (2)$ <b>Probleme:</b> (1) $\Rightarrow$ Zeit-Raum-asymmetrisch, (2) $\Rightarrow$ Enthält Ableitung beliebiger Ordnung $\Rightarrow$ hochgradig nichtlokal!  |
| 2. Versuch: Klein Gordon Gleichung  | Quantisierung von $E^2 = p^2 c^2 + m^2 c^4$ : „Quadratische relativistische SGL“: $-\hbar^2 \frac{d^2}{dt^2} \Psi(\vec{r}, t) = E^2 \Psi(\vec{r}, t) \Rightarrow$<br>$-\hbar^2 \frac{d^2}{dt^2} \Psi(\vec{r}, t) = (\hat{p}^2 c^2 + m^2 c^4) \Psi(\vec{r}, t) = (-\hbar^2 c^2 \Delta + m^2 c^4) \Psi(\vec{r}, t) = -\hbar^2 c^2 \Delta \Psi(\vec{r}, t) + m^2 c^4 \Psi(\vec{r}, t) : (\hbar^2 c^2) \Rightarrow$ $-\frac{1}{c^2} \frac{d^2}{dt^2} \Psi(\vec{r}, t) = -\Delta \Psi(\vec{r}, t) + \frac{m^2 c^2}{\hbar^2} \Psi(\vec{r}, t) \Rightarrow \left( \Delta - \frac{1}{c^2} \frac{d^2}{dt^2} \right) \Psi(\vec{r}, t) = \frac{m^2 c^2}{\hbar^2} \Psi(\vec{r}, t) \dots (3)$ $\square \Psi(\vec{r}, t) = k_c^2 \Psi(\vec{r}, t) \dots (4) \text{ Klein-Gordon Gleichung (mit } \square = \left( \Delta - \frac{1}{c^2} \frac{d^2}{dt^2} \right); k_c = \frac{mc}{\hbar} \text{) Lösung: } \Psi(\vec{r}, t) \propto e^{-\frac{i}{\hbar}(Et - \vec{p} \cdot \vec{x})}$ <b>Vorteil:</b> Ort-Zeit-Symmetrie. <b>Nachteil (?):</b> Negative Energie-Lösungen<br>$\Psi^* \square \Psi = -k_c^2 \Psi^* \Psi \dots (5a); \Psi \square \Psi^* = -k_c^2 \Psi \Psi^* \dots (5b) \stackrel{(5a)-(5b)}{\Rightarrow} \Psi^* \square \Psi - \Psi \square \Psi^* = 0 \Rightarrow \Psi^* \partial_\mu \partial^\mu \Psi - \Psi \partial_\mu \partial^\mu \Psi^* = 0 \Rightarrow$<br>$\partial_\mu (\Psi^* \partial^\mu \Psi - \Psi \partial^\mu \Psi^*) = 0 \Rightarrow \frac{1}{c^2} \frac{\partial}{\partial t} (\Psi^* \frac{\partial}{\partial t} \Psi - \Psi \frac{\partial}{\partial t} \Psi^*) - \vec{\nabla} \cdot (\Psi^* \vec{\nabla} \Psi - \Psi \vec{\nabla} \Psi^*) = 0 \Rightarrow$<br>$\frac{1}{c^2} \frac{\partial}{\partial t} (\Psi^* \frac{\partial}{\partial t} \Psi - \Psi \frac{\partial}{\partial t} \Psi^*) = \vec{\nabla} \cdot (\Psi^* \vec{\nabla} \Psi - \Psi \vec{\nabla} \Psi^*) \Big _{2m} \Rightarrow \frac{\partial}{\partial t} \left[ \frac{i\hbar}{2mc^2} (\Psi^* \frac{\partial}{\partial t} \Psi - \Psi \frac{\partial}{\partial t} \Psi^*) \right] = -\vec{\nabla} \cdot \left[ \frac{\hbar}{2mi} (\Psi^* \vec{\nabla} \Psi - \Psi \vec{\nabla} \Psi^*) \right]$<br><b>vgl.:</b> $\vec{j} = \frac{\hbar}{2mi} (\Psi^* \vec{\nabla} \Psi - \Psi \vec{\nabla} \Psi^*) \Rightarrow \frac{\partial}{\partial t} \left[ \frac{i\hbar}{2mc^2} (\Psi^* \frac{\partial}{\partial t} \Psi - \Psi \frac{\partial}{\partial t} \Psi^*) \right] = -\vec{\nabla} \cdot \vec{j} \text{ vgl. } \frac{\partial}{\partial t} \rho = -\vec{\nabla} \cdot \vec{j} \Rightarrow$<br><b>Wahrscheinlichkeitsdichte</b> $\rho = \frac{i\hbar}{2mc^2} (\Psi^* \frac{\partial}{\partial t} \Psi - \Psi \frac{\partial}{\partial t} \Psi^*)$ Wir erwarten: $\rho \in \mathbb{R}, \rho > 0$ .<br><b>Problem:</b> z.B. bei freier Lösung $\Psi(\vec{r}, t) = e^{-\frac{i}{\hbar}(Et - \vec{p} \cdot \vec{x})}$ ist $\rho < 0$ für $E < 0$ . |
| 3. Versuch Dirac-Gleichung (Lösung) | Ansatz: $i\hbar \frac{\partial}{\partial t} \Psi(\vec{r}, t) = \hat{H}_D \Psi(\vec{r}, t)$ mit $\hat{H}_D = c\vec{\alpha} \vec{p} + \beta mc^2 + \hat{V} \dots (1) \Rightarrow i\hbar \frac{\partial}{\partial t} \Psi(\vec{r}, t) = (c\vec{\alpha} \vec{p} + \beta mc^2 + \hat{V}) \Psi(\vec{r}, t) \dots (2) \Rightarrow$<br>$(\hat{H}_D - \hat{V})^2 \stackrel{(1)}{=} (c\vec{\alpha} \vec{p} + \beta mc^2)^2 \stackrel{!}{=} p^2 c^2 + m^2 c^4 \Rightarrow (c\alpha_i p_i + \beta mc^2)(c\alpha_j p_j + \beta mc^2) = p^2 c^2 + m^2 c^4$<br>$\alpha_i p_i \alpha_j p_j c^2 + \beta^2 m^2 c^4 + mc^3 \alpha_i p_i \beta + mc^3 \beta \alpha_j p_j = p^2 c^2 + m^2 c^4 \mid \alpha_i \text{ und } \beta \text{ von } x^\mu \text{ unabh.} \Rightarrow [\alpha_i, p_j] = 0, [\beta, p_i] = 0$<br>$\alpha_i \alpha_j p_i p_j c^2 + \beta^2 m^2 c^4 + mc^3 p_i (\alpha_i \beta + \beta \alpha_i) = p^2 c^2 + m^2 c^4 + 0 \Rightarrow$<br>$\alpha_i \alpha_j = 1 \Rightarrow \alpha_i \alpha_i + \alpha_j \alpha_j = 2\delta_{ij}; \beta^2 = 1; \alpha_i \beta + \beta \alpha_i = 0 \dots \text{Clifford-Algebra}$<br>Wir brauchen 4 Dimensionen um GLSYS zu lösen (Matrix-GLSYS)!<br>Lösung: $\alpha_i = \begin{pmatrix} 0 & \sigma_i \\ \sigma_i & 0 \end{pmatrix}; \beta = \begin{pmatrix} 1_2 & 0_2 \\ 0_2 & -1_2 \end{pmatrix}; \Psi(\vec{r}, t) = \begin{pmatrix} \Psi_1(\vec{r}, t) \\ \Psi_2(\vec{r}, t) \\ \Psi_3(\vec{r}, t) \\ \Psi_4(\vec{r}, t) \end{pmatrix} \dots$ ist kein SRT 4er-Vektor, sondern ein 4er-Spinor $\in \mathbb{C}^4$ !<br><b>Wahrscheinlichkeitsdichte</b> $\rho = \Psi^\dagger(\vec{r}, t) \Psi(\vec{r}, t) = \sum_{i=1}^4 \Psi_i^*(\vec{r}, t) \Psi_i(\vec{r}, t)$<br><b>Wahrscheinlichkeitsstromdichte:</b> $\vec{j} = \Psi^\dagger(\vec{r}, t) c\vec{\alpha} \Psi(\vec{r}, t)$<br>Kontinuitätsgleichung: $i\hbar \frac{\partial}{\partial t} (\Psi^\dagger \Psi) = \Psi^\dagger \hat{H}_D \Psi - (\hat{H}_D \Psi)^\dagger \Psi = -i\hbar \vec{\nabla} \cdot (\Psi^\dagger c\vec{\alpha} \Psi) \Rightarrow \frac{\partial}{\partial t} \rho + \vec{\nabla} \cdot \vec{j} = 0 \Rightarrow$ positiv definite Dichte ✓  |
| Lösung für freies Teilchen          | $\hat{V} = 0 \stackrel{(2)}{\Rightarrow} i\hbar \frac{\partial}{\partial t} \Psi(\vec{r}, t) = (c\vec{\alpha} \vec{p} + \beta mc^2) \Psi(\vec{r}, t) : c \Rightarrow i\hbar \frac{1}{c} \frac{\partial}{\partial t} \Psi(\vec{r}, t) = (\vec{\alpha} \vec{p} + \beta mc) \Psi(\vec{r}, t) \cdot \beta$<br>$i\hbar \beta \frac{1}{c} \frac{\partial}{\partial t} \Psi = (\beta \vec{\alpha} \vec{p} + \beta^2 mc) \Psi \mid \beta^2 = 1 \Rightarrow i\hbar \beta \frac{1}{c} \frac{\partial}{\partial t} \Psi = (\beta \vec{\alpha} \vec{p} + mc) \Psi \Leftrightarrow i\hbar \partial^\mu \partial_\mu \Psi - mc \Psi = 0$  |
| Freies Teilchen ohne Impuls         | $i\hbar \beta \frac{1}{c} \frac{\partial}{\partial t} \Psi = mc \mathbb{1} \Psi \Rightarrow i\hbar \beta \frac{\partial}{\partial t} \Psi = mc^2 \mathbb{1} \Psi \Rightarrow i\hbar \begin{pmatrix} 1_2 & 0_2 \\ 0_2 & -1_2 \end{pmatrix} \begin{pmatrix} \dot{\eta} \\ \dot{\chi} \end{pmatrix} = mc^2 \begin{pmatrix} \eta \\ \chi \end{pmatrix} \Rightarrow i\hbar \dot{\eta} = mc^2 \eta$<br>$i\hbar \dot{\chi} = -mc^2 \chi$   |
| Fermi-See                           | Immer noch Lösungen mit negativen Energien! Dirac's Lösung: Der makroskopische Vakuumzustand ist dadurch gekennzeichnet, dass alle Zustände mit negativer Energie bereits besetzt sind. Die mit positiver Energie sind unbesetzt. Da für Fermionen das Pauli-Prinzip gilt, ist es nicht möglich, einen Zustand mit negativer Energie neu zu besetzen. Bringt man aber eine Energie $E > 2mc^2$ auf, kann ein Teilchen aus dem negativen in den positiven Energiebereich angeregt werden. Das Teilchen im positiven Bereich ist Materie; das „Loch“ im negativen Bereich Antimaterie.  |

# Quantentheorie I

5.12.2023

## Photonen und Wärmestrahlung

|  |   |  |  |  |
|--|---|--|--|--|
| Planksches Wirkungsquantum                   | $h = 6,626 \cdot 10^{-34} \text{ Js}$   | Reduz. Wirkungsquantum: $\hbar = \frac{h}{2\pi}$   | Energie: $E_{\text{photon}} = hf = \hbar\omega = pc$                       | Impuls: $p = \frac{E}{c} = \frac{hf}{c} = \frac{\hbar\omega}{c} = \hbar k = \frac{h}{2\pi} \frac{2\pi}{\lambda} = \frac{h}{\lambda}$ |
|  | $[h] = [\text{Wirkung}] = [\text{Energie} \cdot \text{Zeit}] = [\text{Impuls} \cdot \text{Lange}] = [\int L dt]; \dots$ Lagrange-Funktion  |  |  |  |
| Spektrale Energiedichte                      | $\epsilon(\omega) = \frac{dE}{dV d\omega} = \langle E \rangle n(\omega)$  | Modendichte: $n(\omega) = \frac{1}{V} \frac{dN(\omega)}{d\omega} = \frac{\omega^2}{\pi^2 c^3}$ ; $n(f) = \frac{8\pi f}{c^3} \dots$ Dichte alle Moden $\leq \omega$ bzw. $\leq f$ |  |  |
| Rayleigh-Jeans (nur fur kleine Frequenzen): | Boltzmannverteilung Wahrsch.dichte: $p(E; \beta) = \frac{e^{-\beta E}}{\int_{-\infty}^{\infty} e^{-\beta E'} dE'}$ ; $\beta = \frac{1}{k_B T}$  | Erwartungswert Energie   | $\langle E \rangle = \int_0^{\infty} E p(E; \beta) dE = k_B T \Rightarrow$ |  |
|  | $\epsilon_{RJ}(\omega) = \langle E \rangle n(\omega) = k_B T \frac{\omega^2}{\pi^2 c^3}$  | $\epsilon_{RJ}(f) = k_B T n(f) = k_B T \frac{8\pi f}{c^3}$   |  |  |
| Wiensches Gesetz f. groe $\omega$           | $\epsilon_w(\omega) = A \omega^3 e^{-\rho \omega}$  | Aus $\epsilon_{pl}(\omega \rightarrow \infty)$ : $A = \frac{\hbar \omega^3}{\pi^2 c^3}$ ; $\rho = \frac{\hbar}{k_B T}$   | Wiensches versch.ges.  | $\frac{\omega_{max}}{k_B T} = const$ ; $\lambda_{max}(T) = \frac{C_w}{T}$ ; $C_w = 2,898 \text{ mm} \cdot K$                         |
| Planck'sches Strahlungsges.                  | Bose-Einstein Wahrsch. pro diskreter Energie  | $P_n(E_n; \beta) = \frac{e^{-\beta E_n}}{\sum_{n=0}^{\infty} e^{-\beta E_n}}$ ; $\beta = \frac{1}{k_B T}$ ; $E_n = \hbar \omega n$   | Erwartungswert Energie   | $\langle E \rangle = \sum_{n=0}^{\infty} E_n P_n = \frac{\hbar \omega}{e^{\hbar \omega / (k_B T)} - 1} \Rightarrow$                  |
|  | $\epsilon_{pl}(\omega) = \langle E \rangle n(\omega) = \frac{\hbar \omega^3}{\pi^2 c^3} \frac{1}{e^{\hbar \omega / (k_B T)} - 1}$   |  |  |  |
| Verschankung                                | $ \Psi\rangle = \alpha_1  11\rangle + \alpha_2  10\rangle + \alpha_3  01\rangle + \alpha_4  00\rangle = \alpha_1 \begin{pmatrix} 1 & 0 \\ 0 & 0 \end{pmatrix} + \alpha_2 \begin{pmatrix} 0 & 1 \\ 0 & 0 \end{pmatrix} + \alpha_3 \begin{pmatrix} 0 & 0 \\ 1 & 0 \end{pmatrix} + \alpha_4 \begin{pmatrix} 0 & 0 \\ 0 & 1 \end{pmatrix} = \begin{pmatrix} \alpha_1 & \alpha_2 \\ \alpha_3 & \alpha_4 \end{pmatrix}$<br>Wenn $\det \begin{pmatrix} \alpha_1 & \alpha_2 \\ \alpha_3 & \alpha_4 \end{pmatrix} = \alpha_1 \alpha_4 - \alpha_2 \alpha_3 \neq 0 \Rightarrow$ vollst. bestimmt; <b>verschankt</b> . Wenn $\alpha_1 \alpha_4 - \alpha_2 \alpha_3 = 0 \Rightarrow$ <b>nicht</b> verschankt |  |  |  |

## Materiewellen

|                       |  |                        |                |   |   |
|-----------------------|--|------------------------|----------------|---|---|
| De-Broglie, klassisch | $\lambda = \frac{h}{p} = \frac{h}{mv} = \frac{h}{\sqrt{2mE_{kin}}} = \frac{h}{\sqrt{2m \frac{1}{2} m v^2}} = \frac{h}{m v}$                      | $p = \hbar k$          | relativistisch | $\hbar \omega = E = mc^2 = \gamma m_0 c^2$            | $\lambda = \frac{h}{p}$ ; $v = c \sqrt{1 - \left(\frac{E_0}{E_0 + E_{kin}}\right)^2}$ |
|                       | $v_{ph} = \frac{\omega}{k} = \frac{E_k}{\hbar k} = \frac{p^2}{2m \hbar k} = \frac{\hbar k}{2m}$ ; $v_G = \frac{d\omega}{dk} = \frac{\hbar k}{m}$ | $E_k = \frac{p^2}{2m}$ |                | $\hbar k = \frac{h}{\lambda} = p = mv = \gamma m_0 v$ | $p = \frac{1}{c} \sqrt{2E_0 E_{kin} + E_{kin}^2}$                                     |

## Schrodingergleichung

|                      |   |   |
|----------------------|---|---|
| Allgemein (1D):      | $\hat{E} \Psi(x, t) = \hat{H} \Psi(x, t) \mid \hat{E} = i\hbar \frac{\partial}{\partial t}$ , weil: $i\hbar \frac{\partial}{\partial t} A e^{i(kx - \omega t)} = \hbar \omega \Psi = E \Psi$  |   |
|                      | $i\hbar \frac{\partial}{\partial t} \Psi(x, t) = \hat{H} \Psi(x, t) \mid \hat{H} = \hat{E}_{kin} = -\frac{\hbar^2}{2m} \frac{\partial^2}{\partial x^2}$ , weil: $-\frac{\hbar^2}{2m} \frac{\partial^2}{\partial x^2} A e^{i(kx - \omega t)} = \frac{\hbar^2 k^2}{2m} \Psi = \frac{p^2}{2m} \Psi = \frac{m v^2}{2m} \Psi = \frac{m v^2}{2} \Psi = E_{kin} \Psi \Rightarrow$  |   |
| Freies Teilchen      | $i\hbar \frac{\partial}{\partial t} \Psi(x, t) = -\frac{\hbar^2}{2m} \frac{\partial^2}{\partial x^2} \Psi(x, t)$  | mit Potential: $\hat{H} = \hat{E}_{kin} + \hat{E}_{pot} = -\frac{\hbar^2}{2m} \frac{\partial^2}{\partial x^2} + V(x) \Rightarrow$ |
| Teilch. im Pot.      | $i\hbar \frac{\partial}{\partial t} \Psi(x, t) = \left(-\frac{\hbar^2}{2m} \frac{\partial^2}{\partial x^2} + V(x)\right) \Psi(x, t)$  | im konservativen System: $E = const. \Rightarrow \Psi(x, t) = \phi(x) e^{-i\omega t} \Rightarrow$                                 |
| stationar           | $E \phi(x) = \left(-\frac{\hbar^2}{2m} \frac{\partial^2}{\partial x^2} + V(x)\right) \phi(x)$   | $\Psi(x, t) = \phi(x) e^{-i\omega t}$   |
| 3D-Gleichung         | $i\hbar \frac{\partial}{\partial t} \Psi(\vec{r}, t) = \left[-\frac{\hbar^2}{2m} \left(\frac{\partial^2}{\partial x^2} + \frac{\partial^2}{\partial y^2} + \frac{\partial^2}{\partial z^2}\right) + V(\vec{r})\right] \Psi(\vec{r}, t) = \left[-\frac{\hbar^2}{2m} \Delta + V(\vec{r})\right] \Psi(\vec{r}, t)$   |   |
| N Teilchen           | $i\hbar \frac{\partial}{\partial t} \Psi(\vec{r}_1, \vec{r}_2, \dots, \vec{r}_n, t) = \left[ \sum_{i=1}^N \left( -\frac{\hbar^2}{2m_i} \Delta + V_i(\vec{r}_i) \right) + \frac{1}{2} \sum_{i,j=1}^N V_{ij}(\vec{r}_i - \vec{r}_j) \right] \Psi(\vec{r}, t)$   |   |
| Anschlussbedingungen | Potentialstufe bei $x_0$ : (1) $\phi(x_0^-) = \phi(x_0^+)$ ; (2) $\phi'(x_0^-) = \phi'(x_0^+)$<br>Delta-Potential $V_0 \delta(x - x_0)$ : (1) $\phi(x_0^-) = \phi(x_0^+) = \phi(x_0)$ ; (wenn $V_0 < 0$ : „attraktives Delta-Potential“)<br>(2) $\lim_{\epsilon \rightarrow 0} \int_{x_0-\epsilon}^{x_0+\epsilon} E \phi(x) dx = \lim_{\epsilon \rightarrow 0} \int_{x_0-\epsilon}^{x_0+\epsilon} \left(-\frac{\hbar^2}{2m} \frac{\partial^2}{\partial x^2} + V_0 \delta(x - x_0)\right) \phi(x) dx \Rightarrow \phi'(x_0^+) - \phi'(x_0^-) = \frac{2m}{\hbar^2} V_0 \phi(x_0)$   |   |
| Eigenschaften        | <ul style="list-style-type: none"> <li>• SG ist partielle DGL</li> <li>• SG ist linear in <math>\Psi</math>, d.h. <math>\Psi</math> kommt nur in erster Potenz vor <math>\Rightarrow</math> Superpositionsprinzip anwendbar. Beliebige Linearkombinationen von Losungen der SG sind wieder Losungen der SG.</li> <li>• SG ist eine homogene DGL, d.h. es ist kein Term vorhanden, der nicht mit <math>\Psi</math> behaftet ware</li> <li>• Keine Aussage uber die Amplitude. Normierung notwendig.</li> <li>• allg. SG ist parabolische partielle DGL, d.h. <math>B^2 - 4AC = 0</math> fur DGL <math>A\Psi_{xx} + B\Psi_{xt} + C\Psi_{tt} + D\Psi_x + E\Psi_t + F\Psi = 0</math></li> <li>• stationare SG ist elliptische partielle DGL, dh. <math>B^2 - 4AC &lt; 0</math></li> </ul> |   |

## Gausches Wellenpaket

|               |   |
|---------------|---|
| Ansatz        | $\Psi(x, t) = A \frac{1}{\sqrt{2\pi}} \int_{-\infty}^{\infty} e^{i(kx - \omega t)} e^{-(k-k_0)^2 d^2} dk \mid \omega = \frac{E}{\hbar} = \frac{p^2}{2m\hbar} = \frac{\hbar^2 k^2}{2m\hbar} = \frac{\hbar k^2}{2m} \Rightarrow \Psi(x, t) = A \frac{1}{\sqrt{2\pi}} \int_{-\infty}^{\infty} e^{i\left(kx - \frac{\hbar k^2}{2m} t\right)} e^{-(k-k_0)^2 d^2} dk$                       |
| Losung       | $\Psi(x, t) = \frac{A}{\sqrt{\frac{\hbar}{m} t + 2d^2}} e^{-k_0^2 d^2 + \frac{(x^2 + k_0^2 d^2)^2}{i \frac{\hbar}{2m} t + d^2}}$ ; $ \Psi(x, t) ^2 = \frac{A^2}{\sqrt{2\pi d^2 (1 + \Delta^2)}} e^{-\frac{(x - v_0 t)^2}{2d^2 (1 + \Delta^2)}}$ ; $v_0 = \frac{\hbar k_0}{m}$ ; $\Delta = \frac{\hbar t}{2md^2}$  |
| Eigenschaften | $\langle x \rangle_t = \langle \phi   x   \phi \rangle = v_0 t$ ; $\langle p \rangle_t = \langle \phi   p   \phi \rangle = \hbar k_0 = p_0 = m v_0 = const.$ ;<br>$v_g = \frac{d\omega}{dk} = \frac{d}{dk} \frac{\hbar k^2}{2m} = \frac{\hbar k}{m} = v_g(k)$ ; $v_{ph} = \frac{\omega}{k} = \frac{1}{k} \frac{\hbar k^2}{2m} = \frac{\hbar k}{2m} = \frac{v_{ph}(k)}{2} < v_{ph}(k)$ |

## Korrespondenz-Identitäten (Operatoren), Erwartungswerte und Eigenfunktionen

|                            |  |  |   |
|----------------------------|--|--|---|
|                            | Sei A irgendeine mit Quantenunschärfe behaftete quantenphysikalische Messgröße („Observable“), z.B. Ort oder Impuls.   |  |   |
| Erwartungswert             | $\langle A \rangle = \frac{1}{n} \sum_{i=1}^n A_i$ (Der Erwartungswert $\langle A \rangle$ ist der zu erwartende Mittelwert bei wiederholter Messung.)   |  |   |
| Operatoren $\hat{A}$       | $\langle A \rangle = \langle \Psi   \hat{A}   \Psi \rangle = \int_{\text{Bereich}} \Psi^* \hat{A} \Psi \, d\tau$ ( $\hat{A}$ ... Operator von A)   |  |   |
| Korrespondenz-             | Observable   | Operator 1-dimensional   | Operator 3-dimensional  |
|                            | Ortsvektor $\vec{r}$ bzw. Koordinate x   | $\hat{x} = x$  | $\hat{\vec{r}} = \vec{r}$   |
|                            | Potentielle Energie $E_{pot}$  | $\hat{E}_{pot} = E_{pot}(x) = \hat{V}(x)$  | $\hat{E}_{pot} = E_{pot}(\vec{r}) = \hat{V}(\vec{r})$   |
|                            | kinetische Energie $E_{kin}$   | $\hat{E}_{kin} = -\frac{\hbar^2}{2m} \frac{\partial^2}{\partial x^2}$  | $\hat{E}_{kin} = -\frac{\hbar^2}{2m} \Delta$  |
|                            | Gesamtenergie $E = E_{kin} + E_{pot}$  | $\hat{H} = \hat{V} - \frac{\hbar^2}{2m} \frac{\partial^2}{\partial x^2}$ (Hamilton-Operator 1D)  | $\hat{H} = \hat{V} - \frac{\hbar^2}{2m} \Delta$ (Hamilton-Operator 3D)  |
|                            | Impuls p bzw. $\vec{p}$  | $\hat{p} = -i\hbar \frac{\partial}{\partial x} = \frac{\hbar}{i} \frac{\partial}{\partial x}$  | $\hat{\vec{p}} = -i\hbar \vec{\nabla} = \frac{\hbar}{i} \vec{\nabla}$   |
|                            | Drehimpuls $\vec{L}$   | z-Komponente von $\vec{L}$ : $\hat{L}_z = -i\hbar \frac{\partial}{\partial \varphi}$   | $\hat{\vec{L}} = -i\hbar(\hat{\vec{r}} \times \vec{\nabla}) = -i\hbar(\hat{e}_\varphi \frac{\partial}{\partial \varphi} - \hat{e}_\theta \frac{1}{\sin(\theta)} \frac{\partial}{\partial \varphi})$ |
|                            | Drehimpulsquadrat $\vec{L}^2$  | $\hat{L}^2 = \hat{L}_x^2 + \hat{L}_y^2 + \hat{L}_z^2 = -\hbar^2 \left[ \frac{1}{\sin(\vartheta)} \frac{\partial}{\partial \vartheta} \left( \sin(\vartheta) \frac{\partial}{\partial \vartheta} \right) + \frac{1}{\sin^2(\vartheta)} \frac{\partial^2}{\partial \varphi^2} \right]$ |   |
| Mittlere quadr. Schwankung | $\langle A^2 \rangle = \frac{1}{n} \sum_{i=1}^n (A_i - \langle A \rangle)^2 = \hat{A}^2 \Psi = \int \Psi^* \hat{A}^2 \Psi \, d\tau$  | Unschärfe:   | $\Delta A = \sqrt{\langle A^2 \rangle - \langle A \rangle^2}$   |
| Wahrscheinlichkeitsdichte: | $dP(x, t) = \rho(x, t) =  \Psi(x, t) ^2 = \Psi(x, t) \Psi^*(x, t)$   | Wahrsch. dass Teilchen in (a,b):   | $P(x, t) = \langle \Psi^*   \Psi \rangle; \int_a^b  \Psi ^2 \, dx; \int_{-\infty}^{+\infty}  \Psi ^2 \, dx = 1$   |
| Eigenfunktion, Eigenwert   | Wenn gilt: $\hat{A}\Psi = A\Psi \Leftrightarrow \int \Psi^* \hat{A} \Psi \, d\tau = A \int \Psi^* \Psi \, d\tau$ , dann ist $\hat{A}$ eine Eigenfunktion und A ein Eigenwert.<br>Es gilt: $\langle A \rangle = A; \langle A^2 \rangle - \langle A \rangle^2 = 0$ ; d.h. die mittlere quadr. Schwankung von A=0, man misst immer denselben Wert von A.<br>Haben Operatoren $\hat{A}$ und $\hat{B}$ zu den Größen A und B dieselbe Eigenfunktion $\phi$ , dann lassen sich die Größen A und B am Teilchen mit der Wellenfunktion $\Psi$ gleichzeitig scharf messen. Die Operatoren sind vertauschbar. Es gilt: $\hat{A}\hat{B}\Psi = \hat{B}\hat{A}\Psi$ . |  |   |

## Fourier-Transformationen

|  |   |            |  |
|--|---|------------|--|
| Hier: Konvention Faktor $\frac{1}{\sqrt{2\pi}}$ bei Hin- und Rücktrafo. Etwas schlüssiger bei $\delta$ -Funktion wäre Faktor 1 bei Hin- und $\frac{1}{2\pi}$ bei Rücktransformation. |   |            |  |
| k-Raum, stationär, 1D  | $\tilde{\phi}(k) = \frac{1}{\sqrt{2\pi}} \int_{-\infty}^{\infty} \phi(x) e^{-ikx} \, dx$  | Rücktrafo: | $\phi(x) = \frac{1}{\sqrt{2\pi}} \int_{-\infty}^{\infty} \tilde{\phi}(k) e^{+ikx} \, dk$   |
| k <sup>3</sup> -Raum, stationär, 3D  | $\tilde{\phi}(\vec{k}) = \frac{1}{\sqrt{2\pi^3}} \iiint_{\mathbb{R}^3} \phi(\vec{r}) e^{-i\vec{k}\cdot\vec{r}} \, d\vec{r}$   | Rücktrafo: | $\phi(\vec{r}) = \frac{1}{\sqrt{2\pi^3}} \iiint_{\mathbb{R}^3} \tilde{\phi}(\vec{k}) e^{+i\vec{k}\cdot\vec{r}} \, d\vec{k}$  |
| k, $\omega$ -Raum, zeitabh., 1D  | $\tilde{\Psi}(k, \omega) = \frac{1}{\sqrt{2\pi}} \int_{-\infty}^{\infty} \int_{-\infty}^{\infty} \Psi(x, t) e^{-i(kx - \omega t)} \, dx \, dt$                                    | Rücktrafo: | $\Psi(x, t) = \frac{1}{\sqrt{2\pi}} \int_{-\infty}^{\infty} \int_{-\infty}^{\infty} \tilde{\Psi}(k, \omega) e^{+i(kx - \omega t)} \, dk \, d\omega$                                    |
| k <sup>3</sup> , $\omega$ -Raum, zeitabh., 3D  | $\tilde{\Psi}(\vec{k}, \omega) = \frac{1}{\sqrt{2\pi^4}} \int_{-\infty}^{\infty} \iiint_{\mathbb{R}^3} \Psi(\vec{r}, t) e^{-i(\vec{k}\cdot\vec{r} - \omega t)} \, d\vec{r} \, dt$ | Rücktrafo: | $\Psi(\vec{r}, t) = \frac{1}{\sqrt{2\pi^4}} \int_{-\infty}^{\infty} \iiint_{\mathbb{R}^3} \tilde{\Psi}(\vec{k}, \omega) e^{+i(\vec{k}\cdot\vec{r} - \omega t)} \, d\vec{k} \, d\omega$ |
| p-Raum, stationär, 1D  | $\tilde{\phi}(p) = \frac{1}{\sqrt{2\pi\hbar}} \int_{-\infty}^{\infty} \phi(x) e^{-i\frac{p}{\hbar}x} \, dx$   | Rücktrafo: | $\phi(x) = \frac{1}{\sqrt{2\pi\hbar}} \int_{-\infty}^{\infty} \tilde{\phi}(p) e^{+i\frac{p}{\hbar}x} \, dp$  |
| $\delta$ -Funktion 1D  | $\frac{1}{\sqrt{2\pi}} = \frac{1}{\sqrt{2\pi}} \int_{-\infty}^{\infty} \delta(x - x_0) e^{-ik(x-x_0)} \, dx$  | Rücktrafo: | $\delta(x - x_0) = \frac{1}{\sqrt{2\pi}} \int_{-\infty}^{\infty} \frac{1}{\sqrt{2\pi}} e^{+ik(x-x_0)} \, dk$   |
| schlüssiger mit $1/\frac{1}{2\pi}$ -Konvent.   | $1 = \int_{-\infty}^{\infty} \delta(x - x_0) e^{-ik(x-x_0)} \, dx$  | Rücktrafo: | $\delta(x - x_0) = \frac{1}{2\pi} \int_{-\infty}^{\infty} 1 \cdot e^{+ik(x-x_0)} \, dk$  |

## Transfer- und Streumatrix; Wahrscheinlichkeitsstromdichte

|  |  |  |  |
|--|--|--|--|
| Geg.: Potentialstufe; links Bereich I, rechts Bereich II. Wellenfkt. zweigeteilt: $\phi_I(x) = A e^{i\lambda_1 k_1 x} + B e^{-i\lambda_1 k_1 x}$ ; $\phi_{II}(x) = C e^{i\lambda_2 k_2 x} + D e^{-i\lambda_2 k_2 x}$ |  |  |  |
| flussnorm.   | $\phi_I(x) = \tilde{A} \sqrt{\frac{1}{k_1}} e^{i\lambda_1 k_1 x} + \tilde{B} \sqrt{\frac{1}{k_1}} e^{-i\lambda_1 k_1 x}$ ; $\phi_{II}(x) = \tilde{C} \sqrt{\frac{1}{k_2}} e^{i\lambda_2 k_2 x} + \tilde{D} \sqrt{\frac{1}{k_2}} e^{-i\lambda_2 k_2 x} \Rightarrow A = \tilde{A} \sqrt{\frac{1}{k_1}}; B = \tilde{B} \sqrt{\frac{1}{k_1}}; C = \tilde{C} \sqrt{\frac{1}{k_2}}; D = \tilde{D} \sqrt{\frac{1}{k_2}}$  |  |  |
| Transfermatrix:  | $\begin{pmatrix} A \\ B \end{pmatrix} = \underline{M} \begin{pmatrix} C \\ D \end{pmatrix} = \begin{pmatrix} M_{11} & M_{12} \\ M_{21} & M_{22} \end{pmatrix} \begin{pmatrix} C \\ D \end{pmatrix} \Rightarrow \begin{matrix} A = M_{11}C + M_{12}D \\ B = M_{21}C + M_{22}D \end{matrix} \Rightarrow \text{löse} \begin{matrix} A = A(C, D) = CM_{11} + DM_{12} \\ B = B(C, D) = CM_{21} + DM_{22} \end{matrix}$  |  |  |
| Streumatrix (unitär):  | $\begin{pmatrix} B \\ C \end{pmatrix} = \underline{S} \begin{pmatrix} A \\ D \end{pmatrix} = \begin{pmatrix} S_{11} & S_{12} \\ S_{21} & S_{22} \end{pmatrix} \begin{pmatrix} A \\ D \end{pmatrix} \Rightarrow \begin{matrix} B = S_{11}A + S_{12}D \\ C = S_{21}A + S_{22}D \end{matrix} \Rightarrow \underline{S} = \begin{pmatrix} M_{21} & M_{22} - \frac{M_{12}M_{21}}{M_{11}} \\ \frac{1}{M_{11}} & -\frac{M_{12}}{M_{11}} \end{pmatrix}; \underline{S} = \begin{pmatrix} S_{11} & S_{12} \sqrt{\frac{k_1}{k_2}} \\ S_{21} \sqrt{\frac{k_2}{k_1}} & S_{22} \end{pmatrix} = \begin{pmatrix} \sqrt{R} & \sqrt{T'} \\ \sqrt{T} & \sqrt{R'} \end{pmatrix}$ |  |  |
| Wahrscheinlichkeitsstromdichte   | $j[\Psi] = \text{Re} \left( \Psi^* \frac{1}{m} \hat{p} \Psi \right) = \text{Re} \left( \Psi^* \frac{1}{m} \hbar \frac{\partial}{\partial x} \Psi \right)$ ; $j_{in} = j[A e^{i\lambda_1 k_1 x}]$ ; $j_{refl} = j[B e^{-i\lambda_1 k_1 x}]$ ; $j_{out} = j[C e^{i\lambda_2 k_2 x}]$<br>$j_I = j[A e^{i\lambda_1 k_1 x} + B e^{-i\lambda_1 k_1 x}] = \frac{\hbar k_1}{m} ( A ^2 -  B ^2)$ ; $j_{II} = j[C e^{i\lambda_2 k_2 x} + D e^{-i\lambda_2 k_2 x}] = \frac{\hbar k_2}{m} ( C ^2 -  D ^2)$<br>Kontinuitätsbedingung $\frac{\partial \rho}{\partial t} = -\frac{\partial j}{\partial x} \Rightarrow j = \rho v$   |  |  |
| T, R   | $T_{II} = \frac{ j_{out} }{ j_{in} } = \frac{ C ^2}{ A ^2} = \frac{ C ^2 k_2}{ A ^2 k_1} = \frac{1}{ M_{11} ^2} \frac{k_2}{k_1} =  S_{21} ^2 \frac{k_2}{k_1}$<br>$R_{II} = \frac{ j_{refl} }{ j_{in} } = \frac{ B ^2}{ A ^2} =  S_{11} ^2 = \left  \frac{M_{21}}{M_{11}} \right ^2$<br>$k_1 ( A ^2 -  B ^2) = k_2 ( C ^2 -  D ^2)$   |  |  |
| Verschiebg. Stufe/ $\delta$ um L   | Sei $\underline{M}_0$ die Transfermatrix bei $x = 0$ , dann ist $\underline{M}_L = \underline{M}_{-L}^k \underline{M}_0 \underline{M}_L^k$ ; mit $\underline{M}_L^k = \begin{pmatrix} e^{i\lambda k L} & 0 \\ 0 & e^{-i\lambda k L} \end{pmatrix}$   |  |  |

## BraKet-Notation

|   |  |   |  |  |
|---|--|---|--|--|
| Bra-Vektor:   | $\langle \psi   \in \mathcal{H}^*$   | Ket-Vektor: $ \psi\rangle \in \mathcal{H}$  | → darstellungsfrei, d.h. keiner Basis zugeordnet!  | $\langle \psi   =  \psi\rangle^\dagger;  \psi\rangle = \langle \psi  ^\dagger$ |
| Eigenschaften von Vektoren in $\mathcal{H}$   | $\mathcal{H}$ ist ein $\infty$ -dimensionaler Hilbertraum isomorph zu $\mathbb{C}^\infty$ ( $\infty$ -dimensional: es gibt unendlich viele LU Zustandsvektoren)<br>Für $ \psi_1\rangle,  \psi_2\rangle \in \mathcal{H}$ gilt:<br><b>V1:</b> $ \psi_1\rangle + ( \psi_2\rangle +  \psi_3\rangle) = ( \psi_1\rangle +  \psi_2\rangle) +  \psi_3\rangle$ (Assoziativgesetz)<br><b>V2:</b> $\exists 0 \in V:  \psi\rangle + 0 = 0 +  \psi\rangle \forall  \psi\rangle \in \mathcal{H}$ (neutrales Element 0)<br><b>V3:</b> $ \psi\rangle + (- \psi\rangle) = 0$ (inverses Element)<br><b>V4:</b> $ \psi_1\rangle +  \psi_2\rangle =  \psi_2\rangle +  \psi_1\rangle$ (Kommutativgesetz)<br>Für $ \psi_1\rangle,  \psi_2\rangle,  \psi_3\rangle \in \mathcal{H}$ und $\alpha, \beta \in \mathbb{C}$ gilt:<br><b>S1:</b> $\alpha( \psi_1\rangle +  \psi_2\rangle) = \alpha \psi_1\rangle + \alpha \psi_2\rangle$<br><b>S2:</b> $(\alpha + \beta) \psi_1\rangle = \alpha \psi_1\rangle + \beta \psi_1\rangle$<br><b>S3:</b> $\alpha(\beta \psi_1\rangle) = (\alpha\beta) \psi_1\rangle$<br><b>S4:</b> $1 \cdot  \psi_1\rangle =  \psi_1\rangle$ (neutrales Element 1) |   |  |  |
| Skalarprodukt → komplexe Zahl   | Sesquilinear:<br>$\langle \psi_1   \alpha\psi_2 + \beta\psi_3 \rangle = \alpha\langle \psi_1   \psi_2 \rangle + \beta\langle \psi_1   \psi_3 \rangle$ (Linearität im ersten Argument des Skalarprodukts)<br>$\langle \alpha\psi_1 + \beta\psi_2   \psi_3 \rangle = \alpha^*\langle \psi_1   \psi_3 \rangle + \beta^*\langle \psi_2   \psi_3 \rangle$ (Semilinearität im zweiten Argument des Skalarprodukts)<br>$\langle \psi_1   \psi_2 \rangle = \langle \psi_2   \psi_1 \rangle^*$<br>$\langle \psi_1   \psi_1 \rangle \geq 0 \forall  \psi_1\rangle \in \mathcal{H}$<br>$\langle \psi_1   \psi_1 \rangle = 0 \Leftrightarrow  \psi_1\rangle = 0$<br>Schwarz'sche Ungleichung:<br>$ \langle \psi_1   \psi_2 \rangle ^2 \leq \langle \psi_1   \psi_1 \rangle \cdot \langle \psi_2   \psi_2 \rangle$<br>Norm:<br>$\  \psi_1 \  = \sqrt{\langle \psi_1   \psi_1 \rangle}$  |   |  |  |
| Regeln  | $\alpha  \psi_1\rangle + \beta  \psi_2\rangle \hat{=} \alpha^* \langle \psi_1   + \beta^* \langle \psi_2  $  | $\alpha  \psi\rangle =  \alpha\psi\rangle \hat{=} \langle \psi   \alpha^* = \langle \alpha\psi  $   |  |  |
| Operatoren  | Entstehen aus äußerem (Tensor)produkt: $\hat{A} =  \varphi\rangle\langle\psi  = ( \psi\rangle\langle\varphi )^\dagger$ $\hat{A} \psi\rangle =  \hat{A}\psi\rangle \rightarrow \langle \hat{A}\psi   = \langle \psi   \hat{A}^\dagger$<br>$(\hat{A}\hat{B})^\dagger = \hat{B}^\dagger \hat{A}^\dagger \rightarrow \hat{A}\hat{B} \psi\rangle = \langle \psi   (\hat{A}\hat{B})^\dagger = \langle \psi   \hat{B}^\dagger \hat{A}^\dagger$ $(\alpha\hat{A})^\dagger = \alpha^* \hat{A}^\dagger$ $\langle \varphi   \hat{A}   \psi \rangle = \langle \hat{A}^\dagger \varphi   \psi \rangle = \langle \varphi   \hat{A} \psi \rangle$<br>$\langle \varphi   \hat{A}   \psi \rangle^* = \langle \psi   \hat{A}^\dagger   \varphi \rangle$ Projektionsoperator: $\hat{P}_{\{u\}} =  u\rangle\langle u  \rightarrow \hat{P}_{\{u\}} \psi\rangle =  u\rangle\langle u \psi\rangle = \alpha \psi\rangle$ , analog zu $P_{\vec{e}_x} \vec{a} = \vec{e}_x(\vec{e}_x \cdot \vec{a})$   |   |  |  |
| Spektraldarst.  | $\hat{A} = \sum_i A_i  a_i\rangle\langle a_i $ (mit $A_i \dots$ EW, $ a_i\rangle \dots$ EV)  | Vollst. der Basisprojektoren: $\sum_i  a_i\rangle\langle a_i  = \mathbb{1}$   |  |  |
| Hermiteische Operatoren   | $\hat{A}^\dagger = \hat{A} \Leftrightarrow A_{nm}^* = A_{mn} \Rightarrow$ EW $\lambda \in \mathbb{R}$ $\langle \psi_1   (\hat{A} \psi_2\rangle) \rangle = \langle (\psi_1   \hat{A}   \psi_2) \rangle = \langle \psi_1   \hat{A}   \psi_2 \rangle$ (Klammern unnötig)<br>Messwerte $\Leftrightarrow$ EW von $\hat{A}$ : $\hat{A} \psi\rangle = \lambda \psi\rangle \Rightarrow \langle \psi   \hat{A}   \psi \rangle = \lambda\langle \psi   \psi \rangle \Rightarrow \lambda = \frac{\langle \psi   \hat{A}   \psi \rangle}{\langle \psi   \psi \rangle}$ wenn: $\langle \psi   \psi \rangle = 1 \Rightarrow \lambda = \langle \psi   \hat{A}   \psi \rangle$<br>$\hat{A} \psi\rangle = \lambda_2 \psi_2\rangle \Rightarrow \langle \psi_1   \hat{A}   \psi_2 \rangle = \langle \psi_1   \lambda_2 \psi_2 \rangle = \lambda_2 \langle \psi_1   \psi_2 \rangle$  |   |  |  |
| Kommutierende Operatoren  | Wenn $\hat{A}\hat{B} = \hat{A}\hat{B} \Rightarrow$ (1) $\hat{A}$ und $\hat{B}$ bilden einen vollst. Satz kommutierender Observablen, (2) besitzen gem. Eigenfkt. (EV), und (3) sind gleichzeitig scharf messbar ( $\Delta\hat{A}\Delta\hat{B} = 0$ )   |   |  |  |
| Projektion auf OGB (Vektor/Matrix Darstellung)  | Eigenbasis von $\hat{A}$<br>$A_i \dots$ Eigenwerte<br>$ a_i\rangle \dots$ Eigenvektoren (Basis)  | $\hat{A} a_i\rangle = A_i a_i\rangle \Rightarrow  \psi\rangle = \sum_i P_i^{(a)} \psi\rangle = \sum_i  a_i\rangle\langle a_i   \psi \rangle = \sum_i \overbrace{\langle a_i   \psi \rangle}^{\text{Basis Koeff.}} \overbrace{ a_i\rangle}^{\text{Basis}} \Rightarrow$<br>Ket: $ \psi\rangle^{(a)} = \begin{pmatrix} \langle a_1   \psi \rangle \\ \langle a_2   \psi \rangle \\ \dots \end{pmatrix}$ Bra: $\langle \psi  ^{(a)} = (\langle a_1   \psi \rangle^*, \langle a_2   \psi \rangle^*, \dots)$ Operator: $\hat{A}_{ij}^{(a)} = \langle a_i   \hat{A}   a_j \rangle$ |  |  |
| Basiswechsel von Basis $\{ a_1\rangle,  a_2\rangle, \dots\}$ zu Basis $\{ b_1\rangle,  b_2\rangle, \dots\}$ | $ b_i\rangle = \hat{U} a_i\rangle \cdot \langle a_i   \Rightarrow  b_i\rangle\langle a_i  = \hat{U} a_i\rangle\langle a_i  \Rightarrow \sum  b_i\rangle\langle a_i  = \hat{U} \sum  a_i\rangle\langle a_i  \Rightarrow \hat{U} = \sum_i  b_i\rangle\langle a_i  = \begin{pmatrix}   &   &   \\  b_1\rangle^{(a)} &  b_2\rangle^{(a)} & \dots \\   &   &   \end{pmatrix}$<br>Trafo Basisvektoren $ b_i\rangle = \hat{U} a_i\rangle$ Trafo Vektoren: $ \psi\rangle^{(b)} = \hat{U}^{-1} \psi\rangle^{(a)} = \hat{U}^\dagger \psi\rangle^{(a)}$ Trafo Operatoren: $\hat{A}^{(b)} = \hat{U}^\dagger \hat{A}^{(a)} \hat{U}$   |   |  |  |
| Wahrscheinlichkeit, Erwartungswert  | Operator $\hat{A}$ („Observable“) mit EW $A_1 \dots A_n$ (entspr. „Messwerten“) und EV $ a_1\rangle,  a_2\rangle, \dots,  a_n\rangle$ ;<br>$\hat{A}$ wirkt auf Zust. $ \psi\rangle$ („Messung“) $\Rightarrow \hat{A} \psi\rangle \Rightarrow$ dann ist die Wahrscheinlichkeit $W_i$ des Auftretens von EW (Messwert) $A_i$ :<br>$W_i = \langle \hat{P}_i \rangle = \langle \psi   \hat{P}_i   \psi \rangle = \langle \psi   a_i \rangle \langle a_i   \psi \rangle = \langle a_i   \psi \rangle^* \langle a_i   \psi \rangle =  \langle a_i   \psi \rangle ^2$ . Erwartungswert: $\langle \hat{A} \rangle = \langle \psi   \hat{A}   \psi \rangle = \sum_n W_i A_i$<br>Wahrscheinlichkeit $W_0$ , das System in Zustand $\psi_0$ zu finden: $W_0 = \langle \hat{P}_0 \rangle = \langle \psi   \hat{P}_0   \psi \rangle = \langle \psi   \psi_0 \rangle \langle \psi_0   \psi \rangle =  \langle \psi_0   \psi \rangle ^2$  |   |  |  |
| Erweiterter Hilbertr. mit Diracvektoren   | bisher: abzählbare Basis $\{\varphi_1(x), \varphi_2(x) \dots\}$ :  | $\langle \varphi_n   \varphi_m \rangle = \delta_{nm}$   |  |  |
|   | jetzt: kontinuierliche Basis $\varphi_k(x) \ k \in \mathbb{R}$ :   | $\langle \varphi_k   \varphi_{k'} \rangle = \delta(k' - k)$   |  |  |
| Projektion auf VONS $\varphi_k(x) \ k \in \mathbb{R}$   | bisher: abzählbare Basis $\{\varphi_1(x), \varphi_2(x) \dots\}$ :  | abstrakt $\overline{ \psi\rangle} = \sum_k \overline{\langle \varphi_i   \psi \rangle} \overline{\langle \varphi_i   \psi \rangle}$   | konkret $\overline{\psi(x)} = \sum_i \overline{\langle x   \varphi_i \rangle} \overline{\langle \varphi_i   \psi \rangle} = \sum_k \varphi_i(x) c_i$   | Basis $\varphi_i(x)$ Koeff $c(i)=c_i$  |
|   | jetzt: kontinuierliche Basis $\varphi_i(x), i \in \mathbb{R}$ :  | abstrakt $\overline{ \psi\rangle} = \int_{-\infty}^{\infty} \overline{\langle \varphi_i   \psi \rangle} \overline{\langle \varphi_i   \psi \rangle} di$   | konkret $\overline{\psi(x)} = \int_{-\infty}^{\infty} \overline{\langle x   \varphi_i \rangle} \overline{\langle \varphi_i   \psi \rangle} di = \int_{-\infty}^{\infty} \varphi_i(x) \psi(i) di$ | Basis $\varphi_i(x)$ Koeff $\psi(i)$   |
| z.B. Eigenfkt. d. Ortsoperators   | $\psi(x) =  \psi_x\rangle = \langle x   \psi \rangle = \langle x   \hat{x}   \psi \rangle = \int_{-\infty}^{\infty} \langle x   x' \rangle \langle x'   \psi \rangle dx' = \int_{-\infty}^{\infty} \delta(x-x') \langle x'   \psi \rangle dx' = \int_{-\infty}^{\infty} \delta(x-x') \psi(x') dx' = \psi(x)$<br>$\psi(x) =  \psi_x\rangle = \langle x   \psi \rangle = \langle x   \hat{p}   \psi \rangle = \int_{-\infty}^{\infty} \langle x   p \rangle \langle p   \psi \rangle dp = \int_{-\infty}^{\infty} \frac{1}{\sqrt{2\pi\hbar}} e^{ipx/\hbar} \langle p   \psi \rangle dp = \int_{-\infty}^{\infty} \frac{1}{\sqrt{2\pi\hbar}} e^{ipx/\hbar} \psi(p) dp = \psi(x)$  |   |  |  |
| Umformungen:  | $\langle x   x' \rangle = \delta(x - x')$ ; $\langle x   p \rangle = \varphi_p(x) = \frac{1}{\sqrt{2\pi\hbar}} e^{+ipx/\hbar}$ ; $\int_{-\infty}^{\infty} \frac{1}{2\pi\hbar} e^{ip(x-x')/\hbar} dp = \delta(x - x')$ ;<br>$\langle p   p' \rangle = \delta(p - p')$ ; $\langle p   x \rangle = \varphi_x(p) = \frac{1}{\sqrt{2\pi\hbar}} e^{-ipx/\hbar}$ ; $\int_{-\infty}^{\infty} \frac{1}{2\pi\hbar} e^{i(p-p')x/\hbar} dx = \delta(p - p')$ ;   |   |  |  |

## Zeitentwicklung

|           |   |
|-----------|---|
| Rezept 1: | (1) Geg.: Wellenfunktion $\Psi(t=0)$ , ausgedrückt in Basis $B$ , so dass $\Psi(0) = \sum_i \beta_i  b_i\rangle$ . (2) Berechne die Eigenenergiebasis, also Eigenwerte (Eigenenergien) $E_n$ und Eigenvektoren $ E_n\rangle$ des Hamiltonoperators $\hat{H}$ . (3) Transformiere $\Psi(0)$ in die Eigenenergiebasis (z.B. mit $ \psi\rangle^{(H)} = \hat{U}^\dagger  \psi\rangle^{(B)}$ ), so dass $\Psi(0) = \sum_i \gamma_i  E_i\rangle$ . (4) $\Psi(t) = \sum_n e^{-i\frac{E_n}{\hbar}t} \gamma_n  E_n\rangle$ |
| Rezept 2: | (1) Zeitentwicklungsoperator $\hat{U} = e^{-i\frac{\hat{H}}{\hbar}t}$ . (2) Berechne die Eigenenergiebasis, $E_n$ und $ E_n\rangle$ des Hamiltonoperators $\hat{H}$ . (3) Spektralzerlegung $\hat{U} = \sum_n  E_n\rangle \langle E_n  e^{-i\frac{E_n}{\hbar}t}$ (4) $\Psi(t) = \hat{U} \Psi(0)$  |

## Harmonischer Oszillator 1D

|                     |  |  |   |
|---------------------|--|--|---|
| Potential, Hamilton | $V = \frac{1}{2} m \omega^2 x^2 \Rightarrow \hat{H} = -\frac{\hbar^2}{2m} \frac{\partial^2}{\partial x^2} + \frac{1}{2} m \omega^2 x^2$  | Eigenzust.: $\langle x n\rangle = u_n(x) = \left(\frac{m\omega}{\pi\hbar}\right)^{\frac{1}{4}} \frac{1}{\sqrt{2^n n!}} e^{-\frac{1}{2}\frac{m\omega}{\hbar}x^2} H_n\left(\sqrt{\frac{m\omega}{\hbar}}x\right); E_n = \hbar\omega\left(n + \frac{1}{2}\right)$  |   |
| Reduz. Koord.:      | $x_0 = \sqrt{\frac{\hbar}{m\omega}}; p_0 = \sqrt{m\hbar\omega}; y = \frac{x}{x_0}; \varepsilon_n = \frac{E_n}{\hbar\omega}; V = \frac{1}{2} \hbar\omega y^2 \Rightarrow \hat{H}_y = -\frac{\partial^2}{\partial y^2} + \frac{1}{2} y^2; u_n(x) = \frac{1}{\sqrt{x_0 \sqrt{\pi 2^n n!}}} e^{-\frac{1}{2}y^2} H_n(y); \varepsilon_n = n + \frac{1}{2}$ |  |   |
| Aufsteiger          | $\hat{a}^\dagger = \frac{x}{\sqrt{2}} \sqrt{\frac{m\omega}{\hbar}} - \frac{x_0}{\sqrt{2}} \frac{\partial}{\partial x} = \frac{1}{\sqrt{2}} \frac{x}{x_0} - \frac{x_0}{\sqrt{2}} \frac{\partial}{\partial x} = \frac{1}{\sqrt{2}} y - \frac{1}{\sqrt{2}} \frac{\partial}{\partial y}$   | $\hat{a}^\dagger  u_n\rangle = \sqrt{n+1}  u_{n+1}\rangle$   | $\hat{a} \neq \hat{a}^\dagger \Rightarrow$ nicht hermitesch<br>$[\hat{a}, \hat{a}^\dagger] = 1 \Rightarrow \hat{a} \hat{a}^\dagger = 1 + \hat{a}^\dagger \hat{a} \Rightarrow$<br>$\langle \psi   \hat{a}^\dagger \hat{a}   \psi \rangle = \langle \hat{a} \psi   \hat{a} \psi \rangle$<br>$\langle \psi   \hat{a} \hat{a}^\dagger   \psi \rangle = \langle \psi   \psi \rangle + \langle \hat{a} \psi   \hat{a} \psi \rangle$ |
| Absteiger           | $\hat{a} = \frac{x}{\sqrt{2}} \sqrt{\frac{m\omega}{\hbar}} + \frac{x_0}{\sqrt{2}} \frac{\partial}{\partial x} = \frac{1}{\sqrt{2}} \frac{x}{x_0} + \frac{x_0}{\sqrt{2}} \frac{\partial}{\partial x} = \frac{1}{\sqrt{2}} y + \frac{1}{\sqrt{2}} \frac{\partial}{\partial y}$   | $\hat{a}  u_n\rangle = \sqrt{n}  u_{n-1}\rangle; \hat{a}  u_0\rangle = 0$  |   |
| Ortsoperator        | $\hat{x} = \frac{1}{\sqrt{2}} \sqrt{\frac{\hbar}{m\omega}} (\hat{a} + \hat{a}^\dagger) = \frac{x_0}{\sqrt{2}} (\hat{a} + \hat{a}^\dagger)$   | $\langle \hat{x} \rangle = \frac{x_0}{\sqrt{2}} \langle \psi   \hat{a} + \hat{a}^\dagger   \psi \rangle = \frac{x_0}{\sqrt{2}} (\langle \psi   \hat{a}   \psi \rangle + \langle \psi   \hat{a}^\dagger   \psi \rangle) = \frac{x_0}{\sqrt{2}} (\langle \psi   \hat{a} \psi \rangle + \langle \hat{a} \psi   \psi \rangle)$                   |   |
| Impulsoperator      | $\hat{p} = \frac{1}{\sqrt{2}} \frac{\hbar}{i} \sqrt{\frac{m\omega}{\hbar}} (\hat{a} - \hat{a}^\dagger) = \frac{\hbar}{i\sqrt{2}x_0} (\hat{a} - \hat{a}^\dagger)$   | $\langle \hat{p} \rangle = \frac{\hbar}{i\sqrt{2}x_0} \langle \psi   \hat{a} - \hat{a}^\dagger   \psi \rangle = \frac{\hbar}{i\sqrt{2}x_0} (\langle \psi   \hat{a}   \psi \rangle - \langle \psi   \hat{a}^\dagger   \psi \rangle) = \frac{\hbar}{i\sqrt{2}x_0} (\langle \psi   \hat{a} \psi \rangle - \langle \hat{a} \psi   \psi \rangle)$ |   |
| Besetzoperator      | $\hat{N} = \hat{a}^\dagger \hat{a}; \hat{N}  u_n\rangle = n  u_n\rangle$   | Hamiltonoperator $\hat{H} = \hbar\omega(\hat{a} \hat{a}^\dagger + \hat{a}^\dagger \hat{a}) = \hbar\omega\left(\hat{a}^\dagger \hat{a} + \frac{1}{2}\right) = \hbar\omega\left(\hat{N} + \frac{1}{2}\right)$  |   |
| Zeitentwicklung     | $\psi(x, t) = \sum_n c_n u_n(x) e^{-i\frac{E_n}{\hbar}t} = \sum_n c_n u_n(x) e^{-i(n+\frac{1}{2})\omega t}$  |  |   |

## „Kohärente“ Glauberzustände

|   |  |   |
|---|--|---|
| Glauberzustände $ \varphi_\alpha\rangle$ sind Eigenzust. von $\hat{a}$ : $\hat{a} \varphi_\alpha\rangle = \alpha \varphi_\alpha\rangle; \alpha \in \mathbb{C}$  | $\alpha(t) = \alpha e^{-i\omega t} =  \alpha  e^{-i\delta} e^{-i\omega t}$ | $\langle \varphi_\alpha   \varphi_\alpha \rangle = 1; \langle \varphi_\alpha   \varphi_{\alpha'} \rangle \neq \delta(\alpha - \alpha')$ |
| $ \varphi_\alpha(0)\rangle = e^{-\frac{ \alpha ^2}{2}} \sum_{n=0}^{\infty} \frac{1}{\sqrt{n!}} \alpha^n  u_n\rangle;  \varphi_\alpha(t)\rangle = e^{-\frac{i\omega t}{2}} e^{-\frac{ \alpha ^2}{2}} \sum_{n=0}^{\infty} \frac{1}{\sqrt{n!}} \alpha^n(t)  u_n\rangle = \frac{1}{\sqrt{x_0 \sqrt{\pi}}} e^{-\frac{ \alpha ^2}{2}} e^{-\frac{i\omega t}{2}} e^{-\frac{x^2}{2x_0^2}} e^{\frac{2\alpha(t)x}{\sqrt{2}x_0}} e^{-\frac{\alpha(t)^2}{2}}$  |  |   |
| $\langle x \rangle = \frac{x_0}{\sqrt{2}} \langle \varphi_\alpha   \hat{a} + \hat{a}^\dagger   \varphi_\alpha \rangle = \frac{x_0}{\sqrt{2}} (\langle \varphi_\alpha   \hat{a}   \varphi_\alpha \rangle + \langle \varphi_\alpha   \hat{a}^\dagger   \varphi_\alpha \rangle) = \frac{x_0}{\sqrt{2}} (\langle \varphi_\alpha   \alpha   \varphi_\alpha \rangle + \langle \varphi_\alpha   \alpha^*   \varphi_\alpha \rangle) = \frac{x_0}{\sqrt{2}} (\alpha \langle \varphi_\alpha   \varphi_\alpha \rangle + \alpha^* \langle \varphi_\alpha   \varphi_\alpha \rangle) =$ |  |   |
| $\langle x \rangle = \frac{x_0}{\sqrt{2}} (\alpha + \alpha^*) = \frac{x_0}{\sqrt{2}} 2 \text{Re}(\alpha)$ ; analog: $\langle x^2 \rangle = \frac{x_0^2}{2} ((\alpha + \alpha^*)^2 + 1)$ ; $\Delta x^2 = \langle x^2 \rangle - \langle x \rangle^2 = \frac{x_0^2}{2}$  |  |   |
| $\langle p \rangle = \frac{\hbar}{i\sqrt{2}x_0} (\alpha - \alpha^*) = \frac{\hbar}{i\sqrt{2}x_0} 2 \text{Im}(\alpha)$ ; $\langle p^2 \rangle = \frac{\hbar^2}{2x_0^2} ((\alpha - \alpha^*)^2 - 1)$ ; $\Delta p^2 = \langle p^2 \rangle - \langle p \rangle^2 = \frac{\hbar^2}{2x_0^2} \Rightarrow \Delta p \Delta x = \frac{\hbar}{2}$  |  |   |
| $\langle x(t) \rangle = \frac{x_0}{\sqrt{2}} (\alpha(t) + \alpha^*(t)) = \sqrt{2} x_0  \alpha  \cos(\omega t - \delta)$ ; $\langle p(t) \rangle = \frac{\hbar}{i\sqrt{2}x_0} (\alpha(t) - \alpha^*(t)) = \frac{\hbar}{x_0} \sqrt{2} \sin(\omega t - \delta)$  |  |   |

## Drehimpuls

|                      |   |  |
|----------------------|---|--|
| Operator $\hat{L}$ : | $\hat{L} = \hat{r} \times \hat{p} = \vec{r} \times \left(\frac{\hbar}{i} \vec{\nabla}\right) = \frac{\hbar}{i} (\vec{r} \times \vec{\nabla}) = \varepsilon_{ijk} x_j \frac{\partial}{\partial x_k}$ | $\hat{L}_x = \frac{\hbar}{i} \left(y \frac{\partial}{\partial z} - z \frac{\partial}{\partial y}\right); \hat{L}_y = \frac{\hbar}{i} \left(z \frac{\partial}{\partial x} - x \frac{\partial}{\partial z}\right); \hat{L}_z = \frac{\hbar}{i} \left(x \frac{\partial}{\partial y} - y \frac{\partial}{\partial x}\right) = \frac{\hbar}{i} \frac{\partial}{\partial \varphi}$ |
| Vektoroperator       | Ein Operator $\hat{A}$ ist nur dann ein Vektoroperator, wenn gilt: $[\hat{L}_i, \hat{A}_j] = i\hbar \varepsilon_{ijk} \hat{A}_k$ . $\hat{r}, \hat{p}, \hat{L}$ sind Vektoroperatoren $\Rightarrow$  |  |
| Kommutatoren:        | $[\hat{L}_i, x_j] = i\hbar \varepsilon_{ijk} x_k; [\hat{L}_i, p_j] = i\hbar \varepsilon_{ijk} p_k; [\hat{L}_i, L_j] = i\hbar \varepsilon_{ijk} L_k$   | Operator $\hat{L}^2$ : $\hat{L}^2 = \hat{L}_x^2 + \hat{L}_y^2 + \hat{L}_z^2$   |
| Kompat. zu $L_i$ :   | $\hat{H}, \hat{L}^2, \hat{S}^2, \hat{r}^2, \hat{p}^2$ kompat. zu $\hat{L}^2$ : $\hat{H}, L_i, S^2, \hat{r}^2, \hat{p}^2$  | Erwartungswerte: $\langle L_x \rangle = \langle L_y \rangle = 0; \langle L_x^2 \rangle = \langle L_y^2 \rangle \geq \frac{1}{4} \hbar^2$   |
| Eigenzustände        | $\hat{L}^2  l m_l\rangle = l(l+1)\hbar^2  l m_l\rangle$ Bahndrehimpulsquantenz. $l$ zu Operator $\hat{L}^2$   | $l = 0, \dots, n-1$<br>$l = s, p, d, f, g, \dots$<br>Magn. Drehimp.-QZ $m_l$ zu Operator $\hat{L}_z$ : $m_l = \frac{L_z}{\hbar} = \{-l, \dots, +l\}$   |
| Leiteroperatoren     | $\hat{L}_\pm = \hat{L}_x \pm i\hat{L}_y$ ; nicht hermit.: $\hat{L}_\pm^\dagger = \hat{L}_\mp; \hat{L}_+^\dagger = \hat{L}_-$  | Auf- Absteiger: $\hat{L}_\pm  l m_l\rangle = \sqrt{(l \mp m_l)(l \pm m_l + 1)} \hbar  l, m_l \pm 1\rangle$   |
| Gyromag. Verh        | $\gamma = \frac{ \mu }{ L } = \frac{ q \hbar}{2m_e q}$ Bohrsches Magneton $\mu_B^{cgs} = \frac{ e \hbar}{2m_e c}; \mu_B^{SI} = \frac{ e \hbar}{2m_e}$   | allgemeines Magneton $\vec{\mu}_z = \text{sign}(q) \mu_B \frac{\vec{L}_z}{\hbar} = \text{sign}(q) \mu_B m = \text{sign}(q) \gamma \vec{L}$   |
| Entartung $n, l$     | Entartung = $\sum_{l=0}^{n-1} (2l+1) = n^2$ (ohne Spin)   |  |
| Eigenzust. allg.     | Seien $\hat{A}^2, \hat{A}_z$ irgendwelche Drehimpuls- oder Spinoperatoren. Dann gilt: $\hat{A}^2  \psi\rangle = a(a+1)\hbar^2  \psi\rangle; \hat{A}_z  \psi\rangle = m_a \hbar  \psi\rangle$        |  |

## Spin

|                                |   |  |   |                             |   |
|--------------------------------|---|--|---|-----------------------------|---|
| Spinmoment                     | $\vec{\mu}_s = \text{sign}(q) \mu_B g_s \frac{\vec{s}}{\hbar} = \gamma \vec{S}$   | Landé-Faktor:  | $g_s^e = 2,0023 \dots \approx 2$  | Spinquantenzahl:            | Quantenzahl $s$ zu Operator $\hat{S}^2$ . Fermionen: halbzahlig (Elektron: $s=1/2$ ). Bosonen: ganzzahlig.  |
| Magn. Spinquantenzahl          | $m_s = \frac{S_z}{\hbar} = \{-s, \dots, +s\}$<br>$\Rightarrow m_s^e = \pm 1/2$  | Spin up:   | $ s = \frac{1}{2}, m_s = \frac{1}{2}\rangle =  \uparrow\rangle =  0\rangle$   | Spin down:                  | $ s = \frac{1}{2}, m_s = -\frac{1}{2}\rangle =  -\rangle =  \downarrow\rangle =  1\rangle$  |
| Eigenzust. $\hat{S}_z$ :       | $\hat{S}_z  \uparrow\rangle = \frac{\hbar}{2}  \uparrow\rangle; \hat{S}_z  \downarrow\rangle = -\frac{\hbar}{2}  \downarrow\rangle$   | Eigenzustand $\hat{S}^2$   | $\hat{S}^2  \uparrow\rangle = s(s+1)\hbar^2  \uparrow\rangle = \frac{3}{4}\hbar^2  \uparrow\rangle; \hat{S}^2  \downarrow\rangle = s(s+1)\hbar^2  \downarrow\rangle = \frac{3}{4}\hbar^2  \downarrow\rangle$  |                             |   |
| Kommutator:                    | $[\hat{S}_i, \hat{S}_j] = i\hbar \epsilon_{ijk} \hat{S}_k$  | kompatibel zu $\hat{S}_i$ :  | $\hat{H}, \hat{L}_i, \hat{L}^2, \hat{S}^2$  | kompatibel zu $\hat{S}^2$ : | $\hat{H}, \hat{L}_i, \hat{L}^2, \hat{S}_i$  |
| Produktraum:                   | $ \psi\rangle =  \psi_{nlm}\rangle \otimes  \psi_s\rangle \in \mathcal{H} = \mathcal{H}_{nlm} \otimes \mathcal{H}_s$  |  | $\langle \psi   \psi' \rangle = (\langle \psi_{nlm}   \otimes \langle \psi_s  ) \cdot ( \psi'_{nlm}\rangle \otimes  \psi'_s\rangle) = \langle \psi_{nlm}   \psi'_{nlm} \rangle \cdot \langle \psi_s   \psi'_s \rangle$  |                             |   |
|                                | $\dim(\mathcal{H}) = \dim(\mathcal{H}_{nlm}) \dim(\mathcal{H}_s) = (2l+1)(2s+1) = (2l+1) \cdot 2$   |  | Operator $\hat{S}^2$ : $\hat{S}^2 = \hat{S}_x^2 + \hat{S}_y^2 + \hat{S}_z^2$  |                             |   |
| Spinor:                        | $ \psi_s\rangle = \alpha  \uparrow\rangle + \beta  \downarrow\rangle \Rightarrow  \psi_s\rangle^{\{S_z\}} = \begin{pmatrix} \alpha \\ \beta \end{pmatrix}$ mit Basis $\{S_z\} = \{ \uparrow\rangle,  \downarrow\rangle\}$   |  | Operatoren $\hat{S}_x, \hat{S}_y, \hat{S}_z$ : $\hat{S}_x = \frac{\hbar}{2} \sigma_x; \hat{S}_y = \frac{\hbar}{2} \sigma_y; \hat{S}_z = \frac{\hbar}{2} \sigma_z$   |                             |   |
| Operator $\hat{S}_{\hat{n}}$   | $\hat{S}_{\hat{n}} = \frac{\hbar}{2} (n_x \sigma_x + n_y \sigma_y + n_z \sigma_z) = \frac{\hbar}{2} (\sigma_x \sin \vartheta \cos \varphi + \sigma_y \sin \vartheta \sin \varphi + \sigma_z \cos \vartheta)$ mit $ \hat{n}  = 1; \hat{n} = (n_x, n_y, n_z)^T$   |  |   |                             |   |
| Leitoperatoren                 | $\hat{S}_{\pm} = \hat{S}_x \pm i \hat{S}_y$ ; nicht herm. $\hat{S}_+^\dagger = \hat{S}_-; \hat{S}_-^\dagger = \hat{S}_+$ . $[\hat{S}_{\pm}, m_s] = \sqrt{(s \mp m_s)(s \pm m_s + 1)} \hbar  s, m_s \pm 1\rangle$ $[\hat{S}_+,  \downarrow\rangle] =  \uparrow\rangle; \hat{S}_-  \uparrow\rangle =  \downarrow\rangle$<br>$\hat{S}_x = \frac{1}{2}(\hat{S}_+ + \hat{S}_-) \Rightarrow \hat{S}_x  \uparrow\rangle = \frac{\hbar}{2}  \downarrow\rangle; \hat{S}_x  \downarrow\rangle = \frac{\hbar}{2}  \uparrow\rangle$ $\hat{S}_y = -i \frac{1}{2}(\hat{S}_+ - \hat{S}_-) \Rightarrow \hat{S}_y  \uparrow\rangle = \frac{i\hbar}{2}  \downarrow\rangle; \hat{S}_y  \downarrow\rangle = -\frac{i\hbar}{2}  \uparrow\rangle$ |  |   |                             |   |
| Paulimatrizen                  | $\sigma_x =  \uparrow\rangle\langle\downarrow  +  \downarrow\rangle\langle\uparrow  = \begin{pmatrix} 0 & 1 \\ 1 & 0 \end{pmatrix}; \sigma_y = i(- \uparrow\rangle\langle\downarrow  +  \downarrow\rangle\langle\uparrow ) = \begin{pmatrix} 0 & -i \\ i & 0 \end{pmatrix}; \sigma_z =  \uparrow\rangle\langle\uparrow  -  \downarrow\rangle\langle\downarrow  = \begin{pmatrix} 1 & 0 \\ 0 & -1 \end{pmatrix}$   |  |   |                             |   |
| Spinrichtung:                  | $\vec{s} = \frac{2}{\hbar} \langle \psi   \hat{S}   \psi \rangle$   | Spin-Hamilton:   | $\hat{H}_s = -\vec{\mu}_s \cdot \vec{B}$  | Larmorfrequenz:             | $\omega_L = \gamma B = \frac{ \mu_s }{\hbar} B = \frac{qB}{m}$ Bloch Vekt.: $ \psi\rangle = \cos\left(\frac{\vartheta}{2}\right)  \uparrow\rangle + e^{i\varphi} \sin\left(\frac{\vartheta}{2}\right)  \downarrow\rangle$ |
| EV. in x,y-Richtung z. Basis z | $ \uparrow_x\rangle = \frac{1}{\sqrt{2}}( \uparrow\rangle +  \downarrow\rangle)$<br>$ \downarrow_x\rangle = \frac{1}{\sqrt{2}}( \uparrow\rangle -  \downarrow\rangle)$  | $ \uparrow_y\rangle = \frac{1}{\sqrt{2}}( \uparrow\rangle + i \downarrow\rangle)$<br>$ \downarrow_y\rangle = \frac{1}{\sqrt{2}}( \uparrow\rangle - i \downarrow\rangle)$ | Herleitung mit Bloch-Vektor. Z.B. $ \uparrow_y\rangle \hat{=} (\vartheta = \frac{\pi}{2}, \varphi = \frac{\pi}{2}) \Rightarrow  \uparrow_y\rangle = \cos\left(\frac{\pi}{4}\right)  \uparrow\rangle + e^{i\frac{\pi}{2}} \sin\left(\frac{\pi}{4}\right)  \downarrow\rangle = \frac{1}{\sqrt{2}}  \uparrow\rangle + i \frac{1}{\sqrt{2}}  \downarrow\rangle$ |                             |   |

## Produktbasis, gekoppelte Basis

|                |   |                   |  |
|----------------|---|-------------------|--|
| Produktbasis   | Observable $\{L^2, L_z, S^2, S_z\}$ mit QZ $\{L, M; S, M_s\}$   | Gekoppelte Basis: | Observable $\{L^2, S^2, J^2, J_z\}$ mit QZ $\{L, S, J, M_J\}$              |
| Gesamtdrehimp. | $\vec{J} = \vec{L} + \vec{S}$ $[J_i, J_j] = i\hbar \epsilon_{ijk} J_k$  | Ges.drehimp.QZ:   | $ l-s  \leq J \leq  l+s $ magn. Gesamtdrehimp.-QZ $M_J = \{-J, \dots, J\}$ |
|                | $\vec{J} = \vec{L} + \vec{S}$ $\vec{J}^2 = (\vec{L} + \vec{S})^2 = \vec{L}^2 + \vec{S}^2 + 2\vec{L}\vec{S}$   |                   |  |
| Clebsch-Gordon | (1) Finde Tabelle passend zu $(j_1, j_2) \hat{=} (s_1, s_2)$ . (2) Finde rechts oben die Spalte mit den zu transformierenden Werten für $(J, M_J) \hat{=} (S, M_s)$ . (3) Darunter stehen die Koeffizienten der Produktbasisvektoren (Wurzel hinzufügen) (4) Die passenden Werte $m_1, m_2$ für die Produktbasisvektoren $ j_1 m_1\rangle \otimes  j_2 m_2\rangle$ bzw. $ s_1 m_1\rangle \otimes  s_2 m_2\rangle$ stehen links. |                   |  |

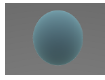

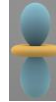

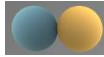

## Schrödingergleichung für Wasserstoffatom und wasserstoffartige Atome

|   |   |                 |  |  |   |  |                                 |
|---|---|-----------------|--|--|---|--|---------------------------------|
| absolut Koord:  | $\left(\frac{\hat{p}_e^2}{2m_e} + \frac{\hat{p}_N^2}{2M_N} - \frac{Ze^2}{ \vec{r}_e - \vec{r}_N }\right) \Psi(\vec{r}_e, \vec{r}_N) = E \Psi(\vec{r}_e, \vec{r}_N)$   | Relativkoord:   | $\vec{r} = \vec{r}_e - \vec{r}_N$  | Relativimpuls:   | $\vec{p} = \frac{M_N \vec{p}_e - m_e \vec{p}_N}{M_{ges}}$ | Gesamtmasse:   | $M_{ges} = m_e + M_N$           |
| SP-Koord:   | $\left(\frac{\hat{p}^2}{2\mu} + \frac{\beta^2}{2M_{ges}} - \frac{Ze^2}{r}\right) \Psi(\vec{r}, \vec{R}) = E \Psi(\vec{r}, \vec{R})$   | SP-koord:       | $\vec{R} = \frac{\vec{r}_e m_e + \vec{r}_N M_N}{M_{ges}}$  | Gesamtimpuls:  | $\vec{P} = \vec{p}_e + \vec{p}_N$                         | Reduz. Masse:  | $\mu = \frac{m_e M_N}{M_{ges}}$ |
| relativkoord.   | $\Psi = \phi(\vec{r}) e^{i\vec{R} \cdot \vec{K}} \Rightarrow \left(\frac{\hat{p}^2}{2\mu} - \frac{Ze^2}{r}\right) \phi(\vec{r}) = \epsilon \phi(\vec{r})$   | Energ Rel.bew.  | $\epsilon = E - E_{kin}^{SP}$  | Kin. Energ. des SP:  | $E_{kin}^{SP} = \frac{\hbar^2 K^2}{2M_{ges}}$             | Kin. Energie Relativbew.:  | $\frac{\hat{p}^2}{2\mu}$        |
|   | Kernpot.: $-\frac{Ze^2}{r}$   |                 |  |  |   |  |                                 |
| 3D Schrödingergl.: $\left(-\frac{\hbar^2}{2\mu} \nabla^2 + V(r)\right) \phi(\vec{r}) = \epsilon \phi(\vec{r})$ Coulomb-Pot.: $V(r) = -\frac{e^2 Z}{r} \Rightarrow \left(-\frac{\hbar^2}{2\mu} \nabla^2 - \frac{e^2 Z}{r}\right) \phi(\vec{r}) = \epsilon \phi(\vec{r})$<br>$\left(-\frac{\hbar^2}{2\mu} \left(\frac{\partial^2}{\partial r^2} + \frac{2}{r} \frac{\partial}{\partial r}\right) + \frac{\hbar^2 l(l+1)}{2\mu r^2} - \frac{e^2 Z}{r}\right) \phi(\vec{r}) = \epsilon \phi(\vec{r}) \quad \hat{L}^2 \Psi = \hbar^2 l(l+1) \Psi \Rightarrow \left(-\frac{\hbar^2}{2\mu} \left(\frac{\partial^2}{\partial r^2} + \frac{2}{r} \frac{\partial}{\partial r}\right) + \frac{\hbar^2 l(l+1)}{2\mu r^2} - \frac{e^2 Z}{r}\right) \phi(\vec{r}) = \epsilon \phi(\vec{r})$ |   |                 |  |  |   |  |                                 |
| Produktansatz: $\phi(\vec{r}) = R(r) Y_l^m(\vartheta, \varphi) \Rightarrow \left(-\frac{\hbar^2}{2\mu} \left(\frac{\partial^2}{\partial r^2} + \frac{2}{r} \frac{\partial}{\partial r}\right) + \frac{\hbar^2 l(l+1)}{2\mu r^2} - \frac{e^2 Z}{r}\right) R(r) = \epsilon R(r)$ mit $\frac{\hbar^2 l(l+1)}{2\mu r^2} \dots$ Zentrifugalpotential<br>effektives Pot.  |   |                 |  |  |   |  |                                 |
| Transformation zu Sturm-Liouville EW-Problem: $R(r) \rightarrow \frac{u(r)}{r}$ mit Dirichlet Randbedingungen $u(0) = 0, \lim_{r \rightarrow \infty} u(r) = 0 \Rightarrow$<br>$\left(-\frac{1}{2} \frac{d^2}{dr^2} + \frac{l(l+1)}{2r^2} - \frac{1}{ar} + \frac{k^2}{2}\right) u(r) = 0$ mit $k^2 = \frac{2\mu E }{\hbar^2}$ und $a = \frac{a_0}{\mu}$ und $a_0 = \frac{\hbar^2}{\mu e^2}$ Lösung mit Frobenius-Methode $u(r) = e^{-kr} r^{\alpha+1} \sum_{i=0}^{\infty} a_i r^i$   |   |                 |  |  |   |  |                                 |
| Lösung  | $\phi_{nlm}(\vec{r}) = \phi_{nl}(r) Y_l^m(\vartheta, \varphi) = \frac{2}{n^2} \sqrt{\frac{(n-l-1)!}{(n+l)! a^3}} \left(\frac{2r}{an}\right)^l L_{n-l-1}^{2l+1} \left(\frac{2Zr}{an}\right) e^{-\frac{r}{na}} Y_l^m(\vartheta, \varphi)$ |                 | Atomradius:  | $a = \frac{a_0}{Z}$  | Bohr Radius:  | $a_0^{cgs} = \frac{\hbar^2}{\mu e^2}; a_0^{SI} = \frac{4\pi\epsilon_0 \hbar^2}{\mu e^2}$ |                                 |
| Eigenenerg.:  | Geb. Zust: $\epsilon < 0; E_n = -\frac{\hbar^2}{2\mu a^2 n^2} = -Z^2 R_{\mu} \frac{1}{n^2}$   | Rydberg konst.: | $R_{\mu}^{cgs} = \frac{\mu e^4}{2\hbar^2}; R_{\mu}^{SI} = \frac{\mu e^4}{8\epsilon_0^2 \hbar^3 c}$ | $E_n - E_m = Z^2 \left(\frac{1}{m^2} - \frac{1}{n^2}\right)$ |   |  |                                 |
| Paritätstrafo:  | $\vec{r} \rightarrow -\vec{r} \Leftrightarrow r \rightarrow r; \vartheta \rightarrow \pi - \vartheta; \varphi \rightarrow \varphi + \pi$  |                 | Paritätsoperator: $\hat{\Pi}  nlm\rangle = (-1)^l  nlm\rangle$                                     |  |   |  |                                 |

## Kommutatoralgebra

|               |   |                 |                             |                             |                  |
|---------------|---|-----------------|-----------------------------|-----------------------------|------------------|
| Kommutator:   | $[AB] = AB - BA$  | Antikommutator: | $\{AB\} = [AB]_+ = AB + BA$ | Vertauschen von Operatoren: | $AB = [AB] + BA$ |
| Rechenregeln: | $[\hat{A}, \hat{B}] = -[\hat{B}, \hat{A}]; [\hat{A}, \hat{A}] = 0; [\hat{A}, \beta \hat{B}] = \beta [\hat{A}, \hat{B}]; [\hat{A}, \hat{B} + \hat{C}] = [\hat{A}, \hat{B}] + [\hat{A}, \hat{C}]; [\hat{A}, [\hat{B}, \hat{C}]] + [\hat{B}, [\hat{C}, \hat{A}]] + [\hat{C}, [\hat{A}, \hat{B}]] = 0$<br>$[\hat{A}, \hat{B} \hat{C}] = [\hat{A}, \hat{B}] \hat{C} + \hat{B} [\hat{A}, \hat{C}]; [\hat{A}, \hat{B}^n] = \sum_{\alpha=1}^n \hat{B}^{\alpha-1} [\hat{A}, \hat{B}] \hat{B}^{n-\alpha}; [\hat{A}, 1] = [1, \hat{A}] = 0 \quad \forall [\hat{A}, \hat{B}] = c \Rightarrow [\hat{A}, \hat{B}^n] = nc \hat{B}^{n-1}$ |                 |                             |                             |                  |
| Hermitesch    | Falls $[\hat{A}, \hat{B}]$ hermitesch (EW reel), dann ist $[\hat{A}, \hat{B}]_+$ antihermitesch (EW imaginär) und umgekehrt.  |                 |                             |                             |                  |

**Diverses**

|   |   |  |   |            |   |            |   |             |   |            |   |     |
|---|---|--|---|------------|---|------------|---|-------------|---|------------|---|-----|
| $\cos(z) = \cosh(iz) = \frac{e^{iz} + e^{-iz}}{2}$                      | $\sin(z) = -i \sinh(iz) = \frac{e^{iz} - e^{-iz}}{2i}$  | $\cosh(z) = \cos(iz) = \frac{e^z + e^{-z}}{2}$   | $\sinh(z) = -i \sin(iz) = \frac{e^z - e^{-z}}{2}$   |            |   |            |   |             |   |            |   |     |
| $\tan(z) = -i \tanh(iz) = \frac{e^{iz} - e^{-iz}}{i(e^{iz} + e^{-iz})}$ | $\cot(z) = i \coth(iz) = \frac{i(e^{iz} + e^{-iz})}{e^{iz} - e^{-iz}}$  | $\tanh(z) = -i \tan(iz) = \frac{e^z - e^{-z}}{e^z + e^{-z}} = \frac{e^{2z} - 1}{e^{2z} + 1}$ | $\coth(z) = \frac{e^z + e^{-z}}{e^z - e^{-z}}$  |            |   |            |   |             |   |            |   |     |
| $Ae^{ix} + Be^{-ix} = (A+B)\cos(x) + i(A-B)\sin(x)$                     |   | $Ae^x + Be^{-x} = (A+B)\cosh(x) + (A-B)\sinh(x)$   |   |            |   |            |   |             |   |            |   |     |
| Hermitesche Polynome  | $H_n(x) = (-1)^n e^{x^2} \frac{d^n}{dx^n} e^{-x^2}$ ; orthogonal bzgl. Gewichtsfunktion $e^{-x^2}$ : $\frac{1}{2^n n! \sqrt{\pi}} \int_{-\infty}^{\infty} H_n(x) H_m(x) e^{-x^2} dx = \delta_{nm}$<br>$H_0(x) = 1; H_1(x) = 2x; H_2(x) = 4x^2 - 2; H_3(x) = 8x^3 - 12x; H_4(x) = 16x^4 - 48x^2 + 12; \dots$ |  |   |            |   |            |   |             |   |            |   |     |
| Zugeord. Laguerre-Polynome  | $L_\beta^\alpha(x) = \sum_{m=0}^{\beta} (-1)^m \frac{(\alpha+\beta)!}{(\beta-m)!(\alpha+m)!m!} x^m$   $L_0^k(x) = 1; L_1^k(x) = -x + k + 1; L_2^k(x) = \frac{1}{2}(x^2 - 2(k+2)x + (k+1)(k+2))$   |  |   |            |   |            |   |             |   |            |   |     |
| Kugelflächenfunktion  | $Y_{l,m}(\vartheta, \varphi) = \sqrt{\frac{2l+1}{4\pi} \frac{(l-m)!}{(l+m)!}} P_l^m(\cos \vartheta) e^{im\varphi}$  |  | $Y_{l,m}^* = (-1)^m Y_{l,-m}; Y_{l,m}(\pi - \vartheta, \pi + \varphi) = (-1)^l Y_{l,m}(\vartheta, \varphi)$ |            |   |            |   |             |   |            |   |     |
|   | $Y_{0,0}(\vartheta, \varphi) = \sqrt{\frac{1}{4\pi}}; Y_{1,-1}(\vartheta, \varphi) = \sqrt{\frac{3}{8\pi}} \sin(\vartheta) e^{-i\varphi}; Y_{1,0}(\vartheta, \varphi) = \sqrt{\frac{3}{4\pi}} \cos(\vartheta); Y_{1,1}(\vartheta, \varphi) = -\sqrt{\frac{3}{8\pi}} \sin(\vartheta) e^{i\varphi}$           |  |   |            |   |            |   |             |   |            |   |     |
|   | $Y_{2,0}(\vartheta, \varphi) = -\sqrt{\frac{5}{16\pi}} (3 \cos^2(\vartheta) - 1); Y_{l,0}(0, \varphi) = \sqrt{\frac{2l+1}{4\pi}}; Y_{l,m}(0, \varphi)_{ m \neq 0} = Y_{l,m}(\pi, \varphi)_{ m \neq 0} = 0; Y_{l,0}(\pi, \varphi) = (-1)^l \sqrt{\frac{2l+1}{4\pi}}$   |  |   |            |   |            |   |             |   |            |   |     |
| $l=0, m=0$  |    | $l=1, m=0$   |                            | $l=2, m=0$ |  | $l=3, m=0$ |  | $l=1, m=-1$ |  | $l=1, m=1$ |  | ... |

**Herleitung Schrödingergleichung**

|  |  |  |
|--|--|--|
| Herleitung gemäß Skriptum:                   | <p>Allgemeine Wellengleichung:<br/> <math>\frac{\partial^2}{\partial x^2} \Psi(x, t) = \frac{1}{v^2} \frac{\partial^2}{\partial t^2} \Psi(x, t) \xrightarrow{\text{allg. Lsg.}} \Psi(x, t) = A e^{i(kx - \omega t)}</math><br/> <math>\frac{\partial}{\partial t} \Psi(x, t) = -i\omega A e^{i(kx - \omega t)} = -i\omega A \Psi(x, t) \cdot i\hbar \Rightarrow</math><br/> <math>i\hbar \frac{\partial}{\partial t} \Psi(x, t) = \hbar \omega \cdot A e^{i(kx - \omega t)} \mid \hbar \omega = E, A e^{i(kx - \omega t)} = \Psi(x, t) \Rightarrow</math><br/> <math>i\hbar \frac{\partial}{\partial t} \Psi(x, t) = E \Psi(x, t) \dots (1)</math></p> <p><math>\frac{\partial^2}{\partial x^2} \Psi(x, t) = -k^2 \cdot A e^{i(kx - \omega t)} = -k^2 \Psi(x, t) \mid \cdot \frac{\hbar^2}{2m} \left(\frac{1}{i}\right)^2 \Rightarrow</math><br/> <math>\frac{\hbar^2}{2m} \left(\frac{1}{i}\right)^2 \frac{\partial^2}{\partial x^2} \Psi(x, t) = -\frac{\hbar^2}{2m} \left(\frac{1}{i}\right)^2 k^2 \Psi(x, t)</math><br/> <math>-\frac{\hbar^2}{2m} \frac{\partial^2}{\partial x^2} \Psi(x, t) = +\frac{\hbar^2 k^2}{2m} \Psi(x, t) \mid \hbar^2 k^2 = p^2 \Rightarrow</math><br/> <math>-\frac{\hbar^2}{2m} \frac{\partial^2}{\partial x^2} \Psi(x, t) = +\frac{p^2}{2m} \Psi(x, t) \dots (2) \mid E = E_{kin} = \frac{mv^2}{2} = \frac{m^2 v^2}{2m} = \frac{p^2}{2m} \Rightarrow</math><br/> <math>-\frac{\hbar^2}{2m} \frac{\partial^2}{\partial x^2} \Psi(x, t) = E \Psi(x, t) \dots (3)</math></p> | <p><math>E \Psi(x, t) = E \Psi(x, t) \xrightarrow{(1),(3)}</math><br/> <math>i\hbar \frac{\partial}{\partial t} \Psi(x, t) = -\frac{\hbar^2}{2m} \frac{\partial^2}{\partial x^2} \Psi(x, t) \xrightarrow{(1)}</math><br/> <math>E \Psi(x, t) = -\frac{\hbar^2}{2m} \frac{\partial^2}{\partial x^2} \Psi(x, t)</math></p> <p>Hamilton:<br/> <math>E = H(x, p) \mid \Psi(x, t) \Rightarrow</math><br/> <math>E \Psi(x, t) = H(x, p) \Psi(x, t) \mid \begin{cases} H(x, p) = \\ \frac{p^2}{2m} + V(x) \end{cases} \Rightarrow</math><br/> <math>E \Psi(x, t) = \frac{p^2}{2m} \Psi(x, t) + E_{kin} \Psi(x, t) =</math><br/> <math>-\frac{\hbar^2}{2m} \frac{\partial^2}{\partial x^2} \Psi(x, t) \Psi(x, t) \xrightarrow{(2)}</math><br/> <math>E \Psi(x, t) = \left(-\frac{\hbar^2}{2m} \frac{\partial^2}{\partial x^2} + V(x)\right) \Psi(x, t) \xrightarrow{(1)}</math><br/> <math>i\hbar \frac{\partial}{\partial t} \Psi(x, t) = \left(-\frac{\hbar^2}{2m} \frac{\partial^2}{\partial x^2} + V(x)\right) \Psi(x, t)</math></p> |
| Eigene Herleitung (kürzer, kein „Guesswork“) | <p>Allgemeine Wellengleichung:<br/> <math>\frac{\partial^2}{\partial x^2} \Psi(x, t) = \frac{1}{v^2} \frac{\partial^2}{\partial t^2} \Psi(x, t) \xrightarrow{\text{allg. Lsg.}} \Psi(x, t) = A e^{i(kx - \omega t)}</math><br/> <math>\frac{\partial^2}{\partial x^2} \Psi(x, t) = -k^2 \cdot A e^{i(kx - \omega t)} = -k^2 \Psi(x, t) \mid k^2 = \frac{p^2}{\hbar^2} \Rightarrow</math><br/> <math>\frac{\partial^2}{\partial x^2} \Psi(x, t) = -\frac{p^2}{\hbar^2} \Psi(x, t) \mid E_{kin} = \frac{mv^2}{2} = \frac{m^2 v^2}{2m} = \frac{p^2}{2m} \Rightarrow p^2 = 2mE_{kin} \Rightarrow</math><br/> <math>\frac{\partial^2}{\partial x^2} \Psi(x, t) = -\frac{2m}{\hbar^2} E_{kin} \Psi(x, t) \mid \cdot \frac{\hbar^2}{2m} \Rightarrow</math><br/> <math>E_{kin} \Psi(x, t) = -\frac{\hbar^2}{2m} \frac{\partial^2}{\partial x^2} \Psi(x, t) \mid E_{kin} = E - E_{pot} = E - V(x) \Rightarrow</math></p>  | <p><math>E \Psi(x, t) - V(x) \Psi(x, t) = -\frac{\hbar^2}{2m} \frac{\partial^2}{\partial x^2} \Psi(x, t)</math><br/> <math>E \Psi(x, t) = -\frac{\hbar^2}{2m} \frac{\partial^2}{\partial x^2} \Psi(x, t) + V(x) \Psi(x, t)</math><br/> <math>E \Psi(x, t) = \left(-\frac{\hbar^2}{2m} \frac{\partial^2}{\partial x^2} + V(x)\right) \Psi(x, t) \dots (4)</math><br/> <math>\frac{\partial}{\partial t} \Psi(x, t) = -i\omega \Psi(x, t) \mid \hbar \omega = E \Rightarrow \omega = \frac{E}{\hbar} \Rightarrow</math><br/> <math>\frac{\partial}{\partial t} \Psi(x, t) = -\frac{i}{\hbar} E \Psi(x, t) \Rightarrow E = -\frac{\hbar}{i} \frac{\partial}{\partial t} \Rightarrow</math><br/> <math>E = i\hbar \frac{\partial}{\partial t} \xrightarrow{(4)}</math><br/> <math>i\hbar \frac{\partial}{\partial t} \Psi(x, t) = \left(-\frac{\hbar^2}{2m} \frac{\partial^2}{\partial x^2} + V(x)\right) \Psi(x, t)</math></p>  |

**Delta- und Heaviside-Funktion**

|                    |  |
|--------------------|--|
| Delta-Funktion     | $\delta(x) \leftrightarrow \delta[\varphi] = \delta_0[\varphi] = \varphi(0) \leftrightarrow \int_{-\infty}^{\infty} \delta(x) \varphi(x) dx = \varphi(0) \mid \delta(x - x_0) \delta_{x_0}[\varphi] = \varphi(x_0)$  |
|                    | $\int_{-\infty}^{\infty} \delta(x) dx = 1 \mid \int_a^b \delta(x) dx = \begin{cases} 1, \text{für } 0 \in [a, b] \\ 0, \text{sonst} \end{cases} \mid \delta(x) = \frac{d}{dx} H(x) \mid f(x) \delta(x - x_0) = f(x_0) \delta(x - x_0) \mid \delta(x) = \delta(-x)$ |
|                    | $x \delta(x) = 0 \mid \delta(ax) = \frac{1}{ a } \delta(x) \mid  x  \delta(x^2) = \delta(x) \mid \delta(f(x)) = \sum_i \frac{\delta(x-x_i)}{ f'(x_i) }; x_i \dots \text{einfache NST} \mid \int \delta(x) dx = H(x)$   |
| Heaviside-Funktion | $H(x) \leftrightarrow H[\varphi] = \int_0^\infty \varphi(x) dx; H(x - x_0) = \int_{-\infty}^{x-x_0} \delta(t) dt; H(x) = \begin{cases} 1 \text{ für } x > 0 \\ \frac{1}{2} \text{ für } x = 0 \\ 0 \text{ sonst} \end{cases}$                                      |



## Quadratische $n \times n$ -Matrizen

|                             |  |   |
|-----------------------------|--|---|
| Determinante:               | $\det \begin{pmatrix} a_1 & b_1 \\ a_2 & b_2 \end{pmatrix} = a_1 b_2 - b_1 a_2$  | $\det \begin{pmatrix} a_1 & b_1 & c_1 \\ a_2 & b_2 & c_2 \\ a_3 & b_3 & c_3 \end{pmatrix} = \vec{a} \cdot (\vec{b} \times \vec{c}) = \begin{matrix} a_1 b_2 c_3 + \\ b_1 c_2 a_3 + \\ c_1 a_2 b_3 - \\ c_1 b_2 a_3 - \\ c_2 b_3 a_1 - \\ c_3 b_1 a_2 \end{matrix} = b_1(-1)^{1+2} \begin{vmatrix} b_2 & c_2 \\ b_3 & c_3 \end{vmatrix} + \dots = \varepsilon_{ijk} a_i b_j c_k$ |
| invertierbar:               | $\exists B: AB = \mathbb{1} \Leftrightarrow \text{regulär}$  | Invertieren: $[A \mathbb{1}] \xrightarrow{\text{Gauss}} [\mathbb{1} A^{-1}]$ Invertieren 2x2: $\begin{pmatrix} a & b \\ c & d \end{pmatrix}^{-1} = \frac{1}{ad-bc} \begin{pmatrix} d & -b \\ -c & a \end{pmatrix}$  |
| Rechenregeln:               | $\det(AB) = \det(A) \det(B)$   | $\det(A^T) = \det(A)$ $\det(A^{-1}) = \det(A)^{-1}$ $\det(sA) = s^n \det(A)$  |
| selbstadjung.               | in $\mathbb{R}^{n \times n}$ : selbstadjungiert $\equiv$ symmetrisch (s.u.) $\langle A\vec{x}, \vec{y} \rangle = \langle \vec{x}, A\vec{y} \rangle$  | in $\mathbb{C}^{n \times n}$ : selbstadjungiert $\equiv$ hermit (s.u.) $\langle A\vec{x}   \vec{y} \rangle = \langle \vec{x}   A\vec{y} \rangle$  |
| hermit:                     | $A = A^\dagger = A^* \Leftrightarrow EV \text{ bilden OGB } D \Leftrightarrow \exists: OGB D: U^\dagger A U = D$   | herm. $\Rightarrow \forall \lambda_i \in \mathbb{R}$ ; h. $\Rightarrow$ diag.bar; h. $\Rightarrow$ selbstadj.; h. $\Rightarrow$ normal  |
| unitär:                     | $A \in \mathbb{C}^{n \times n}: U^\dagger = U^{-1} \Leftrightarrow U U^\dagger = \mathbb{1} \Leftrightarrow \ \vec{x}\  = \ U\vec{x}\ $  | unitär $\Rightarrow \det(U) = 1$ ; unit. $\Rightarrow \forall \lambda_i = e^{it_i}$ , unit. $\Rightarrow$ diag.bar; unit. $\Rightarrow$ normal  |
| diag.sierbar:               | $\exists T: T A T^{-1} = D \Leftrightarrow \exists \text{ Eigenbasis } D: A = X D X^{-1} \forall \lambda_i$ : algebr. Vielfachheit $n = \text{geom. Vielfachheit } g \Leftrightarrow AB = BA$  |   |
| normal:                     | $A$ ist normal, wenn $[AA^*] = AA^* - A^*A = \mathbb{0}$ .   |   |
| orthogonal:                 | $A \in \mathbb{R}^{n \times n}: A^T = A^{-1} \Leftrightarrow A A^T = \mathbb{1} \Leftrightarrow \ \vec{x}\  = \ A\vec{x}\ $  | orthogonal $\Rightarrow \det(A) = \pm 1$ ; orthogon. $\Rightarrow \forall \lambda_i = \pm 1$  |
| EW $\lambda$ , EV $\vec{v}$ | $A\vec{v} = \lambda\vec{v}$ ; Eigenvektor $\vec{v} \in \mathbb{C}^n \setminus \{\vec{0}\}$ ; Eigenwert $\lambda \in \mathbb{C}$ . Wenn $A \in \mathbb{R}^{n \times n} \wedge \text{pos. definit} \Rightarrow \forall \lambda_i \in \mathbb{R} \wedge \forall \lambda_i > 0$ .<br>Berechnung EW: $A\vec{v} = \lambda\vec{v} \Rightarrow A\vec{v} - \lambda\mathbb{1}\vec{v} \Rightarrow A\vec{v} - \lambda\mathbb{1}\vec{v} = \mathbb{0} \Rightarrow$ |   |
| EW und EV                   | EW: $p(\lambda) = \det(A - \lambda\mathbb{1}) = 0$ ; EV: $\vec{v}_{1\dots n} \in \text{Eigenraum}(\lambda_i) = \text{Kern}(A - \lambda_i\mathbb{1})$   |   |

## Hilbertraum

|  |   |
|--|---|
| Hilbertraum $\mathcal{H}$ .<br>Allgemein | Ein Hilbertraum $H$ ist ein bezüglich der vom Skalarprodukt induzierten Metrik vollständiger Prähilbertraum $(\vec{V}, \langle \cdot, \cdot \rangle)$ . Das heißt jede Cauchy-Folge konvergiert gegen ein Element im Raum.  |
| Prähilbertraum                           | Ein Vektorraum, in dem ein inneres Produkt definiert ist $(V, \langle \cdot, \cdot \rangle)$ , heißt <i>Prähilbertraum</i> . Damit es ein inneres Produkt $\langle \cdot, \cdot \rangle$ geben kann, muss im Raum eine geeignete Norm definiert sein (nämlich eine Norm, die die Parallelogrammgleichung erfüllt; z.B. $\ \cdot\ _2$ ), bzw. das Innere Produkt <i>induziert</i> die Norm:<br>$\ x\ _2 = \sqrt{\langle x, x \rangle} \quad \forall x \in V$ . In einem Prähilbertraum ist „Orthogonalität“ $x \perp y$ definiert ( $x \perp y \Leftrightarrow \langle x, y \rangle = 0$ ), und es existieren <i>Orthonormalbasen</i> .  |
| Norm. Vektorraum $(V, \ \cdot\ )$ :      | Vektorraum mit definierter Norm $V \rightarrow \mathbb{R}_0^+ : \vec{x} \rightarrow \ \vec{x}\ $ : ( $\ s\vec{x}\  =  s  \ \vec{x}\ $ ) $\wedge$ ( $\ \vec{x} + \vec{y}\  \leq \ \vec{x}\  + \ \vec{y}\ $ ) $\wedge$ ( $\ \vec{x}\  \geq 0$ ; $\ \vec{x}\  = 0 \Leftrightarrow \vec{x} = \vec{0}$ )   |
| Vektorraum, allgemein                    | Es seien $V$ eine Menge, $(\mathbb{K}, +, \cdot)$ ein Körper, $\oplus: V \times V \rightarrow V$ die Vektoraddition und $\odot: \mathbb{K} \times V \rightarrow V$ die Skalarmultiplikation. Dann ist $(V, \oplus, \odot)$ ein Vektorraum über den Körper $\mathbb{K}$ , wenn für die Vektoraddition gilt:<br><b>V1:</b> $u \oplus (v \oplus w) = (u \oplus v) \oplus w$ (Assoziativgesetz)<br><b>V2:</b> $\exists 0 \in V: v \oplus 0 = 0 \oplus v$ (neutrales Element 0)<br><b>V3:</b> $\exists (-v) \in V: v \oplus (-v) = (-v) \oplus v = 0$ (inverses Element)<br><b>V4:</b> $v \oplus u = u \oplus v$ (Kommutativgesetz)<br>und wenn für die Vektormultiplikation gilt:<br><b>S1:</b> $\alpha \odot (u \oplus v) = (\alpha \odot u) \oplus (\alpha \odot v)$<br><b>S2:</b> $(\alpha + \beta) \odot v = (\alpha \odot v) \oplus (\beta \odot v)$<br><b>S3:</b> $(\alpha \cdot \beta) \odot v = \alpha \odot (\beta \odot v)$<br><b>S4:</b> $\exists 1 \in \mathbb{K}: 1 \odot v = v$ (neutrales Element 1)<br>für alle $u, v, w \in V$ und $\alpha, \beta \in \mathbb{K}$ . <b>V1, V2, V3</b> besagt, dass $(V, \oplus)$ eine Gruppe bildet, und <b>V4</b> , dass diese abelsch ist. |

### Modellpotentiale (1D)

|  |  |  |   |  |
|--|--|--|---|--|
| Unendlich hoher Potentialtopf von $x=0$ bis $a$                          | $\Psi = Ae^{ikx} + Be^{-ikx}$<br>mit $k = \sqrt{\frac{2mE}{\hbar^2}} \dots (1)$  | Rand bed.: $\Psi(0) = 0 \Rightarrow B = -A \dots (2)$<br>$\Psi(a) = 0 \Rightarrow k = \frac{n\pi}{a} \dots (3)$  | Lösung: $\Psi = C \sin\left(\frac{n\pi}{a}x\right)$<br>mit $C = \sqrt{2/a}$   | $E = \frac{m^2 v^2}{2m} = \frac{p^2}{2m} = \frac{\hbar^2 k^2}{2m} \dots (3)$<br>$E_n = \frac{\hbar^2 \pi^2}{2m a^2} n^2 = E_1 n^2$   |
| Potentialstufe $V(x \leq 0) = 0$<br>$V(x > 0) = V_0$<br>mit $E < V_0$    | $\Psi_I = Ae^{ikx} + Be^{-ikx}$<br>mit $k = \sqrt{\frac{2mE}{\hbar^2}} \dots (1)$<br>$(3) + (4) \Rightarrow B = -A \frac{\kappa + ik}{\kappa - ik}$<br>$(3) \Rightarrow D = A \frac{2ik}{ik - \kappa}$   | $\Psi_{II} = De^{-\kappa x}$ mit $\kappa = \sqrt{\frac{2m(V_0 - E)}{\hbar^2}} \dots (2)$<br>$\Psi_I = A \left( e^{ikx} - \frac{\kappa + ik}{\kappa - ik} e^{-ikx} \right)$<br>$\Psi_{II} = A \frac{2ik}{ik - \kappa} e^{-\kappa x}$  | Anschlussbedingungen: $\Psi_I(0) = \Psi_{II}(0) \Rightarrow A + B = D \dots (3)$<br>$\Psi_I'(0) = \Psi_{II}'(0) \Rightarrow i \frac{k}{\kappa} A - i \frac{k}{\kappa} B = -D \dots (4)$<br>Refl.-koeff.: $R = \frac{ B ^2}{ A ^2} = 1$  | Ein-dringtiefe: $\frac{\Psi_{II}(\delta)}{\Psi_{II}(0)} = \frac{1}{e}$<br>$\Rightarrow \delta = \frac{1}{2\kappa}$<br>Wahrscheinlichkeitsstromdichte: $j_{in} = \frac{\hbar k}{m}$<br>$j_{refl} = \frac{\hbar k}{m}$ |
| Potentialstufe $V(x \leq 0) = 0$<br>$V(x > 0) = V_0$<br>mit $E > V_0$    | $\Psi_I = Ae^{ikx} + Be^{-ikx}$<br>mit $\dots (1)$<br>$(3) - (4) \Rightarrow B = A \frac{k - k'}{k + k'}$<br>$(3) \Rightarrow C = A \frac{2k}{k + k'}$   | $\Psi_{II} = Ce^{ik'x}$ mit $k' = \sqrt{\frac{2m(E - V_0)}{\hbar^2}} \dots (2)$<br>Lösung: $\Psi_I = A \left( e^{ikx} + \frac{k - k'}{k + k'} e^{-ikx} \right)$<br>$\Psi_{II} = A \frac{2k}{k + k'} e^{-\kappa x}$   | Anschlussbedingungen: $\Psi_I(0) = \Psi_{II}(0) \Rightarrow A + B = C \dots (3)$<br>$\Psi_I'(0) = \Psi_{II}'(0) \Rightarrow \frac{k}{k'} A - \frac{k}{k'} B = C \dots (4)$<br>Refl.-koeff.: $R = \frac{ B ^2}{ A ^2} = \left  \frac{k - k'}{k + k'} \right ^2$<br>$T = \frac{4kk'}{(k + k')^2}$ | vgl. Optik: $R = \left  \frac{n_1 - n_2}{n_1 + n_2} \right ^2$   |
| Wahrscheinlichkeitsstromdichte   | $j[\Psi] = \text{Re} \left( \Psi^* \frac{\hbar}{m} \hat{p} \Psi \right) = \text{Re} \left( \Psi^* \frac{\hbar}{m} i \frac{\partial}{\partial x} \Psi \right)$ ; $j_{in} = j[Ae^{ikx}]$ ; $j_{refl} = j[Be^{-ikx}]$ ; $j_{out} = j[Ce^{ik'x}]$<br>$j_I = j[Ae^{\lambda_1 kx} + Be^{-\lambda_1 kx}] = \frac{\hbar k_1}{m} ( A ^2 -  B ^2)$ ; $j_{II} = j[Ce^{\lambda_2 k'x} + De^{-\lambda_2 k'x}] = \frac{\hbar k_2}{m} ( C ^2 -  D ^2)$                  |  |   | Kontinuitätsbedingung: $\frac{\partial \rho}{\partial t} = -\frac{\partial j}{\partial x} \Rightarrow j = \rho v$  |
| Potentialbarriere $V(0 < x < a) = V_0$<br>sonst $V = 0$<br>mit $E < V_0$ | $\Psi_I = Ae^{ikx} + Be^{-ikx}$<br>$\Psi_{II} = Ce^{\kappa x} + De^{-\kappa x}$<br>$\Psi_{III} = Ee^{ikx}$ mit $k = \sqrt{\frac{2mE}{\hbar^2}}$ ; $\kappa = \sqrt{\frac{2m(V_0 - E)}{\hbar^2}}$  | AB: $\Psi_I(0) = \Psi_{II}(0) \Rightarrow A + B = C + D$<br>$\Psi_I'(0) = \Psi_{II}'(0) \Rightarrow ik(A - B) = \kappa(C - D)$<br>$\Psi_{II}(a) = \Psi_{III}(a) \Rightarrow Ce^{\kappa a} + De^{-\kappa a} = Ee^{ika}$<br>$\Psi_{II}'(a) = \Psi_{III}'(a) \Rightarrow \kappa Ce^{\kappa a} - \kappa De^{-\kappa a} = ikEe^{ika}$ | $T = \frac{1 - \frac{E}{V_0}}{1 - \frac{E}{V_0} + \frac{V_0}{4E} \sinh^2(\kappa a)}$  |  |
| Potentialbarriere $V(0 < x < a) = V_0$<br>sonst $V = 0$<br>mit $E > V_0$ | $\Psi_I = Ae^{ikx} + Be^{-ikx}$<br>$\Psi_{II} = Ce^{ik'x} + De^{-ik'x}$<br>$\Psi_{III} = Ee^{ikx}$ mit $k = \sqrt{\frac{2mE}{\hbar^2}}$ ; $k' = \sqrt{\frac{2m(E - V_0)}{\hbar^2}}$  | AB: $\Psi_I(0) = \Psi_{II}(0) \Rightarrow A + B = C + D$<br>$\Psi_I'(0) = \Psi_{II}'(0) \Rightarrow ik(A - B) = ik'(C - D)$<br>$\Psi_{II}(a) = \Psi_{III}(a) \Rightarrow Ce^{ik'a} + De^{-ik'a} = Ee^{ika}$<br>$\Psi_{II}'(a) = \Psi_{III}'(a) \Rightarrow ik'Ce^{ik'a} - ik'De^{-ik'a} = ikEe^{ika}$                            | $T = \frac{\frac{E}{V_0} - 1}{\frac{E}{V_0} - 1 + \frac{V_0}{4E} \sin^2(\kappa a)}$   |  |
| Harmonischer Oszillator  | $V(x) = \frac{1}{2} m \omega^2 x^2 \Rightarrow E \Psi(x) = \left( -\frac{\hbar^2}{2m} \frac{\partial^2}{\partial x^2} + \frac{1}{2} m \omega^2 x^2 \right) \Psi(x) \Rightarrow E \Psi(x) = -\frac{\hbar^2}{2m} \frac{\partial}{\partial x} \left( \frac{\partial}{\partial x} \Psi(x) \right) + \frac{1}{2} m \omega^2 x^2 \Psi(x) \dots (1)$  |  |   |  |
|  | reduzierte Einheiten: $E = \hbar \omega \varepsilon \dots (2a)$ $x_0 = \sqrt{\frac{\hbar}{m \omega}} \dots (2b)$ $x = y x_0 \dots (2c) \Rightarrow y = \frac{x}{x_0} \dots (2d) \Rightarrow \frac{\partial y}{\partial x} = \frac{1}{x_0} \dots (2e)$  |  |   |  |
|  | $\Psi(x) \rightarrow \tilde{\Psi}(y) \xrightarrow{(1)} E \tilde{\Psi}(y) = -\frac{\hbar^2}{2m} \frac{\partial}{\partial y} \left( \frac{\partial \tilde{\Psi}}{\partial y} \frac{\partial y}{\partial x} \right) \frac{\partial y}{\partial x} + \frac{1}{2} m \omega^2 x^2 \tilde{\Psi}(y) \xrightarrow{(2e)}$  |  |   |  |
|  | $E \tilde{\Psi}(y) = -\frac{\hbar^2}{2m} \frac{\partial}{\partial y} \left( \frac{\partial \tilde{\Psi}}{\partial y} \frac{1}{x_0} \right) \frac{1}{x_0} + \frac{1}{2} m \omega^2 x^2 \tilde{\Psi}(y) \Rightarrow E \tilde{\Psi}(y) = \left( -\frac{\hbar^2}{2m x_0^2} \frac{\partial^2}{\partial y^2} + \frac{1}{2} m \omega^2 x^2 \right) \tilde{\Psi}(y) \xrightarrow{(2b)}$  |  |   |  |
|  | $E \tilde{\Psi}(y) = \left( -\frac{\hbar^2}{2m} \frac{m \omega^2}{\hbar} \frac{\partial^2}{\partial y^2} + \frac{1}{2} m \omega^2 x^2 \right) \tilde{\Psi}(y) = \left( -\frac{1}{2} \hbar \omega \frac{\partial^2}{\partial y^2} + \frac{1}{2} m \omega^2 x^2 \right) \tilde{\Psi}(y) \xrightarrow{(2c) (2b)}$   |  |   |  |
|  | $E \tilde{\Psi}(y) = \left( -\frac{1}{2} \hbar \omega \frac{\partial^2}{\partial y^2} + \frac{1}{2} m \omega^2 y^2 \frac{\hbar}{m \omega} \right) \tilde{\Psi}(y) = \left( -\frac{1}{2} \hbar \omega \frac{\partial^2}{\partial y^2} + \frac{1}{2} \hbar \omega y^2 \right) \tilde{\Psi}(y) \xrightarrow{(2a)}$  |  |   |  |
|  | $\hbar \omega \varepsilon \tilde{\Psi}(y) = \left( -\frac{1}{2} \hbar \omega \frac{\partial^2}{\partial y^2} + \frac{1}{2} \hbar \omega y^2 \right) \tilde{\Psi}(y) \Rightarrow \boxed{\varepsilon \tilde{\Psi}(y) = \frac{1}{2} \left( -\frac{\partial^2}{\partial y^2} + y^2 \right) \tilde{\Psi}(y)} \dots (3)$   |  |   |  |
|  | Ansatz: $\tilde{\Psi} = e^{-\frac{y^2}{2}} h(y)$ mit Potenzreihe $h(y) = \sum_{i=0}^{\infty} a_i y^i$ . Spezialfall Grundzustand: $h(y) = 1 \Rightarrow \tilde{\Psi} = e^{-\frac{y^2}{2}} \dots (4a) \Rightarrow$  |  |   |  |
|  | $\frac{\partial \tilde{\Psi}}{\partial y} = -y e^{-\frac{y^2}{2}} \Rightarrow \frac{\partial^2 \tilde{\Psi}}{\partial y^2} = -e^{-\frac{y^2}{2}} + y^2 e^{-\frac{y^2}{2}} \dots (4b) \xrightarrow{(3)} \varepsilon_1 e^{-\frac{y^2}{2}} = \frac{1}{2} \left( e^{-\frac{y^2}{2}} - y^2 e^{-\frac{y^2}{2}} + y^2 e^{-\frac{y^2}{2}} \right) \Rightarrow \varepsilon_1 = \frac{1}{2} \xrightarrow{(2a)} \frac{E_1}{\hbar \omega} = \frac{1}{2} \Rightarrow$ |  |   |  |
|  | $\varepsilon_1 = \frac{1}{2} \xrightarrow{(2a)} \boxed{E_1 = \frac{1}{2} \hbar \omega}$ Allgemein: $\boxed{E_n = \hbar \omega \left( n + \frac{1}{2} \right)}$   |  |   |  |
|  | Eigenzustände: $\tilde{u}_n(y) = \frac{1}{\sqrt{x_0 \sqrt{\pi} 2^n n!}} e^{-\frac{y^2}{2}} H_n(y)$ ; $u_n(x) = \left( \frac{m \omega}{\pi \hbar} \right)^{\frac{1}{4}} \frac{1}{\sqrt{2^n n!}} e^{-\frac{1}{2} \frac{m \omega}{\hbar} x^2} H_n \left( \sqrt{\frac{m \omega}{\hbar}} x \right)$ mit $H_n(x) = (-1)^n e^{x^2} \frac{d^n}{dx^n} e^{-x^2}$   |  |   |  |